

**ŘADA B**  
**PRO KONSTRUKTÉRY**  
**ČASOPIS**  
**PRO RADIOTECHNIKU**  
**A AMATÉRSKÉ VYSÍLÁNÍ**  
**ROČNÍK XXV/1976 ČÍSLO 5**

**V TOMTO SEŠITĚ**

<b>Hlavní směry hospodářského rozvoje . . . . .</b>	<b>161</b>
<b>ČÍSLICOVÉ MULTIMETRY</b>	
1. Úvod	
Přednosti číslicové měřicí techniky . . . . .	162
Číslicové měřitelné elektrické veličiny . . . . .	163
Základní vlastnosti číslicových multimetru . . . . .	163
2. Přehled metod číslicového měření napětí	
Kompenzační metoda . . . . .	164
Metoda pilovitého převodu . . . . .	165
Integrační metody . . . . .	165
Kombinované metody . . . . .	166
3. Přehled převodu střídavých napětí a odporů na stejnosměrné napětí	
Prevodníky střídavého napětí na stejnosměrné . . . . .	168
Průměrné metody převodu AC-DC . . . . .	168
Nepřímé metody převodu AC-DC . . . . .	168
Prevodníky odporů na stejnosměrné napětí . . . . .	169
4. Návrh obvodů číslicového multimetu	
Návrh jednotlivých obvodů . . . . .	171
5. Konstrukce multimetu	
Popis zapojení, stavba, oživení . . . . .	175
<b>UNIVERZÁLNÍ ČÍTAČ</b>	
Principy měření univerzálním čítačem . . . . .	186
Pomocné obvody a možnosti rozšíření použití . . . . .	187
Popis činnosti univerzálního čítače . . . . .	188
Konstrukce . . . . .	194

**AMATÉRSKÉ RADIO ŘADA B**

Vydává ÚV Svazarmu ve vydavatelství Magnet, Vladislavova 26, PSČ 113 66 Praha 1, telefon 26 06 57-1. Šéfredaktor ing. F. Smolk, zástupce Luboš Kalousek. Redakční rada: K. Bartoš, V. Brzák, K. Donát, A. Glanc, I. Harminc, L. Hlinský, P. Horák, Z. Hradský, ing. J. T. Hyán, ing. J. Jaroš, doc. ing. dr. J. Joachim, ing. F. Králík, prom. fyz. L. Kryška, ing. I. Lůžkovský, K. Novák, ing. O. Petráček, L. Tichý, ing. J. Vackář, CSc., laureát st. ceny KG, ing. J. Zima, J. Ženíšek, laureát st. ceny KG. Redakce Jungmannova 24, PSČ 113 66 Praha 1, telefon 26 06 51-7, šéfred. linka 354, redaktor. I. 353. Ročně vydeje 6 čísel. Cena výtisku 5 Kčs, celoroční předplatné 30 Kčs. Rozšiřuje PNS, v jednotkách ozbrojených sil vydavatelství Magnet, administrace Vladislavova 26, Praha 1. Objednávky přijímá každá pošta i doručovatel. Dohledací pošta Praha 07. Objednávky do zahraničí využívají PNS, vývoz tisku: Jindřišská 14, Praha 1. Tiskne Naše vojsko, n. p., závod 08, 162 00 Praha 6-Liboc, Vlastina 710. Inzerci přijímá vydavatelství Magnet, Vladislavova 26, PSČ 113 66 Praha 1, telefon 26 06 51-7, linka 294. Za původnost a správnost příspěvku ručí autor. Návštěvy v redakci a telefonické dotazy pouze po 14. hodině. Číslo indexu 46044.

Toto číslo vyšlo 23. září 1976.  
 © Vydavatelství MAGNET, Praha

**Hlavní směry hospodářského rozvoje**

Hospodářský rozvoj, který je jedním z předpokladů úspěšného dovršení výstavby vyspělé socialistické společnosti a komunistické společnosti, je dnes více než kdy jindy spjat s rozvojem vědy a techniky. Soudobá rychlosť technického pokroku a jeho výrazné změny vyvolávají objektivně potřebu v dlouhodobých prognóz tak, aby vedoucí síla společnosti, KSC, mohla správně rozhodovat o všech hospodářských i technických problémech a aby měla jistotu, že řešení těchto problémů bude působit k budoucímu prospěchu společnosti. Prognózy jsou důležité pro rozvoj národního hospodářství, neboť umožňují se zřetelem na podmínky vědeckotechnické revoluce a její využívání správně zaměřit technický rozvoj a vědeckotechnický výzkum tak, aby se řešily především takové otázky, které jsou pro společnost nejvýznamnější a technicky nejnádějnější.

Vliv vědeckotechnické revoluce na národní hospodářství se tedy projevuje v prognózách a zprostředkovávání v hospodářských plánech, které jsou do jisté míry na těchto prognózách závislé. Ze stavu vědeckotechnické revoluce, z prognóz a z plánu vychází základní prvek, určující úroveň a směr národního hospodářství – vědeckotechnická politika státu. Základní směrnici pro současnou vědeckotechnickou hospodářskou politiku státu je Zpráva o hlavních směrech hospodářského a sociálního rozvoje ČSSR v letech 1976 až 1980, kterou přednesl člen předsednictva ÚV KSC a předseda vlády ČSSR, Lubomír Štrougal, na XV. sjezdu KSC. Nejzajímavější částí Zprávy je část, věnovaná „naší zájmové oblasti“, z níž vyjímáme: „Výšší stupeň uspokojování potřeb společnosti i obyvatelstva a další rozkvět naší země závisí v rozhodující míře na růstu průmyslové výroby. V letech 1976 až 1980 předpokládáme její zvýšení o 32 až 34 %, přičemž vývoz průmyslových výrobků má stoupnout téměř o polovinu, dodávky do tržních fondů zhruba o čtvrtinu a dodávky strojů a zařízení pro investiční výstavbu téměř o pětinu.“

Rozvoj výrobních sil opíráme tedy především o růst průmyslové výroby a v ní pak o strojírenství. Strojírenská produkce je svou povahou progresivním prvkem rozvoje společenských výrobních sil a nositelem technického pokroku ve všech odvětvích. Tuto jeho výjimečnou funkci násobí skutečnost, že mu připadá rozhodující úloha při rozvíjení vnějších ekonomických vztahů, při tvorbě převážné části prostředků pro dovoz zejména surovin a pro naši účast při jejich získávání v zahraničí.

Strojírenství má bohaté a pokrokové tradice, o něž se zasloužily mnohé generace našich dělníků, techniků a konstruktérů, které proslavily práci našich rukou a mozků daleko za hranicemi. Kováči a strojaři byli vždy oporou revolučního hnutí naší dělnické třídy a naší strany. Jejich třídní uvědomění a pochopení pro všechno nové zvláště vynikly v období zápasů o socialistickou cestu naší země. Strojírenství se nesmazatelně zapsalo do bohaté historie industrializace Československa i dalších zemí budujících socialismus. Bez jeho práce by byl nemyslitelný rozmach zemědělství, rozvoj všech odvětví našeho národního hospodářství.

Také v současném období, jak je to zřejmé z navržené směrnice, považuje strana strojírenství za rozhodující odvětví. Předurčenosť jeho postavení vyplývá především z toho, že

strojírenský vývoz musí uhradit největší část dovozních potřeb naší ekonomiky, zejména surovin, energie, vybaví technikou ostatní odvětví našeho národního hospodářství a významně přispět k obohacení vnitřního trhu.“

V popředí zájmu je tedy především strojírenství, do něhož oblastí patří i elektronika. Přitom jako všechna ostatní průmyslová odvětví, tak i elektronika a strojírenství vůbec se musí řídit v zásadě těmito směry státní technické politiky: za prvé co nejlépe hospodařit s naším bohatstvím paliv a energie, surovin a půdního fondu a dalšími přírodními zdroji a mnohem hospodářněji zhodnocovat suroviny, energii a materiály z dovozu, za druhé dosáhnout přiměřeným vynaložením prostředků výrazných úspor tzv. živé práce ve výrobních i nevýrobních činnostech, za třetí plánovitě přetvárat strukturu výrobních sil, efektivněji, vynakládat prostředky na výzkum a vývoj, investiční výstavbu, modernizaci a rekonstrukci, za čtvrté rychleji obměňovat sortiment výroby na nejvyšší technické úrovni a zvyšovat jakost výrobků a konečně v plném rozsahu využívat přednosti socialistické ekonomické integrace.

To jsou všechno nakonec všeobecně známé a uznávané zásady. Je ovšem otázkou, jak se tyto zásady uplatňují v praxi. Všichni víme, že právě zde je často kámen úrazu – často nedostatečná úroveň řídící práce, pohodlnost, lajdáctví a další důvody jsou příčinou toho, že i přes některé velmi dobré výsledky nemůžeme být s plněním uvedených zásad spokojeni. Vezměme si např. poslední větu z citované části projevu předsedy vlády ČSSR – „významné přispěti k obohacení vnitřního trhu“. Pokud jde o elektroniku, je situace velmi neutěšená – na trhu není jakostní čívkový magnetofon, nemluvě již o kazetovém magnetofonu (kde jsou doby, kdy byly na trhu např. Sonet duo, ve své době jeden z nejlepších přístrojů, který u mnohých používatelů slouží dodnes), kazetový magnetofon A3, také špičkový výrobek svého druhu a své doby), barevné televizní přijímače jsou drahé a koncepcně již dávno překonané, skutečná novinka v černobílých televizních přijímačích není, zcela chybí doplňková zařízení pro televizní přijímače, jako jsou dálková ovládání a různé příslušenství k anténám – symetrikační členy, rotátory, konvertory atd., dodnes není na trhu souprava Hi-Fi, jejíž díly by se k sobě „hodily“ jak jakostí, tak i tvarem a vnějším provedením atd.

V tomto směru je tedy před námi „pole neorané“. V možnostech, zkušenostech a schopnostech našich techniků a dělníků je tyto mezery vyplnit; tam, kde je to neefektivní, bylo by třeba uvést ve skutek slova o mezinárodní socialistické integraci – vždyž žádná země na světě (kromě velmoci) nevyrábí vše! Víme o tom (a čtenáři AR též, neboť je o tom redakce pravidelně informuje), že se v zemích socialistického tábora vyrábějí přístroje, které u nás na trhu nejsou – v poslední době např. stereofonní kazetový magnetofon v Bulharsku (nemluvě již o maďarských výrobcích), křemikové tranzistory p-n-p v Polsku, integrované obvody MOS v NDR atd. Bylo by tedy především provedením silami

a prostředky tyto věci vyvijet a vyrábět – na našem trhu však scházejí.

Jednoduše bylo možno vyjádřit úkoly a směry naší ekonomiky (a to i pokud jde o strojírenství), asi tak, jak to řekl člen předsednictva ÚV KSC a předseda Státní plánovací komise, V. Hůla, na schůzi poslanců obou sněmoven našeho nejvyššího zákonodárného sboru – Federálního shromáždění: „Potřebujeme efektivně vyrobené kvalitní zboží, které rychle najde spotřebitele, a ne zboží, že dásob nebo takové, které se nedá rentabilně prodat.“

Ke zvládnutí všech úkolů 6. pětiletky nám však v žádném případě nebude stačit „domácí síly“, i když jsou proti minulosti k dispozici i větší zdroje, větší celkový potenciál ekonomiky, mohutnejší výrobní základna, nové zkušenosti, více kvalifikovaných pracovníků, větší iniciativa a angažovanost pracujících. Naštěstí se můžeme opřít o mohutnou ekonomicí sílu Sovětského svazu a celého socialistického společenství. Především tento fakt vytváří dobré a reálné předpoklady, že budou splněny i náročné úkoly 6. pětiletky.

Všechny úkoly a plány, které před námi stojí, mají hlavní cíl: zajistit v souladu s prohlubováním socialistického způsobu života uspokojování rostoucích hmotných a duševních potřeb obyvatelstva a dál upevnit jeho životní a sociální jistoty na základě trvalého rozvoje a vysoké efektivnosti společenské výroby a kvality veškeré práce. A je otázkou vztahu jednoho každého z nás ke společnosti, jak svými činy podpoříme závěry XV. sjezdu KSC, jak přistoupíme k plnění úkolů, které před nás postavila perspektiva dalšího rozvoje naší společnosti.

# Základní číslicové měříci musí rodit

Ing. Karel Haas, Jiří Zuska

## 1. Úvod

Když byly v roce 1953 uvedeny na trh první číslicové voltmetry, jednalo se o velmi nákladné a objemné přístroje, určené pouze pro speciální laboratoře. Také v dalších letech se vyráběly především velmi přesné přístroje, jejichž cena omezovala možnosti jejich rozšíření. Teprve koncem sedesátých let umožnil technický pokrok, že se číslicová měřicí technika uplatnila v širším měřítku. Byly objeveny a propracovány nové metody analogové číslicového převodu a součástková základna byla obohacena zejména o číslicové integrované obvody a o analogové integrované obvody – operační zesilovače. Pozornost vývojových pracovníků a konstruktérů se zaměřila především na oblast číslicových měřicích přístrojů pro běžnou laboratorní práci. Jedním ze základních požadavků pak byla co nejnižší cena přístroje.

Integrované obvody dovolily podstatně zmenšit počet součástek a tím i rozložení číslicových měřicích přístrojů, nebo při zachování rozložení jejich funkční možnosti. První číslicové měřicí přístroje schopné měřit více elektrických veličin, dnes běžně nazývané číslicové multimetry, byly řešeny pomocí výsuvných modulů. Vstupní obvody, zpravidla izolované od zbyvající části, byly umístěny ve výsuvném modulu. K základnímu přístroji obsahujícímu vlastní analogové číslicové převodníky se zpravidla dodávaly výsuvné moduly k měření stejnosměrných napětí a odporů. Jindy se používaly samostatné převodníky strídavých napěti a odporů na stejnosměrné napěti, které se jednoduše předrážely před vlastní číslicovým stejnosměrným voltmetrem.

Tyto, z dnešního hlediska poněkud nepraktické přístroje, vystřídaly multimetry se všemi obvody v jediné skříně s možností volby druhu měření pouhým stlačením tláčítka nebo otočením přepínače. A opět se s postupující integrací jednotlivých obvodů (MSI, LSI) začaly rozložení číslicových multimetrů zmenšovat. Část z nepřeberného množství přístrojů známých i méně známých výrobců z celého světa jsme mohli vidět na letošním brněnském mezinárodním strojírenském veletrhu. Na stáncích firem Schlimberger, Hewlett Packard, Dana, Fluke, Takeda Riken i výrobci z Maďarska, Polska, SSSR a ČSSR (METRA Blansko) bylo

možno vidět multimetry nejrůznějších provedení od téměř kapesních s přesností 1 % až po přístroje třídy přesnosti 0,001 %.

Cemu vdečí číslicové multimetry za tak mohutný rozmach? Především celé řadě podstatných i méně podstatných výhod proti klasickým ručkovým přístrojům. Tyto výhody jsme se pokusili shrnout do následujícího přehledu.

### Přednosti číslicové měřicí techniky

#### Rychlosť a přesnost čtení velikosti měřené veličiny

Srovnejme čtení údaje ručkového (analogového) a číslicového přístroje. Při čtení údaje analogového měřidla musíme nejdříve zkонтrolovat polaritu měřené veličiny podle polohy přepínače polarity nebo častěji podle způsobu připojení měřicích přívodů, dále musíme určit měřicí rozsah, přečíst údaj interpolaci dílků stupnice v blízkosti ručky a do takto zjištěného čísla vhodně „umístit“ desetinnou čárku. Přitom často dochází k chybě způsobené čtením údaje z různých úhlů (paralaxe).

Naproti tomu u číslicových měřicích přístrojů se čte údaj i s polohou desetinné tečky okamžitě spolu s údajem o polaritě. Údaj je přitom viditelný při jakékoli intenzitě okolního osvětlení.

#### Možnost automatické volby polarity a rozsahu

Kromě automatického určení polarity měřeného napěti nebo proudu, jímž je vybavena naprostá většina multimetrů, je řada z nich vybavena i automatickou volbou rozsahu, což dále zjednoduší a zrychlí měření.

#### Přesnost a linearita měření

Zatímco klasické ručkové měřicí přístroje mají běžně přesnost kolem 1 % (maximálně 0,1 %), měří číslicové přístroje běžně s přesností 0,1 %, přičemž maximální dosažitelná přesnost je lepší než 0,001 % z měřeného údaje; totéž platí i o lineáritě měření.

#### Potlačení rušivých signálů

Jak uvidíme dále, používají se u číslicových měřicích přístrojů takové metody analogové číslicového převodu, které bez použití vstupních filtrů umožňují potlačit rušivé signály, superponované na měřené veličině. Vhodným uspořádáním vstupních obvodů se potlačují i souhlasná rušivá napěti, objevující se na obou svorkách zdroje měřeného signálu.

#### Odolnost proti přetížení

Multimetry jsou zpravidla vybaveny obvodem pro automatickou ochranu proti přetížení (zejména u nižších rozsahů), takže lze na jejich vstup připojit až tisíckrát větší signál, než jaký odpovídá zvolenému rozsahu. Bezprostředně po odstranění přetížení je přístroj schopen správně měřit.

#### Vstupní odpor

Vstupní odpor ručkových měřidel bývá běžně 20 až 200 k $\Omega$ /V. Číslicové měřicí přístroje mají na nižších rozsazích vstupní odpor větší až o čtyři řády (až 10 000 M $\Omega$ ) a na vyšších rozsazích až o dva řády (10 M $\Omega$ ), což má samozřejmě príznivý vliv na přesnost měření, zejména při měření napětí na vysokých impedancích.

#### Rychlosť měření

Na rozdíl od ručkových měřidel, u nichž je rychlosť měření určena především dobou ustálení ručky (rádově sekundy), je u číslicových měřicích přístrojů rychlosť měření určena pouze dobou, potřebnou k převodu vstupní analogové veličiny na číslicový údaj. Tuto dobu lze vhodnou volbou metody analogové číslicového převodu zkrátit na μs. I běžné číslicové voltmetry a multimetry mají však dobu převodu v rozmezí 20 až 300 ms, což umožňuje sledovat pomalu se měnící signály a pomocí vzorkovacích obvodů i rychle se měnící signály a krátké napěťové impulsy.

#### Možnost záznamu výsledků měření

Číslicový údaj úměrný měřené veličině lze často vyvést z číslicového měřicího přístroje ve formě binárních signálů (tj. signálů, které mohou nabývat pouze dvou velikostí). Tyto binární signály je možno trvale zaznamenat např. děrovačem děrné pásky nebo tiskárnou. Díky tomu lze automatizovat rozsáhlá měření a výsledky zpracovat později.

#### Možnost přenosu výsledků měření na velké vzdálenosti

Přenos analogových signálů po vedení je možný jen do určité vzdálenosti. Tato vzdálenost je přímo úměrná velikosti přenášeného signálu a nepřímo úměrná velikosti rušení a útlumu vedení. Proto je výhodný zejména při přenosu malých signálů jejich převod na binární signály s dostatečnou amplitudou a šumovou imunitou (odolností proti rušení).

Popsané výhody číslicové měřicí techniky jsou (snad kromě tří naposled jmenovaných) velmi zajímavé i pro radioamatéry.

Jediným důvodem, proč se dosud tento moderní a perspektivní druh měřicí techniky

neprosadil v širokém měřítku mezi amatéry, je neúměrně vysoká cena potřebných součástek. V zapojení číslicového multimetru se používá kombinace některých poměrně dražích analogových součástek (operátorů zesilovačů, referenčních prvků, přesných odporů atd.) a ještě dražších číslicových logických obvodů (čítače, paměti, dekodérů atd.). Náklady na stavbu číslicového multimetru jsou tak značné, že je třeba důkladně rozvážit koncepci přístroje zejména z hlediska funkčního vybavení a požadovaných parametrů. Podívejme se napřed, které elektrické veličiny mohou číslicové multimetry měřit, a určeme ty, které jsou pro amatérskou praxi nejdůležitější.

### Elektrické veličiny, které mohou číslicové multimetry měřit

- Číslicové multimetery mohou měřit
  - a) stejnosměrné napětí,
  - b) střídavé napětí,
  - c) stejnosměrný proud,
  - d) střídavý proud,
  - e) odpor,
  - f) kapacitu,
  - g) indukčnost,
  - i) kmitočet,
  - j) periodu,
  - k) časový interval.

Pro naprostou většinu uživatelů je nejdůležitější měřenou veličinou stejnosměrné napětí. Vzhledem k časté potřebě měřit napětí odvozené ze sítě a napětí zvukových kmitočtů, je pro amatéry důležitá i možnost měřit střídavá napětí. Máme-li citlivý voltmetr s dostatečně velkým vstupním odporem, je celkem snadné měřit pomocí vhodných předřadných odporů proudy. Vybavení číslicového multimetru možností měřit proudy proto není nevyhnutelně nutné. Zato možnost měřit odpory jako nejvíce používané pasivní prvky povazujeme za velmi potřebnou (na rozdíl od potřeby měřit kapacity a indukčnosti, která se vyskytuje méně často). Měřit kmitočet, periodu a časové intervaly lze u číslicových měřicích přístrojů poměrně snadno – je však třeba rozšířit nejnákladnější (číslicové) části multimetru. Levný amatérský číslicový multimeter se tedy bude muset obejít i bez této možnosti.

Když jsme si určili nejdůležitější elektrické veličiny, které by měl číslicový multimeter pro amatérskou praxi měřit (stejnosměrné napětí, střídavé napětí a odpory), můžeme se zaměřit na definování některých základních parametrů číslicových multimetrů a jejich určení z hlediska potřeb amatérů a nutných nákladů na stavbu.

### Základní vlastnosti číslicových multimetrů

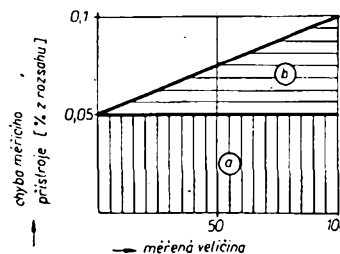
#### Přesnost

Přesnost číslicových měřicích přístrojů se určuje poněkud odlišně od přesnosti ručkových měřidel, a proto se jí věnujeme podrobnej. Zdroje chyb číslicových měřicích přístrojů je možno rozdělit do dvou skupin:

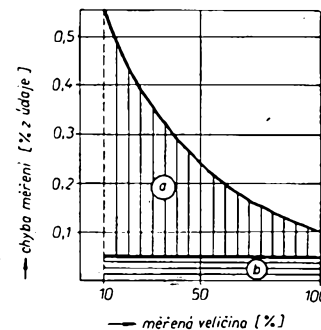
- a) pevné chyby, tj. chyby nezávislé na velikosti vstupního signálu. Tyto chyby jsou způsobeny např. posunutím (driftem) nuly vstupního zesilovače, „vnitřními“ šumovými vlastnostmi přístroje, zbytkovým napětím spínačů apod. Do této skupiny patří také chyba kvantování. Tato chyba je společná všem číslicovým měřicím přístrojům a je způsobena tím, že diskrétní hodnota číslicového údaje se může lišit od měřené analogové hodnoty až o polovinu hodnoty nejnižší číslice. Tak např. číslicový voltmeter s třímnistou indikací ukazuje napětí 9,95 V při měřených úrovních 9,945 až 9,995 V. Chyba kvantování tedy dosahuje  $\pm 0,05\%$  z měřicího rozsahu. Pevné chyby se vyjadřují v pro-

centech z měřicího (plného) rozsahu. (Často se používá symbol FS – z anglického full scale).

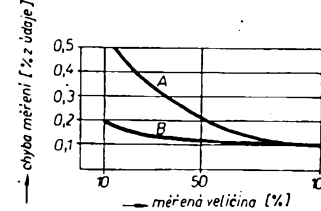
b) chyby úměrné velikosti vstupního signálu tvoří druhou skupinu chyb vznikajících v číslicových měřicích přístrojích. Jsou způsobeny chybami zisku zesilovače, vstupního děliče, vnitřního referenčního napětí apod. Tyto chyby se projeví především při měření hodnot blízkých maximální, jmenovité hodnotě zvoleného rozsahu. Se zmenšováním měřené veličiny se jejich vliv zmenšuje. Vyjadřují se proto v procentech z měřeného údaje (R – z anglického reading).



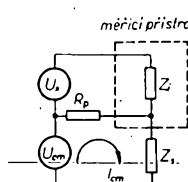
Obr. 1: Závislost chyb číslicového měřicího přístroje na velikosti měřené veličiny (chyby jsou vztaheny k maximální hodnotě rozsahu)



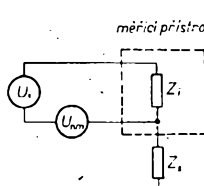
Obr. 2: Závislost chyby měření na velikosti měřené veličiny (chyby jsou vztaheny k měřené veličině)



Obr. 3: Závislost chyby měření na měřené veličině pro dva různé přístroje se stejnou celkovou přesností při měření plného rozsahu



Obr. 4: Souhlasné rušivé napětí



Obr. 5: Sériové rušivé napětí

Vliv obou uvedených chyb na přesnost měření lze snadno vyjádřit graficky. Na obr. 1 je vynesena závislost celkové chyby měření na velikosti měřené veličiny. Celková chyba je na obrázku rozdělena na chybu pevnou (a – svisle šrafováná oblast) a chybu závislou na měřeném údaji (b – vodorovně šrafováná oblast).

Popsané chyby byly způsobeny v podstatě nedokonalostí přístroje. Velmi často však dochází k mnohem větším chybám, měříme-li veličiny, které jsou menší než jmenovitá hodnota zvoleného rozsahu. Pro přístroj s definovanou přesností  $\pm 0,05\%$  z plného rozsahu  $\pm 0,05\%$  z měřeného údaje je na obr. 2 vynesena závislost skutečné chyby měření na velikosti „zaplňení“ rozsahu. Vídme, že zde má na přesnost měření převažující vliv pevná chyba (a), která se zvětšuje se zmenšováním měřené veličiny, zatímco chyba závislá na měřené veličině (b) zůstává konstantní. Podstatné rozdíly mezi oběma grafy jsou způsobeny tím, že chyby na obr. 1 jsou vztaženy k maximální hodnotě zvoleného rozsahu, zatímco chyby na obr. 2 jsou vztaženy k velikosti měřené veličiny.

Na obr. 3 jsou vyneseny závislosti chyby na měřené veličině pro dva přístroje s definovanou přesností:

$$A: \pm 0,05\% R, \pm 0,05\% FS,$$

$$B: \pm 0,09\% R, \pm 0,01\% FS.$$

Přestože celková chyba obou přístrojů při měření údaje, odpovídajícího plnému měřicímu rozsahu (100 %) je stejná, vyplývá z grafu, že přístroj B je výrazně lepší, neboť je při měření údaje rovnajícího se 10 % plného rozsahu více než dvakrát přesnější než přístroj A.

Z hlediska uživatele je tedy z obou uváděných přesnosti důležitější přesnost z plného rozsahu (FS).

Schopnost číslicového přístroje měřit přesně nezávisí jen na jeho přesnosti, která je zpravidla definována za optimálních podmínek, ale je často ovlivněna vnějšími činiteli jako je teplota, vlnkost, impedance měřeného zdroje a také průtomnost rušivých, nežádoucích signálů, superponovaných na měřenou veličinu. Tyto činitely často výrazně ovlivňují přesnost měření. Proto si daleko všimnějte těch parametrů elektronických měřicích přístrojů, které definují schopnost potlačit vliv vnějších činitelů na měření.

#### Potlačení rušivých signálů

Rušivé signály, vyskytující se při měření elektrických veličin, je možno rozdělit do dvou skupin:

a) souhlasné rušivé signály (common-mode),

b) sériové rušivé signály (normal-mode).

Toto rozdělení vyplývá ze způsobu zapojení zdrojů rušivého signálu vůči zdroji měřeného signálu. Souhlasný rušivý signál  $U_{cm}$  podle obr. 4 se projevuje ve stejné fázi na obou svorkách měřeného signálu  $U_x$ . Rušivý proud  $I_{cm}$  tekoucí tzv. zemní smyčkou ze zdroje  $U_{cm}$  přes impedanci měřicího obvodu  $Z$  k zemní svorce může vytvořit na odporu  $R_p$  (např. odporník nevyvážení přívodů) nežádoucí úbytek napětí, který se přičítá k měřenému signálu a způsobuje chybu měření. Na obr. 5 je zapojení sériového rušivého signálu  $U_{nm}$  (v sérii s měřeným signálem  $U_x$ ). Zde je vliv na přesnost měření zcela zřejmý.

Schopnost měřicího přístroje potlačovat vliv těchto nežádoucích rušivých signálů na přesnost měření je definována pomocí vztahů:

$$CMRR = 20 \log \frac{U_{cm}}{\Delta U} [\text{dB}] \quad (1),$$

$$NMRR = 20 \log \frac{U_{nm}}{\Delta U} [\text{dB}] \quad (2),$$



S touto metodou lze dosáhnout velké přesnosti (až  $\pm 0,001\%$  při použití speciálních indukčních děličů v D/A převodníku) a také velké rychlosti převodu (až  $2 \mu s$  pro dvanáctibitový převodník). Tyto vlastnosti by však stěží našly u amatérského číslicového měřicího přístroje uplatnění. Naopak, značný počet přesných odporů a obtížné nastavování jednotlivých vah převodníku D/A jsou nevýhody, které brání využití této metody amatéry. Totéž platí i o různých dalších modifikacích této metody, např. čítacím nebo přírůstkovém převodníku A/D, který místo posuvného registru a řídící logiky používá čítače.

### Metoda pilovitého převodu (ramp method)

Tento způsob převodu A/D se před zavedením integračních metod dosti často používal právě u levných číslicových voltmetrů. Princip činnosti si vysvětlíme podle obr. 9. Napětí pilovitého průběhu s přesně definovaným sklonem a velkou linearitou se srovnává se dvěma napěťovými úrovněmi: s měřeným napětím  $U_x$  a zemní úrovni. Jakmile bude napětí pilovitého průběhu nulové, překlopí se komparátor  $KZ_2$  a otevře se hradlo mezi oscilátorem hodinových impulsů a čítacem. Čítac (předtím vynulovaný) začne čítat impulsy až do okamžiku, kdy napětí pilovitého průběhu dosáhne úrovně  $U_x$ , překlopí se komparátor  $KZ_1$  a hradlo se uzavře. Má-li pilovitý průběh konstantní sklon a je-li konstantní kmitočet oscilátoru, potom stav čítace odpovídá měřenému napětí  $U_x$ .

Proti kompenzační metodě je zde zřejmá zejména nutnost menšího počtu přesných součástek. Co nejstabilnější musí být pouze ty prvky, které určují strmost a linearitu napětí pilovitého průběhu a kmitočtu oscilátoru. Pro požadovanou stabilitu hodinových impulsů je nutno použít krystalem řízený oscilátor. Protože ani u této metody se nedosáhne potlačení sériových rušivých signálů, zařadíme ji opět mezi ty, které nejsou vhodné pro amatérské použití.

### Integrační metody A/D převodu

Jak již bylo uvedeno, vliv sériových střídavých rušivých signálů, superponovaných na měřeném stejnosměrném signálu lze potlačit integraci měřeného napětí. Předpokládejme, že rušivé napětí má periodický sinusový průběh podle obr. 10. Potom

$$\int_0^T f(t) dt = U_x \int_0^T \sin \omega t dt = 0 \quad (3),$$

neboť obsah pláty  $P_1$  nad osou  $U_x$  je roven obsahu pláty  $P_2$  pod osou  $U_x$ . Prakticky to vypadá tak, že při integraci konstantního napětí  $U_x$  se na výstupu integrátoru objeví lineárně se zvětšující signál (průběh A na obr. 11). Je-li na  $U_x$  superponováno rušivé napětí podle obr. 10, mění se napětí na výstupu integrátoru podle křivky B na obr. 11 tak, že vlivem kladné půlvlny  $P_1$  vznikne právě v polovině integrace maximální chybový signál C, který se vlivem záporné půlvlny  $P_2$  zmenší, až je na konci integrace zcela kompenzován.

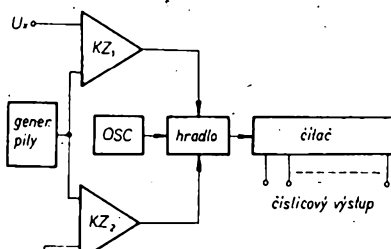
Zatím jsme se zabývali pouze případem, kdy doba integrace  $T$  byla rovna periodě rušivého napětí  $T_r$ . Je zřejmé, že k úplnému potlačení rušivého signálu dojde i tehdy, bude-li doba integrace celistvým násobkem periody rušení (např. při  $T = 2 T_r$ ) bude rušení kompenzováno podle průběhu Dna obr. 11). Není-li však doba integrace  $T$  celistvým násobkem  $T_r$ , uplatní se malá část rušivého signálu i po skončení integrace a způsobí

chybu měření. Maximální chybu takto vzniklou můžeme přibližně vyjádřit vztahem:

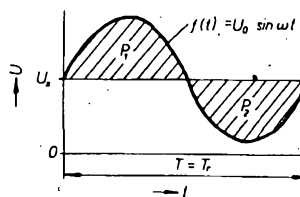
$$\epsilon_{max} = \frac{U_{sp} 4}{2 T} \quad (4).$$

Význam jednotlivých symbolů je zřejmý z obr. 12.

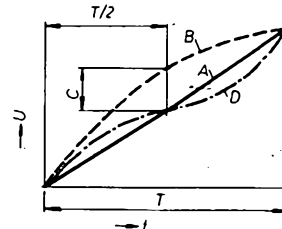
Se zvyšováním kmitočtu rušivého signálu  $f_r = \frac{1}{T_r}$  při konstatní době integrace  $T$  se maximální čas  $t$ , zkracuje. Tím se zlepšuje i chyba  $\epsilon_{max}$ , a sériové rušivé signály (NMR) jsou více potlačovány. Na základě vztahů (3) a (4) lze odvodit závislost potlačení sériových



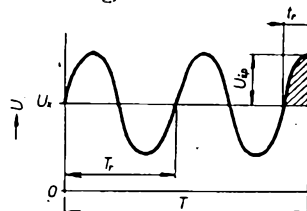
Obr. 9. Metoda pilovitého převodu



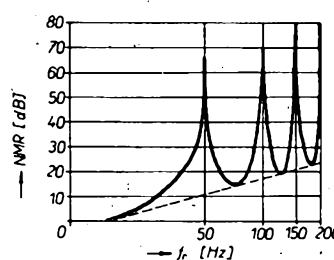
Obr. 10. Potlačení rušivého napětí integrací



Obr. 11. Průběhy na výstupu integrátoru:  
A – integrace konstantního napětí  $U_x$ , B – integrace  $U_x$  se superponovaným rušením s periodou  $T_r = T$ , C – max. chyba způsobená rušením, D – integrace  $U_x$  se superponovaným rušením s periodou  $T_r = T/2$



Obr. 12. Chyba vznikající při odchylce násobku periody rušení  $T_r$  od doby integrace  $T$



Obr. 13. Závislost potlačení sériových rušivých signálů na jejich kmitočtu

rušivých signálů na jejich kmitočtu (obr. 13). Se zvyšováním kmitočtu rušení  $f_r$  se potlačení zvětšuje lineárně se sklonem 20 dB na dekadu, přičemž na kmitočtech, při nichž je doba rušení  $T_r$  rovna celistvému násobku doby integrace  $T$

$$T = k T_r, \text{ kde } k = 1, 2, \dots, n \quad (5)$$

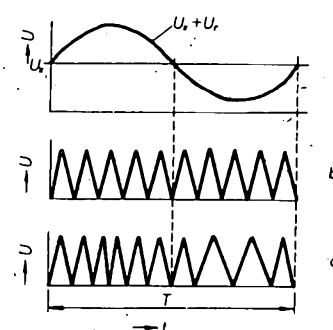
je potlačení nekonečně veliké. Protože nejčastějším zdrojem rušení při číslicovém měření elektrických veličin jsou rušivé signály (brumy) o kmitočtu sítě ( $f_r = 50 \text{ Hz}$ ,  $T_r = 20 \text{ ms}$ ), volí se zpravidla doba integrace  $T = k \cdot 20 \text{ ms}$ .

Protože síťový kmitočet často kolísá až o několik % kolem 50 Hz, zmenší se při pevné době integrace potlačení rušení síťového kmitočtu. Přesné číslicové voltmetry a multimetry proto často používají obvody pro synchronizaci doby integrace s periodou sítě.

Potlačení sériového rušení však nezávisí jen na kmitočtu rušení, ale i na jeho fázi. Představme si, že vyšrafováná plocha na obr. 12, vyjadřující nevykompenzovaný zbytek rušivého napětí, je malá vzhledem k celé ploše půlvlny. Potom je zřejmé, že tento zbytek bude v okolí nulových rušivých napětí menší, než v okolí jeho maximálních hodnot. Proto je výhodné synchronizovat také počátek doby integrace s okamžikem průchodu rušivého signálu nulou.

Integrační metody analogově číslicového převodu, tj. metody, u nichž se převáděné napětí integruje, můžeme rozdělit na dvě základní skupiny podle toho, na jakou pomocnou veličinu se měřené napětí převádí:  
a) integrační metoda s mezipřevodem na kmitočet,  
b) integrační metoda s mezipřevodem na časový interval.

Z hlediska potlačení sériových rušivých signálů jsou obě metody rovnocenné. Na obr. 11 jsme si ukázali, jak rušivé napětí ovlivňuje výstup integrátoru a jak se integraci jeho vliv potlačuje. Tohoto způsobu integrace se využívá u metod s mezipřevodem na časový interval. U integrační metody s mezipřevodem na kmitočet se, jak již vyplývá z názvu, převádí měřené napětí nejdříve na kmitočet a ten se potom, jak uvidíme dále, převádí na číslicový údaj (čítáním po určitou pevně stanovenou dobu). Je-li opět tato doba čítání rovna periodě rušivého napětí (nebo jejímu násobku), potlačí se vliv rušivého napětí na přesnost měření. Tento způsob potlačení nám nejlépe objasní zjednodušené průběhy na obr. 14. Je-li na vstupu převodníku napětí-kmitočet pouze stejnosměrné měřené napětí  $U_x$  bez superponovaného rušení, objeví se na výstupu převodníku kmitočtu konstantního kmitočtu, úměrného  $U_x$ . V našem příkladu (obr. 14b) se za dobu integrace  $T$  objeví 10 kmitů. Průběh na obr. 14c ukazuje kmity na výstupu převodníku, na jehož vstup bylo připojeno měřené napětí  $U_x$ .



Obr. 14. Potlačení sériových rušivých signálů integrační metodou s mezipřevodem na kmitočet

se superponovaným rušivým napětím  $U_r$  (obr. 14a). Vidíme, že se při zvětšování napětí (při kladné půlvlně) kmitočet zvyšuje a naopak. K opačné situaci dochází při záporné půlvlně – kmitočet se nejdříve snižuje a potom opět zvyšuje. Přitom celkový počet kmitů za dobu integrace  $T$  je stejný jako na obr. 14b. Vliv rušivého signálu  $U_r$  byl tedy potlačen.

V další části si všimneme bliže principů činnosti obou jmenovaných integračních metod.

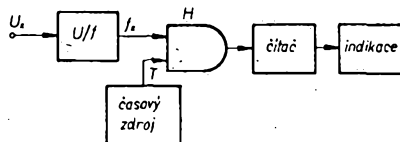
#### Integrační metoda s mezipřevodem na kmitočet

Nejjednodušší blokové schéma převodníku využívajícího této metodu je na obr. 15. Měřené napětí  $U_x$  se nejdříve převádí na kmitočet  $f_x$  převodníkem napětí-kmitočet ( $U/f$ ). Kmity  $f_x$  se potom přivádějí přes hradlo  $H$  do čítače po dobu  $T$ . Interval  $T$  závisí na činnosti „časového zdroje“. Byl-li čítač na začátku intervalu  $T$  vynulován, je jeho stav na konci intervalu  $T$  úměrný měřenému napětí  $U_x$  a může se jako výsledek převodu zobrazit vhodným indikačním zařízením.

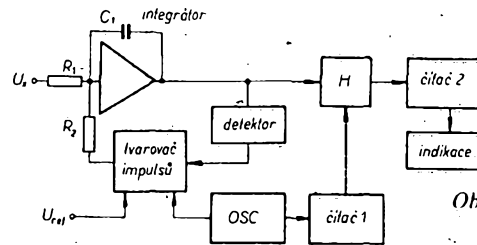
Popsaný systém patří k obvodům s otevřenou smyčkou, takže výsledná přesnost je ovlivněna přesnosti a linearitou převodníku  $U/f$  i zdroje časového intervalu. Tyto nedostatky odstraňuje zpětnovazební systém, jehož blokové schéma je na obr. 16.

Vstupní měřené napětí  $U_x$  se přivádí na vstup integrátoru, tvořeného operačním zesilovačem s kapacitní zpětnou vazbou. Proud tekoucí vstupním odporem  $R_1$  vytváří na výstupu integrátoru lineárně se zvětšující napětí. Dosáhne-li toto napětí předem zvoleného prahového úrovně, překlopí se detekční obvod, jehož výstup řídí obvod tvarovače impulsů. Z tvarovače se přesně definovaný náboj zavádí přes odpor  $R_2$  na vstup integrátoru. Tímto nábojem se vybije integrační kondenzátor  $C_1$  a napětí na výstupu integrátoru se prudce zmenší na výchozi (nulovou) úroveň a znova se začne zvětšovat. Tento děj se stále opakuje, takže na výstupu integrátoru se objeví pilovité kmity. Chceme-li, aby střední hodnota tohoto průběhu byla konstantní, musí se náboj dodány do integrátoru ze vstupního napětí  $U_x$  rovnat náboji odebraném zpětnou vazbou. Je-li tento náboj konstantní, je potom kmitočet signálu pilovitého průběhu na výstupu integrátoru přesně úměrný velikosti vstupního proudu a tím i  $U_x$  za předpokladu, že  $R_1$  je přesný stabilní odpór. Amplituda a šířka impulsů zaváděných přes  $R_2$  na vstup integrátoru musí být tedy přesně definována. Toho se dosáhne tím, že je šířka impulsů řízena oscilátorem hodinových impulsů a jejich amplituda je určena stabilním referenčním napětím  $U_{ref}$ . Oscilátor zároveň určuje dobu integrace  $T$  (tj. dobu čítání kmitů na výstupu integrátoru) pomocí vhodného děliče kmitočtu (čítač 1).

Jakákoliv změna kmitočtu oscilátoru vyvolá takovou změnu šířky vybijecích zpětnovazebních impulsů a zároveň i změnu doby integrace  $T$ , že počet kmitů načítaných čítačem 2 zůstane nezměněn. Z toho vyplývá, že kmitočet oscilátoru nemusí být velmi stabilní. Velké nejsou ani nároky na linearitu vztahu



Obr. 15. Princip integrační metody s mezipřevodem na kmitočet



Obr. 16. Zpětnovazební systém s převodníkem napětí-kmitočet

né části pilovitého průběhu kmitů integrátoru, takže v integračním obvodu může být použit velmi jednoduchý zesilovač (s jediným tranzistorem).

Blokové schéma na obr. 16 popisuje pouze základní princip této metody analogově číslicového převodu. Je známa řada variant využívajících převodníků napětí-kmitočet. Jejich popis by však přesahl rámec tohoto přehledu.

#### Integrační metoda s mezipřevodem na časový interval

Princip této metody, nazývané také metodou s dvojí integrací (dual slope, up-down integration, dual ramp method), si vysvětlíme pomocí průběhu na obr. 17 a blokového schématu na obr. 18.

Celý převod je možno rozdělit do dvou časových intervalů  $T_1$  a  $T_2$ . Po dobu  $T_1$  je vstupním přepínačem  $P_f$  připojeno na vstup integrátoru (integrační zapojení operačního zesilovače, OZ) měřené vstupní napětí  $U_x$ . Napětí  $U_x$  na výstupu integrátoru se lineárně zvětšuje, takže na konci intervalu  $T_1$  dosáhne velikosti:

$$U_1 = \frac{1}{RC} \int_{0}^{T_1} U_x dt = U_x \frac{T_1}{RC} \quad (6)$$

kde  $RC$  je časová konstanta integrátoru. Během intervalu  $T_2$  je na vstup integrátoru připojeno referenční napětí  $U_R$  opačné polarity vzhledem k  $U_x$ . Napětí na výstupu integrátoru se lineárně zmenší, až na konci časového intervalu  $T_2$  dosáhne výchozí (nulové) velikosti. Můžeme psát:

$$U_1 - \frac{1}{RC} \int_{0}^{T_2} U_R dt = 0 \quad (7)$$

Dosadíme-li za  $U_1$  ze vztahu (6) a předpokládáme-li, že  $U_R$  je konstantní, platí:

$$U_x \frac{T_1}{RC} - U_R \frac{T_2}{RC} = 0 \quad (8)$$

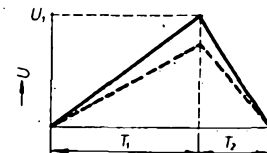
Po úpravě dostaneme vztah

$$U_x = U_R \frac{T_2}{T_1} \quad (9)$$

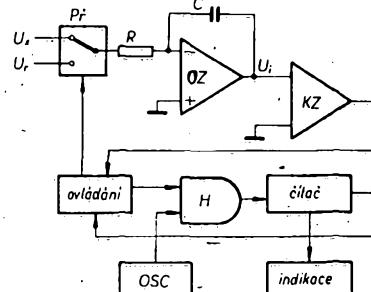
Protože  $U_R$  i  $T_1$  mají konstantní velikost, je  $U_x$  přímo úměrné  $T_2$ , tedy časovému intervalu, po kterém je připojeno referenční napětí.

Časový interval  $T_1$  se ziskává zaplněním čítače hodinovými impulsy z oscilátoru. Ovládací obvody řídí přepínací  $P_f$  na hradlo  $H$ . Na začátku převodu připojí  $P_f$  napětí  $U_x$  na vstup integrátoru a hradlo  $H$  se otevře. Po zaplnění čítače se  $P_f$  přepne na  $U_R$  a hradlo  $H$  zůstane otevřeno, takže čítač se začne znovu zahřívovat impulsy z oscilátoru. Zmenší-li se napětí na výstupu integrátoru na nulu, překlopí se komparační zesilovač  $KZ$  a pomocí ovládací logiky odpojí  $P_f$  od  $U_R$  a uzavře hradlo  $H$ . Stav čítače je potom přímo úměrný časovému intervalu  $T_2$  a tedy podle vztahu (9) i vstupnímu napětí  $U_x$ .

Ze vztahu (9) také vyplývá, že přesnost převodu nezávisí na stabilitě integračního odporu  $R_1$  a kondenzátoru  $C_1$ , což vyplývá i z obr. 17, kde je čárkováné průběh na výstupu integrátoru při změně časové konstanty  $RC$ . Zmenšený sklon při integraci  $U_x$  (interval  $T_1$ ) se kompenzuje zmenšením sklo-



Obr. 17. Metoda s dvojí integrací – průběh na výstupu integrátoru



Obr. 18. Blokové schéma integrační metody s mezipřevodem na časový interval

nu při integraci  $U_R$  (interval  $T_2$ ), neboť v obou případech se využívají stejných prvků ( $R_1$ ,  $C_1$ ). Stejným způsobem se eliminuje také případná nestabilita kmitočtu oscilátoru (neuvážejme přitom vliv sériového rušení). Zmenší-li se např. kmitočet oscilátoru, proloulí se interval  $T_1$ , takže na jeho konci bude napětí na výstupu větší. Toto zvětšení eliminuje zmenšení počtu impulsů čítaných čítačem během intervalu  $T_2$ , takže výsledný počet impulsů bude stejný jako před znižením kmitočtu. Předpokladem pro úspěšnou kompenzaci driftu časové konstanty integrátoru i kmitočtu oscilátoru je, že se tyto veličiny nesmí změnit během jednoho převodu. Protože k témuž driftu dochází nejčastěji vlivem teplotních změn, které jsou ve srovnání s dobou převodu mnohem pomalejší, je nás předpoklad oprávněný.

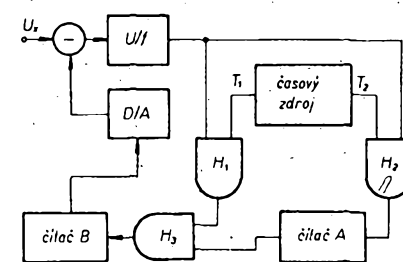
Popsané čtyři základní metody analogově číslicového převodu jsou používány výrobci číslicových měřicích přístrojů v řadě nejrůznějších variant a provedení. Kromě toho bylo také vyvinuto několik metod, které jsou kombinacemi uvedených základních principů. Protože některé z nich by mohly být zajímavé i pro amatérské použití, zmínime se krátce i o těchto kombinovanych principech.

#### Kombinované metody analogově číslicového převodu

##### Integrační kompenzační metoda

Tato metoda, vyvinutá před deseti lety u firmy Hewlett-Packard, slouží v sobě výhody kompenzačního i integračního principu. Lze s ní dosáhnout velkých přesností (až 0,001 %) a současně i schopnosti potlačit sériově rušivé signály. Zjednodušený princip činnosti si vysvětlíme na blokovém schématu na obr. 19.

Předpokládejme, že na počátku převodu jsou oba čítače (A a B) vynulovány a tedy i napětí na výstupu číslicově analogového



Obr. 19. Kombinovaná integrační kompenzační metoda analogově číslicového převodu

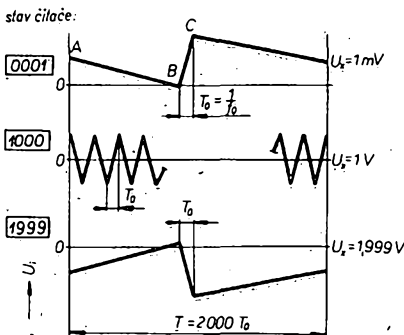
(D/A) převodníku, připojeného k výstupům čítače B, je nulové. Převodník napětí-kmitočet ( $U/f$ ) tedy provede měřené napětí  $U_i$  na kmitočet, který se po dobu  $T_0$  pouští do čítače B přes hradla  $H_1$  a  $H_2$ . Na konci intervalu  $T_0$  odpovídá stav čítače s určitou přesností napětí  $U_i$ . Tento stav čítače B se převodníkem D/A provede zpět na napětí, které po odečtení od napětí  $U_i$  vytvoří chybouvý napětí, které se znova přivede na vstup převodníku  $U/f$ . Kmitočet odpovídající tomuto napětí se v časovém intervalu  $T_0$  přivádí přes hradlo  $H_2$  do čítače A. Po skončení převodu odpovídá měřenému napětí číslo vytvořené ze stavů obou čítačů, přičemž nižší řady jsou v čítači B a vyšší řady v čítači A. Má-li například čítač B rozsah čtyř dekadických řádů a čítač A dvou dekadických řádů, je výsledný číslícový údaj šestimístný. To odpovídá rozlišovací schopnosti 1 : 1 000 000. Takové vlastnosti pochopitelně nejsou u amatérských měřicích přístrojů nutné. Složitost zapojení přístroje je značná, takže lze říci, že tato metoda není pro nás účel vhodná, i když patří k nejdokonalejším.

Pro nás jsou mnohem zajímavější metody, o nichž by se dalo říci, že jsou jakousi kombinací obou integrálních metod, tedy metody s mezipřevodem na časový interval ( $U/t$ ) a metody s mezipřevodem na kmitočet ( $U/f$ ). První z nich byla již popsána v AR 1/1976, proto jen stručně popišeme její princip.

#### Metoda s vyrovnaním náboje (charge balancing)

Na obr. 20 je zjednodušené schéma převodníku, pracujícího na tomto principu. používaného u americké firmy Keithley. Rozdíl proti metodě s dvojí integrací (dual slope) spočívá v tom, že interval, po který se integruje měřené napětí  $U_i$ , není pevný, ale trvá pouze do okamžiku, kdy napětí na výstupu integrátoru (IZ) dosáhne prahové úrovně. Potom se na vstup integrátoru připojí referenční proud  $I_{ref}$  takové polarity, aby se napětí na výstupu integrátoru změňovalo. Je-li znova překročena prahová úroveň, referenční proud se odpojí a integrační kondenzátor C se začne znovu nabijet. Čítač, jehož stav na konci převodu odpovídá  $U_i$ , je buzen hodinovými impulsy o kmitočtu  $f_0$  pouze v době, kdy je připojen referenční proud, a v dobu konstantního časového intervalu  $T$  odvozeného zpravidla od  $f_0$ . Na obr. 20 je integrátor IZ vytvořen integračním zapojením operačního zesilovače, detektor prahové úrovně KZ operačním zesilovačem. Spínač referenčního proudu  $I_{ref}$  (tvořený diodami  $D_1$  a  $D_2$ ) je ovládán klopovým obvodem typu D, který reaguje na změnu stavu komparátoru KZ s příchodem hodinového impulsu. Nejsnáze lze pochopit funkci převodníku z průběhů na obr. 21.

Předpokládejme, že  $U_i$  má jmenovitou (maximální měřitelnou) velikost 2 V, obsah čítače je max. 2000 impulsů,  $I_{ref} = 1 \text{ mA}$  a  $R = 2 \text{ k}\Omega$ . Na prvním grafu je průběh na výstupu integrátoru při  $U_i = 1 \text{ mV}$ . Vlivem malého vstupního proudu ( $0,5 \mu\text{A}$ ) se  $-U_i$  zmenšuje velmi pomalu z náhodné výchozí polohy (bod A), až v bodě B překročí prahovou (v našem případě nulovou) úroveň. V tomto okamžiku se překlopí komparátor KZ a po příchodu hodinového impulsu



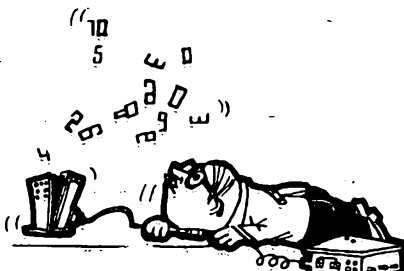
Obr. 21. Průběhy na výstupu integrátoru u metody s vyrovnaním náboje

v klopový obvod D, který připojuje vstupu referenční proud; ten je ve srovnání se vstupním proudem mnohonásobně větší (1 mA). Napětí se prudce zvětší až do bodu C, kdy další hodinový impuls překlopí zpět klopový obvod (nebo komparátor již předtím změnil stav). Tím se také odpojí referenční proud a  $U_i$  se opět pomalu zmenšuje. Do čítače se během celého intervalu  $T$  dostal pouze jediný hodinový impuls (mezi okamžíky B a C), takže stav čítače po skončení převodu je 0001.

Na druhém grafu je průběh  $U_i$  pro měřené napětí  $U_i = 1 \text{ V}$ . Při integraci měřeného napětí teče do integrátoru vstupní proud  $I_i = 0,5 \text{ mA}$ . Po připojení referenčního proudu  $I_{ref} = 1 \text{ mA}$  odteká tedy ze sčítacího bodu integrátoru IZ také 0,5 mA, takže  $U_i$  má průběh rovnoramenného trojúhelníku. Do čítače tedy projde polovina z celkového počtu 2000 impulsů a po skončení intervalu  $T$  je stav čítače 1000.

Třetí graf (obr. 21) ukazuje průběh na výstupu integrátoru IZ při  $U_i = 1,999 \text{ V}$ . Vstupní proud je  $I_i = 1 \text{ mA}$ , takže připojení referenčního proudu jsou oba proudy téměř shodné a změna napětí  $U_i$  je velmi pomalá. Protože až na krátký okamžík  $T_0$  po překročení nulové úrovně je stále připojen referenční proud, načítá čítač za dobu  $T$  1999 impulsů, takže jeho stav na konci převodu odpovídá vstupnímu napětí  $U_i$ . Hlavní výhodou popsane metody je jednoduchost. Vždyť blokové schéma na obr. 20 se již příliš nelíší od skutečného zapojení. Nevhodami jsou unipolární provoz ( $U_i$  může mít pouze jednu poláritu) a především neschopnost potlačit sériové rušivé signály (bez vstupního filtru).

Další, poměrně nová metoda analogové číslicového převodu byla využita u firmy Philips speciálně pro obvody MOS LSI. Základním kritériem při návrhu této metody bylo zmenšit počet analogových a přesných



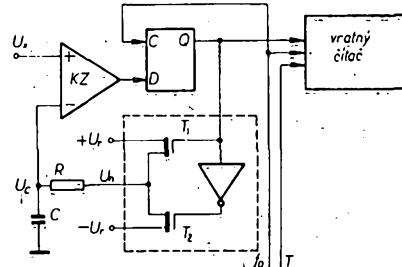
Obr. 20. Integrační metoda s vyrovnaním náboje

prvků. Právě z tohoto důvodu by tato metoda mohla být zajímavá i pro amatéry.

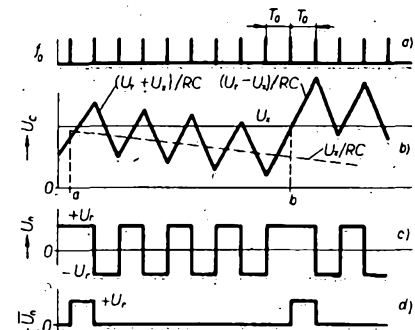
#### Modulace delta

K popisu použijeme blokové schéma na obr. 22 a grafické průběhy na obr. 23. Měřené vstupní napětí  $U_i$  se srovnává s napětím  $U_c$  na kondenzátoru C, který se nabije nebo vybijí přes odpor R ze zdrojů referenčního napětí  $+U_r$  nebo  $-U_r$ , připojovaných k R spínači s  $T_1$  a  $T_2$ . Spínače jsou ovládány výstupem klopového obvodu D. Jeho stav se mění podle stavu na výstupu komparátoru KZ při příchodu hodinového impulsu (kmitočet hodinových impulsů je  $f_0$ ). Hodinové impulsy se přivádějí i do vratného čítače, kde se čítají po dobu  $T$  v závislosti na stavu klopového obvodu, který určuje směr, čítání (vpřed–zad).

Na obr. 23b je průběh napětí na kondenzátoru C. Je-li  $U_i > U_c$ , je stav klopového obvodu Q = 1. Tranzistor  $T_1$  vede a připojuje přes odpor R ke kondenzátoru C referenční napětí  $+U_r$ , takže napětí na C se zvětšuje. Bude-li  $U_c > U_i$ , překlopí se při dalším hodinovém impulsu klopový obvod, takže je připojeno  $-U_r$  a C se vybije. Strmost nabijení a vybijení C závisí na  $U_c$  a tedy i na  $U_i$ . Cím větší je  $U_i$ , tím strmější je vybijení C a pozvolnější nabijení. Cyklus nabijení a vybijení C se pravidelně mění při každém hodinovém impulsu tak dlouho, až  $U_c$  nedosáhne úrovně  $U_r$ , před příchodem dalšího hodinového impulsu s  $U_c$  a C se vybije. Strmost nabijení a vybijení C trvá po dobu dvou intervalů  $T_0$  mezi hodinovými impulsy. Na obr. 23c je průběh napětí  $U_r$  v místě, kde je odpor R připojen ke spínačům s  $T_1$  a  $T_2$ . Vídíme, že v intervalu mezi okamžíky a a b je průměrná velikost  $U_r$  nulová, neboť intervaly, po které je připojeno  $+U_r$  a  $-U_r$ , jsou stejné. Eliminujeme-li tyto úseky, dostaneme průběh na obr. 23d, který je úměrný  $U_i$ , neboť cím je  $U_i$  větší, tím je počet impulsů  $U_r$  v daném intervalu  $T$  větší. Počet intervalů  $T_0$ , po které je  $U_r$  za dobu měřicího intervalu  $T$  kladné, určuje stav vratného čítače po skončení převodu, neboť čítá vpřed, je-li připojeno  $+U_r$ , a vzad při připojeném  $-U_r$ .



Obr. 22. Blokové schéma analogové číslicového převodníku pracujícího na principu modulace delta



Obr. 23. Průběhy v převodníku pracujícím na principu modulace delta

Tento princip, poněkud obtížnější k pochopení, vyžaduje minimální počet přesných analogových prvků. Nevýhodou je potřeba vratného čítače a obtíže s měřením napětí obou polarit. Je-li totiž  $U$ , záporné, je po skončení převodu stav vratného čítače doplněm měřeného údaje.

Uvedený přehled metod analogové číslicového převodu měl za úkol seznámit zájemce o tuto problematiku se všemi dnes běžně používanými principy tak, aby si mohl učinit představu o tom, která metoda bude daným požadavkům nejlépe vyhovovat. Specifikaci číslicového multimetru pro radioamatéry, uvedené v úvodní kapitole, nejlépe vyhovuje integrační metoda s mezipřevodem na časový interval, neboli metoda s dvojí integrací. V závěru této kapitoly porovnáme heslovité nejdůležitější vlastnosti všech ostatních metod právě s touto metodou, aby mohl čtenář snadněji posoudit, zda je nás výběr nevhodnější metodou analogové číslicového převodu oprávněný.

**Kompenzační metoda** – velká rychlosť i přesnost převodu mnohonásobně převyšuje naše požadavky. Velký počet přesných součástek a malá odolnost proti potlačení rušivých signálů. Obtížná kalibrace. Obtíže při měření kalibračních signálů.

**Metoda pilovitého převodu** – vyhovující přesnost i rychlosť, jednoduché zapojení. Nevýhodou je značná citlivost na rušení, změny kmitočtu oscilátoru a linearitu pilovitého průběhu.

**Integrační metoda s mezipřevodem na kmitočet** – výhodou je možnost využít i jako měřiče kmitočtu, odolnost proti rušení je stejná jako u integrační metody. Nevýhodou je potřeba dvou čítačů a obtíže při měření signálů obou polarit.

**Integračně kompenzační metoda** – velmi výhodou je možnost využít i jako měřiče kmitočtu, odolnost proti rušení je stejná jako u integrační metody. Nevýhodou je značná složitost, přesahující možnosti amatérské stavby.

**Metoda s využitím náboje** – vyhovující přesnost i rychlosť, velmi jednoduché zapojení. Nevýhodou je citlivost k sériovým rušivým signálům a možnost měřit pouze jednu polaritu vstupního napětí.

**Modulace delta** – velmi malý počet přesných analogových prvků, jednoduché zapojení. Nevýhodou je potřeba vratného čítače a obtíže s měřením obou polarit.

Popsané principy se vesměs týkaly způsobů provedu stejnosměrného napětí na číslicový údaj. Ostatní elektrické veličiny měřené číslicovými multimetry se zpravidla nejdříve převádějí na stejnosměrné napětí a teprve potom na číslicový údaj. Protože číslicové multimetry obvykle umožňují měření kromě stejnosměrných napětí také střídavá napětí a odpory, budeme se v další části zabývat způsoby převodu těchto veličin na stejnosměrné napětí.



### 3. Přehled metod převodu střídavých napětí a odporů na stejnosměrné napětí

Nejdříve se tedy zaměříme na způsoby převodu střídavých napětí na stejnosměrná (velmi je rozšířeno označení převodníky AC-DC – z angl. alternating a direct current). Po úvodním přehledu všech metod se zaměříme na ty, které se používají u jednodušších číslicových multimeterů.

#### Převodníky střídavých napětí na stejnosměrná napětí

Jak známo, veličinu se střídavým periodickým průběhem lze charakterizovat třemi různými parametry: špičkovou, střední a efektivní hodnotou. Osciloskopem snadno změříme špičkovou hodnotu, důležitou např. tehdy, chceme-li vědět, nezahltí-li neznámý signál zesilovač. V mnoha případech nám však špičková hodnota nedá postačující informace (např. náhodný šum má značně velké špičky, které nevystihují dobře jeho celkovou úroveň). Střední hodnota periodické funkce, definovaná vztahem

$$Y_{st} = \frac{1}{T} \int_0^T y(t) dt \quad (10),$$

kde  $y(t)$  je periodická funkce s periodou  $T$ , vystihuje charakter periodické funkce lépe. Přesto se všeobecně používá efektivní hodnota, definovaná vztahem

$$Y_{ef} = \sqrt{\frac{1}{T} \int_0^T y(t)^2 dt} \quad (11).$$

Hlavním důvodem pro zavedení této definice je skutečnost, že střídavý proud vytvoří v odporu stejný tepelný výkon, jaký by v tomto odporu vytvořil stejnosměrný proud s „amplitudou“ rovnou právě efektivní hodnotě střídavého proudu. Všechny číslicové multimeter vybavené možností měření střídavá napětí jsou cejchovány v efektivních hodnotách.

Metody převodu AC/DC se rozdělují na přímé a nepřímé právě podle toho, zda měří efektivní hodnotu přímo, nebo nepřímo pomocí střední nebo špičkové hodnoty, překalibrované potom na efektivní hodnotu.

#### Přímé metody převodu AC-DC

Přímé metody měření efektivní hodnoty je možno rozdělit na

- teplotní (termální), a
- výpočtové.

**Teplotní metoda** měření efektivní hodnoty využívá toho, že stejnosměrné napětí termoelektrického článku je ekvivalentní efektivnímu napětí střídavého signálu, který článek ohřívá. Touto metodou se dosahuje velké přesnosti, velké necitlivosti na zkreslení měřeného signálu i velké šířky pásma. Používá se proto ve špičkových přístrojích a standardech. Složitější obvody nutné ke kompenzaci nedostatků používaných termočlánků velmi prodražují celé zařízení. Kromě toho je nevhodná i malá rychlosť měření a obtíže při měření na nízkých kmitočtech (pod 45 Hz). Proto se zejména v poslední době stále častěji používá výpočtová metoda.

**Výpočtová metoda (computing RMS)** vychází v principu z matematické definice efektivní hodnoty [vztah (11)], přičemž potřebné matematické úkony se řeší pomocí prvků analogové výpočetní techniky. Zjednodušené blokové schéma je na obr. 24. Blok A představuje přesný dvoucestný usměrňovač, blok B přesný kvadrátor (aproximace

kvadratické funkce operačními zesilovači s diodami ve zpětné vazbě). Blok C je tvořen vícepólovými aktivními filtry. Touto metodou lze dosáhnout parametrů téměř srovnatelných s metodou teplotní při menší složitosti a tím i nižších nákladech. Objevuje se proto stále častěji u kvalitních číslicových multimeterů třídy přesnosti 0,01 %. U levných přístrojů však stále převládá metoda nepřímého měření.

#### Nepřímé metody převodu AC-DC

Nepřímé metody se dělí podle toho, na jakou veličinu se střídavé napětí převádí, dříve než se prepočítá na efektivní hodnotu:

- metoda špičkové hodnoty (peak),
- metoda střední hodnoty (average).

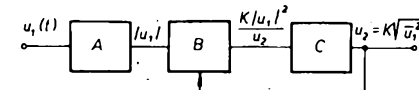
##### Metoda špičkové hodnoty

Tato metoda patří k nejstarším způsobům převodu AC-DC. Základní zapojení je na obr. 25. Měřeným střídavým napětím  $U$  se přes diodu D nabíjí kondenzátor C. Stejnosměrné napětí na kondenzátoru se po úpravě přivádí do převodníku A/D, v němž se převede na číslicový údaj. Tento princip převodu má však řadu závažných nedostatků. Ze všech používaných metod převodu AC/DC je nejcitlivější na zkreslení měřeného signálu a na šum. Z těchto důvodů se používá jen u nejlevnějších univerzálních přístrojů s přesností kolem 5 %. Pro použití v číslicovém multimeteru třídy přesnosti 0,1 % tedy není tato metoda vhodná.

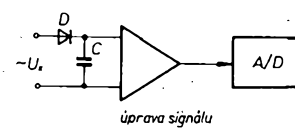
##### Metoda střední hodnoty

Tato metoda převodu střídavých napětí je charakterizována dobrou stabilitou a citlivostí i vyhovující rychlosťí měření při relativně nízkých nákladech. To vedlo k jejímu širokému uplatnění v číslicových multimeetrech, takže dnes je nejpoužívanější metodou u nejpočetnější skupiny přístrojů střední třídy přesnosti. Zjednodušené blokové schéma je na obr. 26. Protože střední hodnota symetrického střídavého průběhu je nulová, musí se měřené střídavé napětí,  $U$ , přivést nejdříve na přesný jednocestný nebo dvoucestný usměrňovač. Střední hodnota usměrňeného napětí se potom získává filtrací pasivním nebo aktivním filtrem (tj. filtrem s operačním zesilovačem). Získanou střední hodnotu je nutno vynásobit činitelem vyplývajícím z matematického vyjádření vztahu mezi střední a efektivní hodnotou nezkresleného sinusového průběhu. Platí

$$U_{st} = -\frac{U_{sp}}{\pi} \int_0^\pi \sin \Theta d\Theta = \frac{2U_{sp}}{\pi} \quad (12).$$



Obr. 24. Výpočtová metoda měření efektivní hodnoty střídavého napětí



Obr. 25. Metoda převodu AC-DC s měřením špičkové hodnoty



Obr. 26. Metoda převodu AC-DC s měřením střední hodnoty

Z tohoto vztahu tedy plyně, že

$$U_{sp} = \frac{\pi}{2} U_{st} \quad (13)$$

Pro efektivní hodnotu platí podle vztahu (11)

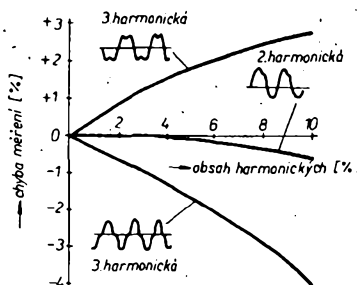
$$U_{ef} = U_{sp} \sqrt{\frac{1}{\pi} \int_0^{\pi} \sin^2 \Theta d\Theta} = \frac{U_{sp}}{2} \quad (14)$$

Srovnáním vztahů (13) a (14) dostaneme

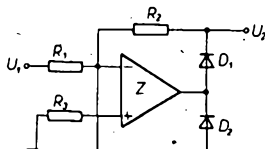
$$U_{ef} = \frac{\pi U_{st}}{2} = 1,11072 U_{st} \quad (15)$$

Z výrazu (15) vyplývá, že při měření efektivní hodnoty střídavého napětí je nutno získanou střední hodnotu vynásobit činitelem 1,11. Jak již bylo uvedeno, platí vztah (15) pouze pro nezkreslený sinusový signál. V praxi se však s nezkreslenými sinusovými signály setkáme velmi zřídka. Zkreslení síťového napětí dosahuje až 5 % a např. i generátor RC TESLA BM344 má zkreslení až 0,5 %. Přitom zkreslení 3 % změní přesnost promilového (0,1 %) převodníku střední hodnoty (cejchovaného v efektivních hodnotách) o řád (1 %). Při měření napětí pravouhlého průběhu vzniká již chyba 11 %. Velikost zkreslení a tím i chyby měření jsou závislé především na obsahu vyšších harmonických kmitočtů v měřeném signálu. Vliv obsahu druhé a třetí harmonické (v %) v měřeném signálu na přesnost převodníku AC/DC podle metody střední hodnoty je možno vyjádřit v grafickém (obr. 27).

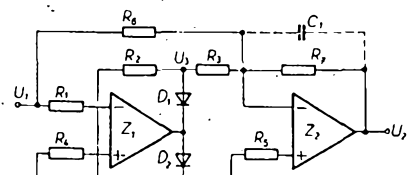
Přes uvedené nedostatky se metoda střední hodnoty velmi rozšířila zejména díky integrovaným operačním zesilovačům. Samotný diodový usměrňovač má totiž závažné nedostaty zejména při měření malých napětí (křemíkové diody vedou až při napětí asi 0,6 V). Umístění se však dioda do zpětnovazební smyčky operačního zesilovače, vydělí se napětí, při němž začíná vést, ziskem otevřené smyčky zesilovače, a tento nepříznivý jev se prakticky odstrani.



Obr. 27. Vliv vyšších harmonických kmitočtů na přesnost převodníku AC-DC s měřením střední hodnoty



Obr. 28. Zapojení jednocestného usměrňovače s operačním zesilovačem



Obr. 29. Zapojení dvoucestného usměrňovače s operačními zesilovači

Základní zapojení přesného jednocestného usměrňovače s operačním zesilovačem je na obr. 28. Vstupní měřený střídavý signál  $U_1$  se přivádí před odporem  $R_1$  do síticeho bodu invertujícího zesilovače  $Z$ . Má-li vstupní signál  $U_1$  zápornou polaritu, má výstup zesilovače polaritu kladnou, dioda  $D_1$  je otevřena a na zpětnovazebním odporu  $R_2$  se vytvoří úbytek napětí

$$U_2 = -U_1 R_2 / R_1 \quad (16)$$

Má-li vstupní signál kladnou polaritu, bude výstupní napětí zesilovače záporné a dioda  $D_1$  se uzavře. Výstupní napětí  $U_2 = 0$ . Diódou  $D_2$  se uzavírá záporná zpětná vazba, která zamezuje zmenšení výstupního napětí zesilovače pod  $-0,7$  V a zabraňuje tak zahlcení operačního zesilovače.

Přidá-li se k jednocestnému usměrňovači podle obr. 28 další zesilovač, dostaneme přesný dvoucestný usměrňovač (obr. 29). Zesilovač  $Z_2$  scítá jednocestné usměrňený signál  $U_3$  z výstupu jednocestného usměrňovače a výstupní měřený signál  $U_1$ .

Pro záporné vstupní signály je výstupní napětí  $U_3$  jednocestného usměrňovače nulové (diody  $D_1$  a  $D_2$  jsou zapojeny obráceně vzhledem k obr. 28) a odporem  $R_3$  tedy proud neteče. Výstupní napětí zesilovače  $Z_2$  je potom

$$U_2 = -U_1 R_2 / R_3 \quad (17)$$

Pro kladné vstupní signály se v nulovém bodě zesilovače  $Z_2$  scítají proudy tekoucí odpory  $R_3$  a  $R_4$ , takže výstupní napětí  $U_2$  je

$$U_2 = -\left( U_3 \frac{R_3}{R_4} + U_1 \frac{R_3}{R_4} \right) \quad (18)$$

Je-li  $R_3 = R_4$ , platí

$$U_2 = -U_1 \quad (19)$$

Dosadíme-li vztah (19) do rovnice (18), dostaneme

$$U_2 = -U_1 R_2 \left( \frac{1}{R_4} - \frac{1}{R_3} \right) \quad (20)$$

Položíme-li nyní  $R_3 = \frac{R_4}{2}$ , dostaneme

$$U_2 = U_1 \frac{R_2}{R_4} \quad (21)$$

Srovnáme-li vztahy (17) a (21) vidíme, že jak pro záporné vstupní signály, tak i pro kladné vstupní signály je výstupní napětí dvoucestného usměrňovače vždy kladné. Výstupní napětí je tedy vždy absolutní hodnota vstupního napětí

$$U_2 = |U_1| \text{ pro } R_2 = R_4 \quad (22)$$

Zapojení dvoucestného usměrňovače podle obr. 29 je velmi výhodné také proto, že zapojením kondenzátoru  $C_1$  do zpětné vazby zesilovače  $Z_2$  (tedy paralelně k odporu  $R_2$ ) získáme na výstupu stejnosměrnou střední hodnotu vstupního signálu (ze zesilovače  $Z_2$  jsme tím vytvořili aktivní filtr). Časová konstanta  $C_1 R_2$  musí být pochopitelně mnohem větší, než maximální perioda vstupního signálu.

Vhodnou volbou odporu  $R_2$  můžeme zároveň nastavit zisk celého převodníku tak, aby odpovidal činiteli 1,11 ze vztahu (15), takže na výstupu převodníku dostaneme stejnosměrné napětí, odpovídající efektivní hodnotě střídavého sinusového napětí přiloženého na vstup.

Metodou převodu střídavých napětí na stejnosměrná s měřením střední hodnoty jsme se zabývali hlouběji, neboť svými vlast-

nostmi i snadnosti realizace je pro číslicové multimetry trží přesnosti 0,1 % nejvhodnější. Převodník s jednocestným usměrňovačem podle obr. 28 a s pasivním filtrem ze trí členů  $RC$  je nejjednodušší řešení. Zapojení podle obr. 29 (s kondenzátorem  $C_1$ ) je však při nepatrně vyšších nákladech dokonalejší. Nároky na filtrace jsou při dvoucestném usměrňení menší, což je příznivé zejména při převodu střídavých napětí nízkých kmitočtů. Maximální kmitočet měřeného napětí, které je převodník s měřením střední hodnoty schopen s dostatečnou přesností zpracovat, je omezen zejména kmitočtovými vlastnostmi operačních zesilovačů, ale i rychlostí diod a parazitními kapacitami odporů a spojů. Proto musí být věnována zvýšená péče konstrukci obvodu, filtraci napájení apod. Při použití běžných operačních zesilovačů je však maximální kmitočet měřeného napětí 20 kHz. Určitého zlepšení lze dosáhnout tzv. dopřednou kompenzací (feedforward compensation). Princip spočívá v kompenzaci kmitočtové charakteristiky operačního zesilovače pomocí kondenzátoru, zapojeného mezi invertující vstup a vnitřní kompenzační bod.

### Principy odporu na stejnosměrné napětí

Princip převodu činného odporu na stejnosměrné napětí vyplývá přímo z Ohmova zákona. Vedeme-li měřeným odporem  $R_x$  přesně definovaný konstantní proud  $I_n$ , je úbytek napětí  $U_x$  na odporu přímo úměrný velikosti odporu

$$U_x = I_n R_x = KR_x \quad (23)$$

Hlavním problémem je zajistit, aby proud protékající měřeným odporem  $R_x$  byl konstantní bez ohledu na to, že  $R_x$  je proměnný. Řešení je v podstatě dvojí:

- a) použít zdroj konstantního proudu,
- b) zapojit měřený odpor do zpětné vazby zesilovače.

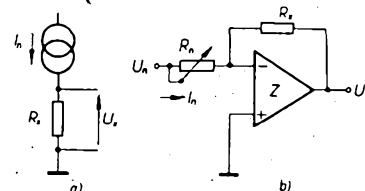
První způsob (obr. 30a) je evidentní; uvádědomíme-li si, že ideální zdroj proudu má nekonečný vnitřní odpor, takže velikost proudu  $I_n$  nezávisí na velikosti odporu  $R_x$ , zapojeného v sérii. Odpor  $R_x$  se jednoduše určí ze vztahu (23).

Na obr. 30b je princip převodu s měřeným odporem ve zpětné vazbě zesilovače. Konstantní proud je vytvořen pomocí zdroje konstantního napětí  $U_n$  a normálového odporu  $R_n$ . Zanedbáme-li vstupní proud ze zesilovače, teče proud  $I_n$  měřeným odporem  $R_x$  a vytváří na něm (a tím i na výstupu zesilovače) úbytek

$$U_x = -\frac{U_n}{R_n} R_x = -KR_x \quad (24)$$

Změnu odporu  $R_x$  je možno snadno měnit rozsahem měření.

Možnosti realizace zdrojů konstantního proudu pro první způsob převodu je celá řada. Další části si několik z nich ukážeme.



Obr. 30. Princip převodu odporu na stejnosměrné napětí: a) pomocí zdroje konstantního proudu, b) umisťěním měřeného odporu do zpětné vazby zesilovače

### Zdroje konstantního proudu pro měření odporu

Základní zapojení zdroje konstantního proudu s tranzistorem je na obr. 31. K bázi tranzistoru  $T_1$  je připojeno konstantní napětí  $U_{ZD}$  (vytvořené např. Zenerovou diodou  $ZD$ ). Na emitoru tranzistoru bude napětí  $U_n$  zmenšené o napětí přechodu báze-emitor. Proud  $I_n$  měřeným odporem  $R_n$  je tedy určen vztahem

$$I_n = \frac{U_{ZD} - U_{BE}}{R_n} - I_B \quad (25),$$

kde  $U_{ZD}$  je napětí Zenerovy diody a  $I_B$  je proud báze tranzistoru. Přesnost a stabilitu konstantního proudu v tomto zapojení ovlivňují především teplotní změny  $U_{BE}$  a  $I_B$ . Vliv  $I_B$  je možno změnit volbou tranzistoru s velkým proudovým zesilovacím činitelem. Vliv teplotních změn  $U_{BE}$  (přibližně  $-2 \text{ mV}/^\circ\text{C}$ ) lze omezit kompenzací podle obr. 32. Přechod báze-emitor tranzistoru  $T_2$  je zapojen do série se Zenerovou diodou. Uvažujeme-li polaritu přechodu báze-emitor obou tranzistorů, jsou potom přechody zapojeny „proti sobě“ a konstantní proud  $I_n$  je určen vztahem

$$I_n = \frac{I_{ZD} - (U_{BE1} - U_{BE2})}{R_n} - I_B \quad (26).$$

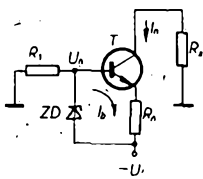
Napětí obou přechodů se tedy vzájemně kompenzují. Chceme-li kompenzovat i teplotní závislost přechodů, musíme zajistit dostatečnou tepelnou vazbu obou tranzistorů. Nejlepším řešením je použít monolitickou dvojici tranzistorů (např. připravovaný typ T<sub>C</sub> δ10). Náhradním řešením je umístit oba tranzistory v bloku z dobré tepelně vodivého materiálu. Jednodušším způsobem teplotní kompenzace přechodu báze-emitor je vybrat vhodný typ Zenerovy diody a tranzistor tak, aby se jejich teplotní závislosti kompenzovaly. Takovou dvojicí jsou např. KZ140 a KF524. Zhruba se dá říci, že oběma druhy kompenzace lze zlepšit teplotní stabilitu asi desetkrát.

Zajímavou metodou k získání konstantního proudu pro měření odporu je technika tzv. *bootstrap*. Na obr. 33 je zapojení používané v řadě multimetrů (Schlumberger, Daná), které mají neinvertující vstupní zesilovač. Měřený odpor  $R_n$  se připojí k neinvertujícímu vstupu vstupního zesilovače  $Z_1$  (tento zesilovač je součástí vlastního prevodníku napětí-číslo). Protože  $Z_1$  má díky zpětné vazbě ( $R_1, R_2$ ) na obou svých vstupech stejně napěti, přivádí se napětí  $U_n$ , vzniklé průchodem konstantního proudu odporem  $R_n$ , z invertujícího vstupu zesilovače  $Z_1$  na invertující vstup zesilovače  $Z_2$ . Na invertující vstup  $Z_2$  se přivádí konstantní proud  $I_n$ , který na odporu  $R_n$  vytváří úbytek napětí  $U_n$ . Na výstupu  $Z_2$  se tedy objeví součet napětí  $U_n + U_n$ . Přivedeme-li nyní výstupní napětí zesilovače  $Z_2$  na měřený odpor  $R_n$ , přes normálový odpor  $R_n$ , bude na odporu  $R_n$  konstantní napětí  $U_n = R_n I_n$  bez ohledu na změnu  $R_n$  (změna rozsahu) nebo  $R_n$ .

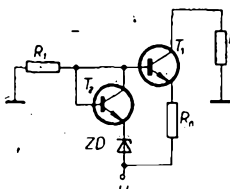
Známá jsou i zapojení zdrojů konstantního proudu s operačním zesilovačem, tato zapojení patří však do druhé skupiny prevodníků (s měřeným odporem ve zpětné vazbě zesilovače).

### Měřený odpor ve zpětné vazbě operačního zesilovače

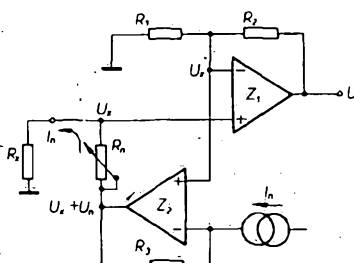
Základní zapojení na obr. 30b je možno modifikovat různými způsoby. Jedním z nich je i zapojení podle obr. 34. Na rozdíl od původního zapojení je zdroj normálového napěti  $U_n$  zatěžován konstantním proudem, určeným pevným odporem  $R_1$ . Přepínační normálový odpor  $R_n$  (určující proud  $I_n$ , protékající měřeným odporem  $R_n$ ) je umístěn až na výstupu zesilovače v bodu A.



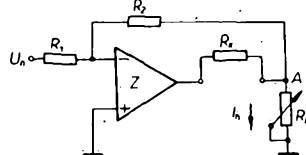
Obr. 31. Základní zapojení zdroje konstantního proudu pro měření odporu



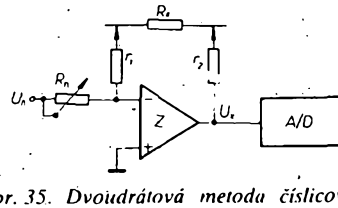
Obr. 32. Zapojení zdroje konstantního proudu s kompenzací teplotních změn



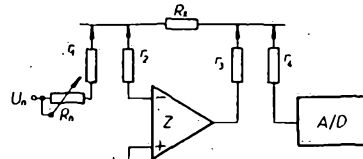
Obr. 33. Vytvoření konstantního proudu metodou bootstrap



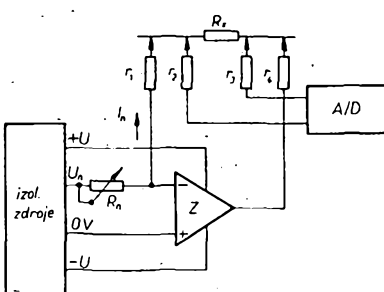
Obr. 34. Modifikované zapojení pro měření odporu



Obr. 35. Dvooudráťová metoda číslicového měření odporu



Obr. 36. Modifikovaná čtyřdráťová metoda číslicového měření odporu



Obr. 37. Čtyřdráťová metoda číslicového měření odporu

Všechna zapojení s měřeným odporem ve zpětné vazbě mají jednu společnou vlastnost, odlišující je od zapojení se zdrojem konstantního proudu: měřený odpor není možno uzemnit. Je ho proto nutno připojit k měřicímu přístroji nejméně dvěma přívody. Mohl by odpor přívodu nepříznivě ovlivnit přesnost měření (tedy zejména při měření malých odporů), používají se dokonce čtyři přívody. Podle počtu přívodů k měřenému odporu rozlišujeme tři základní typy metod převodu odporů na napětí:

- a) dvoudráťová metoda (two-wire),
- b) modifikovaná čtyřdráťová metoda (modified four-wire),
- c) čtyřdráťová metoda (true four-wire).

Základní schéma dvoudráťové metody na obr. 35 je prakticky totožné se základním schématem na obr. 30b. Navíc jsou vyznačeny pouze odpory  $r_1$  a  $r_2$  přívodů, které jsou zapojeny v sérii s měřeným odporem  $R_n$ . Chyba měření způsobená těmito odpory se vyjadřuje v procentech z plného rozsahu, takže se zmenšováním hodnoty měřeného odporu v daném rozsahu se chyba vztázená k  $R_n$  zvětšuje. Např. u číslicového ohmmetu měřicího s přesností  $\pm 0,1\%$  v rozsahu  $1 \text{ k}\Omega$  způsobí odpory přívodů  $r_1 + r_2 = 2 \Omega$  při měření  $R_n = 100 \Omega$  chybou  $2\%$ .

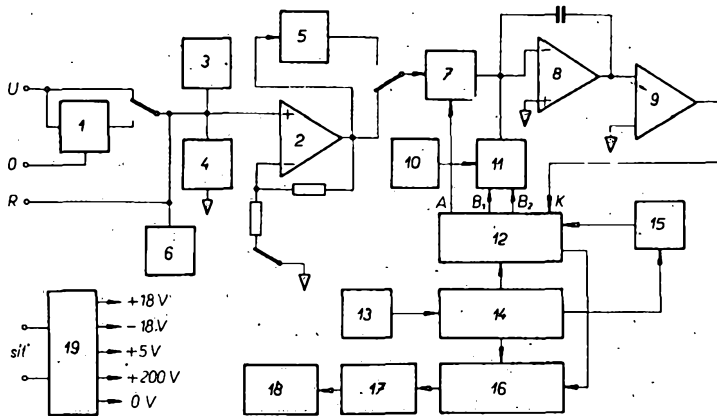
Tento nedostatek téměř úplně řeší zapojení „čtyřdráťové“ na obr. 36. Odpor  $R_n$  je opět zapojen do zpětné vazby operačního zesilovače pomocí přívodů s odpory  $r_2$  a  $r_3$ . Tyto odpory nemají žádný vliv na přesnost převodu, neboť se nalézají uvnitř zpětnovazební smyčky operačního zesilovače. Také odpor  $r_4$  přívodu z měřeného odporu do prevodníku A/D sice neuplatní vzhledem k očekávanému velkému vstupnímu odporu. Uplatní se pouze odpor  $r_1$  přívodu měřicího proudu  $I_n$ . Chyba způsobená tímto odporem se však uplatní jen v procentech z měřeného odporu, takže při zmenšování měřeného odporu  $R_n$  se vliv  $r_1$  zmenší (při  $R_n = 0$  udává prevodník skutečně nulovou hodnotu na rozdíl od dvoudráťové metody, při níž se stále přičítá odpor obou přívodů k  $R_n$ ). Navíc lze vliv  $r_1$  odstranit úplně, ocechujeme-li přístroj s danými přívodními dráty – pak můžeme  $r_1$  zahrnout do normálového odporu  $R_n$ , určujícího rozsah měření.

Vliv odporu přívodu zcela vyloučí čtyřdráťová metoda podle obr. 37. Při této metodě se používá k napájení zesilovače Z „plovoucí“ izolovaný zdroj, který vytváří z normálového napěti  $U_n$  a normálového odporu  $R_n$  zdroj konstantního proudu  $I_n$ , nezávislý na odporu přívodu  $r_1$ . Toto poměrně složité a nákladné zapojení se používá pouze u špičkových číslicových multimetrů (např. Hewlett Packard HP 3490 A).

Přes nesporné výhody obou typů čtyřdráťové metody měření odporů se u levných číslicových multimetrů využívá v převažné míře jednodušších zapojení se zdroji konstantního proudu. I v praktickém hledisku je tato metoda výhodnější, neboť zapojit čtyři přívodní dráty (vhodně zakončené) tak, aby se mohly jednoduše připojit k měřenému odporu, bývá zpravidla dosti obtížné. Navíc dobré dimenzované přívody mají odpor kolem  $0,1 \Omega$ , zatímco citlivost jednoduchých multimetrů je často o řadu menší.

Uvedený přehled metod převodu střídavých napěti a odporů na stejnosměrné napětí a také přehled používaných metod analogové číslicového převodu stejnosměrných napěti na číslo nám dává již poměrně konkrétní představu o zapojení zejména analógové





Obr. 38. Celkové blokové schéma zapojení číslicového multimétru

částí multimetru. V další části budeme tedy moci sestavit již konkrétní blokové schéma číslicového multimetu pro měření stejnosměrných napětí, střídavých napětí a odporů, pracujícího na principu integrační metody s mezipřevodem na časový interval a zaměřit se na konkrétní návrh jednotlivých obvodů.

#### 4. Návrh obvodů číslicového multimétru

Při návrhu jednotlivých obvodů číslicového multimetu, který by splňoval v úvodu uvedené parametry, budeme vycházet z podrobného blokového schématu na obr. 38. Obvody multimetu jsou rozděleny do devatenácti stavebních bloků, označených číslicemi. Jednotlivé bloky jsou na schématu navzájem propojeny spoji, které ve skutečnosti představují jeden i více vodičů. Směry signálů jsou většinou vyznačeny šipkami. Při návrhu jednotlivých obvodů budeme postupovat podle jejich čísel tak, aby bylo zhruba zachováno funkční pořadí bloků od vstupních svorek přístroje až po indikaci číslicového údaje.

Jednotlivé bloky jsou: 1 – vstupní dělič, 2 – vstupní zesilovač, 3 – kompenzace vstupního proudu operačního zesilovače, 4 – ochrana proti přetížení a vstupní filtr, 5 – převodník střídavých napětí na stejnosměrná napětí, 6 – zdroj proudu pro měření odporů, 7 – spínač měřeného napětí, 8 – integrátor, 9 – komparátor, 10 – zdroj referenčního napětí, 11 – prepínací polarity referenčního napětí, 12 – řídicí logika, 13 – oscilátor, 14 – čítač, 15 – ochrana proti přetečení (overflow), 16 – paměť, 17 – dekódér indikace, 18 – indikace, 19 – zdroje.

Z blokového schématu (obr. 38) vyplývá celková koncepce navrhovaného multimetu. Předtím, než se budeme věnovat návrhu jednotlivých stavebních bloků, popišeme si jejich funkci v zapojení multimetu.

Měřené napětí připojené na svorku  $U_s$  se přivádí buď přímo nebo přes vstupní dělič 1 na vstupní zesilovač 2, vybavený kompenzací vstupního proudu 3, ochranou proti přetížení a vstupním filtrem 4. Na vstupní zesilovač se rovněž přivádí napětí, které vznikne průchodem konstantního proudu ze zdroje 6 přes měřený odpor, připojený mezi vstupní svorky  $R_a$  a zemnici svorku 0. Výstup vstupního zesilovače se připojuje spínačem 7 buď přímo nebo přes převodník AC-DC 5 na vstup integrátoru 8, jehož výstup je připojen na vstup komparačního zesilovače 9. Na vstup integrátoru se připojuje prepínacem 11 i zdroj referenčního napětí 10. Řídicí signály  $A$ ,  $B_1$  a  $B_2$  pro spínač 7 a prepínací 11 se vytvářejí v obvodech řídicí logiky 12. Čítač 14 je buzen zdrojem hodinových impulsů 13. Zaplnění čítače se kontroluje obvodem ochrany proti přetečení číslicového údaje 15.

Stav čítače po skončení převodu se přenáší do paměti 16 a odtud přes dekódér 17 do indikace 18. Napájecí napětí obvodů multimetu zajišťují zdroje 19, napájené ze sítě.

Při návrhu jednotlivých funkčních bloků multimetu budeme vycházet z uvedených poznatků. Poměrně podrobně jsme se již zabývali různými možnostmi, jak řešit převážně analogové části multimetu a z nich jsme vybrali ty, které jsou pro naši potřebu nevhodnější. Ostatní obvody, převážně číslicové, je možno rovněž navrhnut v řadě nejrůznějších variant. Domníváme se však, že by nebylo účelné uvádět různé varianty těchto obvodů. Zaměříme se na jedno konkrétní zapojení podle obr. 38 a při popisu jednotlivých částí jen stručně upozorníme na některá další možná řešení.

##### 1 – vstupní dělič

Obvody zahrnuté do tohoto stavebního bloku mají za úkol:

1. Při měření střídavých napětí zapojit oddělovací kondenzátor, a zmenšit vstupní odpor přístroje.
2. Upravit úroveň vstupních napětí překračujících amplitudu, kterou jsou schopny zpracovat vstupní obvody multimetu.

Oba tyto úkoly řeší zapojení na obr. 39. Vstupní měřené napětí  $U_s$  se přivádí na vstupní dělič tvořený odpory  $R_1$  a  $R_2$  přes prepínací A buď přímo, nebo přes oddělovací kondenzátor  $C_1$  při měření střídavých napětí. V tomto případě se na vstup připojí i odpor  $R_3$ , který zmenšuje velkou vstupní impedanci multimetu, je-li odpojen vstupní dělič (prepínací C je rozpojen). Při zapojení vstupního děliče (prepínací C je sepnut) je potom vstupní odpor určen paralelní kombinací  $R_3$  a  $R_1 + R_2$ .

Úroveň vstupního signálu se upravuje vstupním děličem. Je-li vstupní dělič připojen, přivádí se na vstup multimetu (DMM) napětí  $U_D$ , které je proti  $U_s$  zmenšeno v poměru, určeném odpory  $R_1$  a  $R_2$  podle vztahu

$$U_D = U_s \frac{R_2}{R_1 + R_2} \quad (27)$$

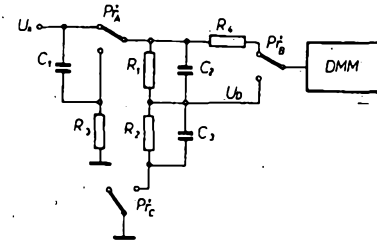
Kondenzátory  $C_2$  a  $C_3$  slouží ke kmitočtové kompenzaci vstupního děliče při měření střídavých napětí. K úplné nezávislosti děličového poměru na kmitočtu měřeného napětí dojde při splnění podmínky:

$$C_2 R_1 = C_3 R_2 \quad (28)$$

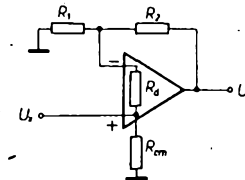
Při odpojení děliče přichází měřené napětí  $U_s$  na vstup DMM přes ochranný odpor  $R_d$ . Vstupní odpor přístroje je potom určen vstupním zesilovačem (popř. způsobem jeho zapojení).

##### 2 – vstupní zesilovač

Vstupní odpor a citlivost patří k důležitým parametry každého číslicového měřicího přístroje. Oba tyto parametry závisí především na vlastnostech a zapojení vstupního zesilovače. Citlivost multimetu je v podstatě určena volbou zesílení vstupního zesilovače



Obr. 39. Zapojení vstupního děliče číslicového multimétru



Obr. 40. Neinvertující zapojení operačního zesilovače k dosažení velkého vstupního odporu

při měření na nejnižším rozsahu při daném rozsahu indikace a napětí na výstupu zesilovače. Pro zesílení vstupního zesilovače platí vztah

$$A_Z = \frac{U_o}{R_{dp} C} \quad [-; V]$$

kde  $U_o$  je napětí na výstupu vstupního zesilovače,

$R_{dp}$  rozsah indikace číslicového údaje multimetu,

$C$  maximální citlivost na nejnižším rozsahu. Například pro  $U_o = 10 \text{ V}$ ,  $R_{dp} = 1000$  a  $C = 1 \text{ mV} = 10^{-3} \text{ V}$  je

$$A_Z = \frac{10}{1000 \cdot 10^{-3}} = 10.$$

Ze vztahu (29) je patrné, že nároky na zesílení vstupního zesilovače u běžných multimetrů nejsou nijak zvlášt velké a pohybují se většinou v rozmezí  $A_Z = 10$  až  $100$ , takže z hlediska zesílení vyhoví v podstatě jakýkoli operační zesilovač.

Větší nároky jsou kladeny na vstupní zesilovač z hlediska dosažení velkého vstupního odporu a minimálního vstupního proudu. Velmi dobrých výsledků lze dosáhnout s operačními zesilovači vybavenými na vstupe tranzistory řízenými polem. V současné době není na našem trhu takový zesilovač běžný. Hybridní zesilovače z TESLA Lanškroun (WSH218 až 220) nejsou zatím amatérské veřejnosti dostupné. Je proto třeba spojit se s běžnými monolitickými operačními zesilovači a snažit se dosáhnout požadovaných parametrů vhodným zapojením – tím je neinvertující zapojení operačního zesilovače podle obr. 40. Měřené napětí  $U_s$  se přivádí na neinvertující (+) vstup. Působením zpětné vazby přes odporový dělič  $R_1$  a  $R_2$  se napětí  $U_s$  objeví i na neinvertujícím (-) vstupu za předpokladu, že zesilovač je ideální, tzn., že má nekonkánné zesílení, nulový napěťový offset a nulový vstupní proud. Napětí na výstupu zesilovače je potom

$$U_o = U_s \frac{R_1 + R_2}{R_1} \quad (30)$$

Vstupní odpor zesilovače v neinvertujícím zapojení je definován vztahem

$$\frac{1}{R_i} = \frac{1}{R_{cm}} + \frac{1}{R_d(1 + \beta A)} \quad (31)$$

kde  $\beta$  je zpětnovazební činitel,

$A$  zesílení zesilovače,

$R_{cm}$  souhlasný odpor zesilovače,

$R_d$  diferenční odpor zesilovače.

Pro typické údaje běžného zesilovače ( $R_m = 400 \text{ M}\Omega$ ,  $R_d = 500 \text{ k}\Omega$ ,  $A = 50\,000$ ) a požadované zesílení  $A = 10$  je vstupní odpor  $R_i = R_m = 400 \text{ M}\Omega$ .

U reálného operačního zesilovače se nepravidelně uplatňuje napěťový offset (tj. napětí, které musí být připojeno mezi vstupy zesilovače, aby výstupní napětí bylo nulové) a vstupní klidový proud. Protože tyto rušivé vlivy lze kompenzovat, uplatní se pouze jejich teplotní drift, který u monolitických operačních zesilovačů dosahuje běžně  $10 \mu\text{V}/^\circ\text{C}$ , popř.  $1 \text{nA}/^\circ\text{C}$  (zde se jedná o teplotní drift proudového offsetu, tj. rozdílu klidových proudů obou vstupu zesilovače). Zatímco napěťový offset lze velmi snadno kompenzovat (např. potenciometrem  $P_1$  na obr. 41), činí kompenzace vstupního proudu určité potíže.

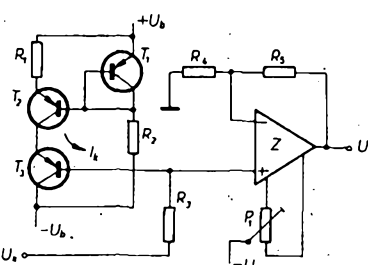
#### 3 - kompenzace vstupního proudu operačního zesilovače

Vstupní klidový proud běžných monolitických diferenciálních operačních zesilovačů bývá 50 až 500 nA. Tento proud vytváří na odporech připojených ke vstupům nežádoucí úbytky napětí, které se přičítají k měřenému napěti a způsobují chybu měření. Tato chyba se dá kompenzovat volbou stejných odporů v obou vstupech, neboť i klidový proud obou vstupů je přibližně stejný. Závažnější je však to, že vstupní klidový proud neinvertujícího vstupu odeberá ze zdroje měřeného signálu (při neinvertujícím zapojení podle obr. 40) a vytváří nežádoucí úbytek na jeho vnitřním odporu, který je proměnný a nedá se tedy uvedeným způsobem kompenzovat. Jediným řešením je dodat potřebný vstupní klidový proud do neinvertujícího vstupu z pomocného zdroje. Nejjednodušší je připojit napěťový zdroj přes velký odpor. Toto řešení je však pro naš účel nevhodné, neboť a) při vstupních proudech kolem 100 nA by byl odpor příliš velký (asi  $50 \text{ M}\Omega$ ); b) při velkém rozdílu napětí na vstupu zesilovače se kompenzační proud mění se změnou měřeného napěti; c) kompenzační odpor zmenšuje velký vstupní odpor neinvertujícího zapojení operačního zesilovače.

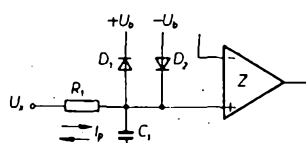
Uvedené nedostatky téměř úplně řeší způsob kompenzace vstupního proudu podle obr. 41. Kompenzace spočívá v tom, že se z tranzistorů  $T_1$  a  $T_2$  vytvoří zdroj konstantního proudu, pracující na stejném principu jako zdroj na obr. 32 pouze s tím rozdílem, že k získání velmi malých proudů se na odporu  $R_1$  vytváří úbytek napětí rovnající se pouze rozdílu napětí báze-emitor obou tranzistorů  $T_1$  a  $T_2$ . Přitom  $U_{BE}$  tranzistoru  $T_1$  je vždy větší než  $U_{BE}$  tranzistoru  $T_2$ , neboť tranzistorem  $T_1$  protéká větší proud, daný odporem  $R_2$ . Tento vytvořený proud se dále zmenšuje v tranzistoru  $T_3$ . Díky neinvertujícímu vstupu zesilovače Z teče totiž pouze proud báze  $T_3$ , který je proti kolektorovému konstantnímu proudu zmenšen v poměru proudového zesilovačního činitele tranzistoru  $T_3$ . Změnou odporu  $R_1$  lze nastavit proud  $I_C$  tak, aby vykompenzoval vstupní klidový proud neinvertujícího vstupu zesilovače. Pokud tranzistory proudového zdroje mají stejné nebo podobné teplotní charakteristiky jako vstupní tranzistory operačního zesilovače, budou se částečně kompenzovat i teplotní změny vstupního klidového proudu. Jelikož klidový proud neinvertujícího vstupu není kompenzován, musí být zpětnovazební odpory  $R_4$ ,  $R_5$  dostatečně malé.

#### 4 - ochrana proti přetížení a vstupní filtr

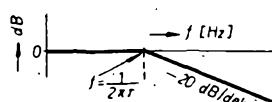
Při používání číslicového multimeteru může vstupní napětí značně překročit hornímez



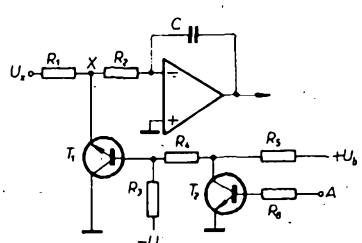
Obr. 41. Kompenzace napěťového offsetu a vstupního klidového proudu neinvertujícího vstupu operačního zesilovače



Obr. 42. Ochrana proti přetížení a vstupní filtr



Obr. 43. Kmitočtová charakteristika vstupního filtru RC



Obr. 44. Zapojení spínače měřeného napětí

zvoleného napěťového rozsahu. Je žádoucí, aby multimeter snesl bez poškození přetížení nejnižšího rozsahu napěti stovek voltů. Bezprostředně po odstranění „přepětí“ musí přitom opět správně měřit. Takovou ochranu lze jednoduše realizovat ochranným odporom  $R_1$  a ochrannými diodami  $D_1$ ,  $D_2$ , zapojenými podle obr. 42 na vstup zesilovače.

Ochranný odpor musí být dimenzován tak, aby při maximálním přetížení propustil pouze takový proud  $I_p$ , který snesou ochranné diody  $D_1$  a  $D_2$ . Ty potom omezí maximální napětí na vstupu zesilovače na velikost napájecího napětí  $U_b$ , zvětšenou o napětí přechodu diody v propustném směru. Napětí  $U_b$  musí být přitom větší než jmenovité měřené napětí  $U_i$  a menší než povolené vstupní napětí zesilovače. Diody musí mít malé závěrné proudy, neboť ty se projevují jako rušivý vstupní proud. Kvalitní křemíkové diody mají při pokojové teplotě závěrné proudy kolem 10 nA. S výhodou lze použít kolektorové přechody křemíkových tranzistorů se závěrnými proudy kolem 1 nA. Zenerovy diody mají zpravidla závěrné proudy rádově větší a nejsou proto pro toto použití příliš vhodné.

Ochranný odpor  $R_1$  s kondenzátorem  $C_1$  tvoří vstupní filtr (dolní propust), napomáhající potlačovat střídavá rušivá napětí. Přibližná závislost útlumu článku na kmitočtu je na obr. 43. Časovou konstantu  $\tau = R_1 C_1$ , určující bod zlomu, od něhož začne docházet k útlumu, je nutno volit co největší, aby filtr potlačoval rušivé signály na nízkých kmitočtech. Hornímez časové konstanty je dáná pouze dobou potřebnou k ustálení při změně

měřené veličiny. Přitom si musíme uvědomit, že k ustálení dojde až po nabití kondenzátoru  $C_1$  na napětí rovné měřenému napětí. Nabíjení kondenzátoru má exponenciální průběh a napětí na něm se přiblíží s přesností 0,1 % ke konečné velikosti zhruba po době  $7\tau$ .

#### 5 - převodník střídavých napětí na stejnosměrná napětí

Díky tomu, že převodník AC-DC je umístěn až za vstupním zesilovačem, zpracovává již upravené signály o normalizované jmenovité amplitudě, např. 10 V. To usnadňuje řešení převodníku AC-DC, avšak na druhé straně klade zvýšené nároky na vstupní obvody a zejména na vstupní zesilovač, který musí zpracovávat stejnosměrné i střídavé signály.

Pro zapojení převodníku AC-DC může být použito zapojení přesného dvoucestného usměrňovače s aktivním filtrem podle obr. 29 s kondenzátorem  $C_1$ . Toto zapojení bylo již dostatečně podroběně popsáno, takže se jím nemusíme dále zabývat.

#### 6 - zdroj konstantního proudu pro měření odporu

Také zapojení tohoto funkčního bloku číslicového multimetru bylo již uvedeno (obr. 31). Bylo zvoleno pro svouž mimořádnou jednoduchost. S již popsou kompenzací (volba vhodné Zenerovy diody a tranzistoru) se dosahuje uspokojivé přesnosti i stability měření zejména na nižších rozsazích. Při měření odporu kolem 1 MΩ již dochází k větším chybám, neboť velikost konstantního proudu nemůže být zpravidla větší než  $10 \mu\text{A}$  (tentot proud vytvoří na odporu 1 MΩ úbytek 10 V), takže se již mohou uplatnit vlivy vstupního proudu zesilovače, svody, teplotní změny proudu báze tranzistoru apod.

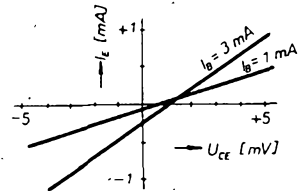
Zapojení podle obr. 31 je nutno ještě doplnit vhodnou ochranou (která chrání obvod při náhodném připojení velkého napěti na svorku pro měření odporů). Některí výrobci číslicových multimetrů používají např. tavnou pojistku a diodové omezovače, neboť velmi často je svorka pro měření odporu společná s svorkou pro měření napěti. V našem případě je svorka pro měření odporů oddělena, takže nebezpečí omylu je značně menší. Postačí proto zapojit do kolektoru tranzistoru proudového zdroje ochranný odpor tak, aby neovlivňoval činnost zdroje a zároveň zmenšil proud při přetížení tak, aby se tranzistor zdroje nezničil.

#### 7 - spínač měřeného napětí

Napětí z výstupu vstupního zesilovače nebo z výstupu převodníku AC-DC se přivádí na vstup integrátoru 8 přes spínač 7 (obr. 38). Nutnost spínat měřené napětí vyplývá z popisu integrační metody (obr. 18).

Protože se vstupní napětí mění zpravidla v rozsahu  $\pm 10 \text{ V}$ , musí být spínač navržen tak, aby tyto změny neovlivňovaly přesnost sepnutí a rezepnutí spínače. Nejčastěji se tyto spínače řeší pomocí tranzistorů různých typů. Nejhodnotnější jsou tranzistory typu J-FET, které mají v sepnutém stavu velmi malý odpor (při poměrně malých ovládacích napětcích). Tento typ tranzistorů se však v ČSSR nevyrobí a zvykají proto pouze tranzistory typu MOSFET. Ty však potřebují větší ovládací napětí, mají větší odpor a snadno se zničí elektrostatickým nábojem při neopatrnom zacházení. Proto jsme se snažili navrhout spínač s bipolárními tranzistory (obr. 44).

Pro zmenšení rozdílu vstupního napětí  $U_i$  se integrační odpor na vstupu integrátoru rozdělí na odpory  $R_1$  a  $R_2$  tak, aby spínání napětí v bodě  $X$  nebylo větší než několik voltů. Spínací tranzistor  $T_1$  je pro zmenšení úbytku  $U_{CE}$  v sepnutém stavu zapojen inverzne, to znamená, že emitor a kolektor se



Obr. 45. Spinaci charakteristika tranzistoru (KC509) v inverznim zapojeni

vzájemně vymění. Proud báze teče potom přes kolektor na zem a úbytek  $U_{CE}$  je podle grafu na obr. 45 jen několik mV (při  $I_E$  menším než 1 mA). Vede-li tranzistor  $T_1$ , protéká proud z  $U_i$  přes  $R_1$  a tranzistor na zem a na vstup integrátoru teče jen zanedbatelný proud, určený úbytkem  $U_{CE}$  a odporem  $R_2$ . Při rozpojení  $T_1$  teče proud z  $U_i$  přes  $R_1$  a  $R_2$  na vstup integrátoru. Činnost tranzistoru  $T_1$  se ovládá logickým signálem A, který otevírá nebo zavírá tranzistor  $T_2$ . Odporný dělič  $R_3$ ,  $R_4$  a  $R_5$  je navržen tak, že při sepnutí  $T_2$  se  $T_1$  uzavře záporným předpětím  $-U_b$ , a při rozpojení  $T_2$  se  $T_1$  otevře proudem tekoucím z  $+U_b$  přes  $R_4$  a  $R_5$  do báze tranzistoru  $T_1$ .

#### 8 – integrátor

Integrátor patří k nejdůležitějších funkčním blokům navrhovaného multimetru. K integraci měřeného a referenčního napětí se zpravidla používá integrační zapojení operačního zesilovače s kondenzátorem ve zpětné vazbě. Kromě toho lze napětí integrovat i nabíjením kondenzátoru proudem úměrným měřenému napětí (získaným pomocí prevodníku napětí-proud) a vybijením kondenzátoru referenčním zdrojem konstantního proudu.

Pro nás multimeter bylo zvoleno klasické řešení s integrátorem podle obr. 44. Již při popisu metody analogové číslicového převodu s dvojitou integrací bylo vysvětleno, že časové nebo teplotní změny pasivních prvků  $R$  a  $C$  nemají vliv na přesnost přenosu (viz obr. 17). Jinak je tomu s vlivem rušivého napětí  $U_m$  a vstupního rušivého proudu  $I_m$  vlastního operačního zesilovače integrátoru. Označme-li vstupní odpór integrátoru  $R = R_1 + R_2$  a zpětnovazební kondenzátor  $C$ , potom lze napěťovou chybu na výstupu integrátoru způsobenou těmito rušivými vlivy vyjádřit vztahem

$$\Delta U_o = \frac{T}{C} \frac{U_m}{R} + I_m \quad (32),$$

kde  $T$  je doba integrace. Je-li vstupní odpór  $R$  přibližně stejný jako tzv. kritický (šumový) odpór

$$R \approx R_c = \frac{U_m}{I_m} \quad (33),$$

potom můžeme předpokládat, že  $U_m$  i  $I_m$  se na vzniku chybového napětí uplatňují stejným dílem. Dosazením vztahu (33) do výrazu (32) dostaneme

$$I_m = \frac{T \Delta U_o}{C / 2} \quad (34).$$

Rušivé proudy  $I_m$  a  $U_m/R$  se sčítají a způsobují změnu sklonu napětí na výstupu integrátoru. Protože tyto proudy tečou po celou dobu převodu stále stejným směrem, chyba způsobená změnou sklonu  $U$  se při integraci  $U$  nevykompenzuje, ale dále narůstá (obr. 46).

Pomocí vztahu (34) můžeme určit velikost rušivého proudu a ze vztahu (33) i velikost  $U_m$ , známé-li dobu integrace  $T_1$ , kapacitu zpětnovazebního kondenzátoru  $C$  a velikost napětí na výstupu integrátoru, odpovídající nejnižšemu číselnému údaji multimetru ( $\Delta U_o$ ). Kondenzátor  $C$  volime tak, aby platil vztah

$$T_1 = RC \quad (35),$$

kde  $T_1$  je doba integrace měřeného napětí.

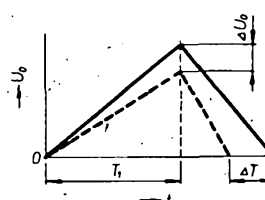
**9 – komparátor**  
Komparační zesilovač slouží k určení okamžiku, kdy překročí napětí pilovitého průběhu na výstupu integrátoru nulovou úroveň. Pro tento účel jsou nejhodnější rychlé monolitické komparační zesilovače typu μA710 (vyrábějí se i v NDR pod označením A110). U číslicových multimeterů, u nichž nejsou kladený velké nároky na rychlosť převodu, využívá i běžný operační zesilovač zapojený podle obr. 47.

Napětí z výstupu integrátoru  $U_o$  se přivádí přes odpor  $R_1$  na jeden ze vstupů komparačního zesilovače KZ. Druhý vstup je přes odpor  $R_2 = R_1$  připojen na zem. Diody  $D_1$  a  $D_2$  slouží k omezení rozkmitu na vstupu komparačního zesilovače. Vlastní komparační zesilovač je kmitočtově korigován jen malými kondenzátory  $C_1$  a  $C_2$ , zapojenými do vnitřních korekčních bodů zesilovače. Velikost korekce závisí na požadované rychlosti „přeběhu“ na výstupu komparačního zesilovače a na zase na kmitočtu oscilátoru na vstupu čítače. Jakmile napětí  $U_o$  dosáhne nulové úrovně, musí komparační zesilovač změnit stav svého výstupu v době kratší než je perioda kmitočtu oscilátoru, tedy v době kratší, než je doba, za níž se změní stav čítače, připojeného k oscilátoru. Požadovaná citlivost zase závisí na velikosti napětí na výstupu integrátoru  $U_o$  a maximálním rozsahu indikace  $N$  multimeteru podle vztahu

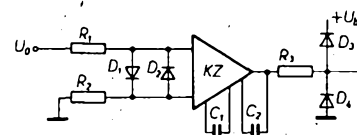
$$C = \frac{U_o \max}{2N} \quad [\text{mV; V, -}] \quad (36).$$

S citlivostí komparačního zesilovače také souvisí určení maximálně-přípustného vstupního rušivého napětí a proudu. Jejich vliv by měl být s dostatečnou rezervou menší než je požadovaná citlivost komparačního zesilovače. Tam, kde není možno tuto podmíinku splnit, je vhodné použít zapojení ke kompenzaci driftu komparačního zesilovače podle obr. 48.

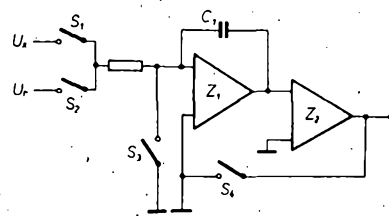
Z jednodušené schéma na obr. 48 znázorňuje obvod, který koriguje drift integrátoru i komparačního zesilovače současně. Po skončení převodu se současně sepnou spínače  $S_1$  a  $S_4$  a drift obou zesilovačů  $Z_1$  a  $Z_2$  se „uloží“ v kondenzátoru  $C_2$ . Toto napětí dělené ziskem komparačního zesilovače  $Z_2$  se tedy objeví na výstupu integrátoru. Na začátku převodu se spínače  $S_3$  a  $S_4$



Obr. 46. Vliv rušivých signálů  $U_m$  a  $I_m$  na průběh integrace



Obr. 47. Zapojení komparačního zesilovače



Obr. 48. Zapojení pro korekci driftu integrátoru a komparačního zesilovače

rozpoji a na vstup integrátoru  $Z_1$  se postupně připojuje, pomocí spínačů  $S_1$  a  $S_2$  měřené a referenční napětí. Spínače jsou realizovány tranzistory řízenými polem.

#### 10 – zdroj referenčního napětí

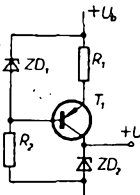
Ze vztahu (9) odvozeného při popisu metody s dvojí integrací vyplývá, že stabilita referenčního napětí má přímý vliv na přesnost převodu. Zdroj referenčního napětí musí dát teplotně i dlouhodobě stabilní napětí. Již řadu let se pro tyto účely využívá vlastnosti teplotně stabilních nebo teplotně kompenzovaných Zenerových diod. Vyber vhodné Zenerovovu diodu závisí na přesnosti přístroje, pro který je určena, a na rozsahu teplot, v němž bude přístroj provozován. Navrhovaný multimeter by měl mít podle tabulky předbežných parametrů, uvedené v závěru úvodní kapitoly, teplotní koeficient  $TK = 100 \text{ ppM}/^\circ\text{C}$  ( $10^{-4}/^\circ\text{C}$ ). Tento údaj bude kritériem i pro výběr diody, přičemž bude vhodné dosáhnout určité rezervy teplotní stability, neboť celkový teplotní koeficient ovlivňuje i jiné prvky zapojení multimeteru. Běžné Zenerovovu diodu mají  $TK$  kolem 500 ppm (KZZ71), a proto nejsou vhodné. Teplotně kompenzované Zenerovovu diody typu KZZ82 nebo TKZD25 (Metra Blansko) mají velmi dobrý  $TK$ , jsou však velmi drahé nebo nedostupné. Pro nás účel se jeví jako nejhodnější teplotně kompenzovaná dioda KZZ46, jejíž  $TK = 50 \text{ ppm}/^\circ\text{C}$  je zcela vyhodnocující. Samotná teplotní stabilita Zenerovovu napětí však k udělení stabilního referenčního napětí nestačí. Při změnách protékajícího proudu dochází totiž ke změnám napětí na dynamickém odporu diody  $r_{KA}$  a tím i ke změnám napětí na diodě. Např.  $r_{KA} = 30 \Omega$  dojde při změně proudu o  $300 \mu\text{A}$  ke změně napětí na diodě o  $10 \text{ mV}$ . Je proto výhodné napájet Zenerovu diodu zdrojem konstantního proudu podle obr. 49.

Zapojení proudového zdroje je opět stejně jako zapojení na obr. 31 (polarita je opačná a používá se tranzistor p-n-p). Na odporu  $R_1$  se udržuje konstantní úbytek napětí, určený napětím běžné Zenerovovu diody  $ZD_1$  a  $U_{BE}$  tranzistoru  $T_1$ . Konstantní proud odporem  $R_1$  protéká i teplotně kompenzovanou Zenerovou diodou  $ZD_2$ . Teplotní kompenzace těchto diod je zpravidla nastavena pouze pro poměrně úzký rozsah proudu. Je proto třeba doporučený proud dodržet.

Císlicové multometry pro měření napětí obou polarit je třeba vybavit dvěma zdroji referenčního napětí. Velmi často se využívá dvojice Zenerových diod, jejichž napětí se připojuje na vstup integrátoru dvěma přesnými spínači. Druhou možností, která je použita i v našem multimeteru, je použít jedinou Zenerovou diodu a přepínač polarity referenčního napětí.

#### 11 – přepínač polarity referenčního napětí

Při použití jediného zdroje referenčního napětí je možné měřit napětí obou polarit se přepínáním napájení diod podle obr. 50. Při



Obr. 49. Zdroj referenčního napětí se Zenerovou diodou napájenou ze zdroje konstantního proudu

sepnutí spinačů  $S_1$ ,  $S_2$  a  $S_3$  se na výstupní svorce objeví kladné referenční napětí, při sepnutí spinačů  $S_2$ ,  $S_4$  a  $S_5$  je na výstupu záporné referenční napětí. Spinače lze realizovat relé nebo tranzistory.

Výhodnější je zapojení podle obr. 51 s operačním zesilovačem k invertorování referenčního zdroje. Funkci prepinače lze nejnáze popsat tabulkou na obr. 52, v níž  $B_1$  a  $B_2$  jsou řídící signály z obvodu TTL (log. 1 > +2,4 V, log. 0 < +0,4 V) a REF je výstupní napětí prepinače. Princip činnosti prepinače spočívá ve změně režimu operačního zesilovače z neinvertujícího zapojení do invertujícího a naopak. Probereme si postupně jednotlivé kombinace řídicích signálů  $B_1$  a  $B_2$ :

$$1. B_1 = 0, B_2 = 1.$$

V tomto režimu vede spinač tranzistor  $T_2$ . Neinvertující vstup zesilovače je tedy prakticky připojen na zem přes paralelní kombinaci odporníků  $R_4$  a  $R_5$ . Tranzistor  $T_1$  nevede, takže referenční napětí je přes odpory  $R_2$  a  $R_3$  připojeno na invertující vstup zesilovače. Je-li  $R_1 = R_2 + R_3$ , objeví se na výstupu zesilovače záporné referenční napětí.

$$2. B_1 = 1, B_2 = 0.$$

Tranzistor  $T_1$  vede, takže invertující vstup zesilovače je uzemněn přes  $R_2$ . Kladné referenční napětí se přivádí na neinvertující vstup zmenšené děličem  $R_1$  a  $R_5 + R_6$ . Účinkem záporné zpětné vazby se totéž napětí objeví i na invertujícím vstupu. Zvolíme-li dělič  $R_1$  a  $R_2$  stejný jako dělič v neinvertujícím vstupu, dostaneme na výstupu referenční napětí ve stejné amplitudě i polaritě jako na vstupu.

$$3. B_1 = 1, B_2 = 1.$$

Oba tranzistory vedou, takže oba vstupy zesilovače jsou uzemněny a na výstupu je nulové napětí.

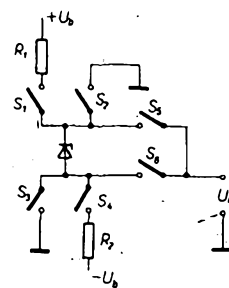
Hlavním zdrojem chyb tohoto spinače jsou úbytky  $U_{CE}$  při vodivém stavu obou tranzistorů a napěťový offset zesilovače. Protože absolutní velikost referenčního napětí není důležitá (proud do integrátoru lze nastavit odporem  $R_7$ ), musíme zajistit pouze souběh referenčního napětí obou polarit. To lze snadno zajistit např. zapojením potenciometru mezi odpory  $R_3$  a  $R_6$  a připojením kladného referenčního napětí na běžec potenciometru. Po nastavení se uplatní pouze drift chybových signálů, který je však v zadáném rozmezí pracovních teplot pod úrovni citlivosti přístroje.

## 12 - řídící logika

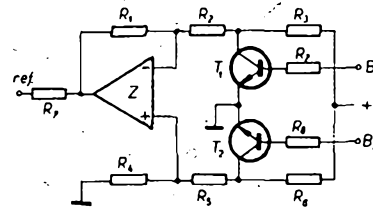
Logické číslicové obvody ve funkčním bloku 12 musí splnit následující funkce:

- a) na základě výstupního signálu čítače (C) vytvořit signál A, který řídí připojování měřeného napětí  $U_i$  na vstup integrátoru;
- b) vytvořit řídící signál pro převedení stavu čítače do paměti (M);
- c) pomocí signálů A a K (výstup komparátoru) vytvořit signály  $B_1$  a  $B_2$  pro ovládání prepinače referenčního napětí (blok 13). Průběhy uvedených signálů jsou na obr. 53. Dále uvedeme postupně obvodové řešení zadaných úkolů.

- a) Celá koncepce řídící části vychází z toho, že čítač stále pracuje. Na jeho výstupu jsou tedy stále signály průběhu C (obr. 53f). Získat průběhy A a průběhu C je snadné (klopňovým obvodem typu D, zapojeným jako dělič kmitočtu – klopňový obvod KO1 na obr. 54).
- b) Signál pro převedení do paměti M (průběh e na obr. 53) je možno odvodit z výstupu komparátoru (průběh d na obr. 53). Jelikož napětí na výstupu integrátoru může mít obě polarity, je hrana signálu na výstupu komparátoru na konci intervalu  $T_2$  kladná nebo záporná. Je tedy třeba jednak signál K invertovat ( $\bar{K}$ ), a jednak oba signály logicky sečist. Navíc je k oběma signálům K a  $\bar{K}$  třeba



Obr. 50. Prepinač polarity referenčního napětí Zenerovy diody



Obr. 51. Prepinač referenčního napětí s operačním zesilovačem

$B_1$	$B_2$	ref.
0	1	- $U_b$
1	0	+ $U_b$
1	1	0 V

Obr. 52. Tabulka závislosti výstupního referenčního napětí na vstupních řídicích signálech

logicky přičist i výstupní signál přetečení rozsahu E (o způsobu vytvoření tohoto signálu se dozvímme při popisu bloku 15). Logický součet lze realizovat i běžnými hradly typu NAND (negovaný logický součin) tak, že místo pozitivní logiky (log. 1 > +2,4 V) použijeme negativní logiku (log. 1 < +0,4 V). Signály sečteme tedy pomocí hradla H<sub>1</sub> (obr. 54), na jehož vstupech odpory R<sub>1</sub> až R<sub>4</sub> zajistíme stálé klidové napětí o úrovni log. 1. Signály, které máme sečist, přivedeme na vstupy H<sub>1</sub> přes kondenzátory C<sub>1</sub> až C<sub>3</sub>. Výstup hradla H<sub>1</sub> je možno použít po výkonové úpravě k řízení paměti (signál M).

c) K vytvoření signálů B<sub>1</sub> a B<sub>2</sub> potřebujeme signál B (průběh c na obr. 53) a informace o polaritě měřeného napětí  $U_i$ . Signál B vytvoříme klopňovým obvodem typu R-S, sestaveným z hradel H<sub>1</sub> a H<sub>2</sub> (obr. 55). Oba vstupy klopňového obvodu (R, S) musí mít klidovou úroveň log. 1, kterou u vstupu S zajistíme invertorem I<sub>2</sub> a u vstupu S odporovým děličem R<sub>1</sub>, R<sub>2</sub>. Výstup B se uvede do stavu log. 1 signálem A, přivedeným na vstup S přes kondenzátor C<sub>1</sub>. Po skončení převodu bude uveden výstup B klopňového obvodu do stavu log. 0 signálem M, přivedeným na vstup S přes hradlo I<sub>2</sub>. Informaci o polaritě  $U_i$  udává stav komparátoru (signál K) na konci intervalu T<sub>1</sub>. V tomto okamžiku přijde na vstup C klopňového obvodu KO<sub>1</sub> kladná hrana z A a KO<sub>1</sub> se nastaví podle úrovni signálu K. Je-li K = 1 ( $U_i > 0$ ), uvede se i výstup Q do stavu log. 1. Výstup hradla H<sub>1</sub> (signál B<sub>2</sub>) má potom průběh B a výstup hradla H<sub>2</sub> (signál B<sub>1</sub>) je trvale nulový. To podle tabulky na obr. 52 odpovídá připojení záporného referenčního napětí. Při K = 0 ( $U_i < 0$ ) je situace opačná, tzn. že B<sub>1</sub> = B a B<sub>2</sub> = 0 trvale. Výstupy KO<sub>1</sub> slouží zároveň k řízení indikace polarity.

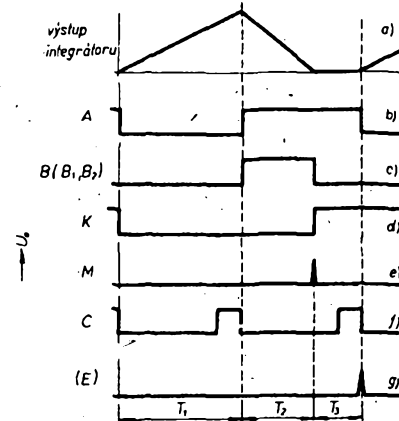
## 13 - oscilátor

Řekli jsme si již, že stabilita oscilátoru nemá vliv na přesnost převodu, že ovlivňuje pouze stupeň potlačení sériových rušivých signálů. Velkého potlačení lze dosáhnout tehdy, je-li doba integrace  $U_i$  (tj. interval T<sub>1</sub> na obr. 53) celistvým násobkem periody rušení, tj. nejčastěji 20 ms. Jelikož interval

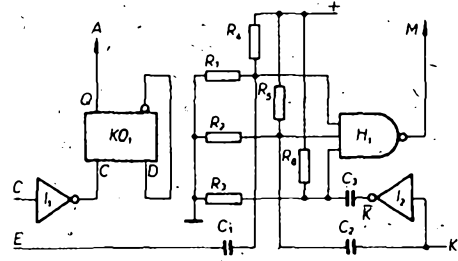
T<sub>1</sub> je určen čítáním impulsů oscilátoru, je závislý na jeho kmitočtu. Oscilátor řízený krystalem nevyhovuje z cenových důvodů. Byl proto použit oscilátor z logických hradel (obr. 56), který se vyznačuje dobrou stabilitou a zejména nezávislostí na změnách napájecího napětí. Ve srovnání s běžnými oscilátory z hradel má více než desetkrát lepší stabilitu. Vlastní oscilátor je tvořen hradlem H<sub>1</sub> a invertorem I<sub>1</sub>, odpory R<sub>1</sub> až R<sub>5</sub> a kondenzátorem C<sub>1</sub>. Hradlo H<sub>1</sub> na výstupu oscilátoru slouží k blokování přístupu impulsů z oscilátoru do čítače po dobu „přehrávání“ stavu čítače do paměti (signál M).

## 14 - čítač

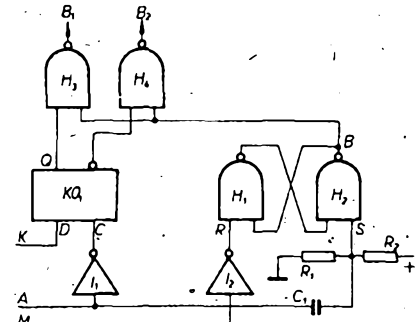
V čítači je použito běžné zapojení tří dekadických čtyřbitových čítačů MH7490



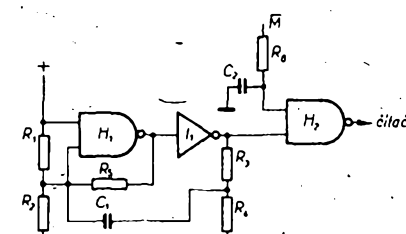
Obr. 53. Průběhy signálů v obvodech řídící logiky



Obr. 54. Zapojení logických integrovaných obvodů pro vytvoření signálů A a M



Obr. 55. Zapojení pro vytvoření logických signálů B<sub>1</sub>, B<sub>2</sub>



(viz celkové schéma číslicové části multimetu DMM1000, které bude uváděno dálé). Po zaplnění čítače impulsy (stav 999 v kódě BCD o vahách 8, 4, 2, 1) se s příchodem dalšího impulsu z oscilátoru čítač automaticky vynuluje (stav 999 přechází na stav 000) a začne čítat znovu. Jako výstupu čítače se využívá nejvyšší váhy (8) třetí dekády.

#### 15 – ochrana proti přetečení

Nezmění-li se během intervalu  $T_2 + T_3$  (obr. 53) stav komparátoru K, musí se vytvořit na konci intervalu  $T_3$  signál E, kterým (po zpracování v hradle H<sub>1</sub> na obr. 54) se „přehraje“ stav čítače 999 do paměti. Při překročení rozsahu ukazuje tedy přístroj stále maximální údaj, který tedy indikuje přetečení rozsahu. Signál E se vytvoří realizací logické funkce

$$E = A \cdot B \cdot D_3 \cdot A_3 \cdot D_2 \cdot A_2 \cdot D_1 \cdot A_1 \quad (38)$$

kde D<sub>1</sub> až D<sub>3</sub> jsou výstupy jednotlivých řádů čítače o váze 8, A<sub>1</sub> až A<sub>3</sub> výstupy jednotlivých řádů čítače o váze 1, A je signál definovaný na obr. 53.

Logickou funkci (38) lze snadno realizovat osmivstupovým logickým hradlem NAND (MH7430).

#### 16 – paměť

Vzhledem k tomu, že čítač po zapnutí přístroje stále čítá impulsy z oscilátoru, je pro uchování výsledku měření nutná paměť. Použití paměti se velmi příznivě projeví také na indikaci výsledků převodů, neboť číselný údaj svítí stále a jen na konci převodu se změní na nový. U přístrojů bez paměti indikátory nepřijemně blikají. Je to způsobeno tím, že po dobu čítání čítače nesmí indikátory svítit. Zapojení paměti je opět zcela běžné (čtyřbitové strádače informace MH7475) a je uvedeno na schématu číslicové části multimetu.

#### 17 – dekódér indikace

Výstupy paměťových klopových obvodů udávají číselnou hodnotu měřené veličiny v binárně dekadickém kódu (BCD) o vahách 8, 4, 2, 1. Pro indikaci pomocí číslicových výbojek je třeba tento údaj dekódovat na kód 1 z 10. Velmi snadno lze dekódování realizovat obvod MH4141, které tak uzavírá známý řetězec: čítač, paměť, dekódér.

#### 18 – indikace

Jediným běžně dostupným indikačním prvkiem je v současné době na našem trhu číslicová výbojka, zobrazující dekadické číslice 0 až 9, nebo znaménka polarity +, - a symbol ~. Zejména z konstrukčního hlediska je výhodné použít výbojky s číslicemi umístěnými svisle. Největší nevýhodou tohoto druhu indikace je potřeba vysokého napájecího napětí (+200 V) a poměrně velké rozměry. Uvedené nevýhody odstraňují perspektivní prvky s luminiscenčními diodami (LED) nebo s tekutými krystaly, zpravidla uspořádané do sedmi segmentů. Očekává se, že již v roce 1977 by měly být tyto prvky v ČSSR vyráběny. Rekonstrukce multimetu na tyto prvky není nijak obtížná. Výžaduje pouze vedle úprav mechanických a úprav desky s plošnými spoji i vyměnit dekódery indikace za dekódery kódu BCD na kód vhodný k ovládání sedmisegmentových číslicových indikátorů.

Indikace desetičinných teček je součástí každé číslicové výbojky a ovládá se tlačítka přepínáče rozsahů.

#### 19 – zdroje

K napájení celého multimetu potřebujeme celkem tři různá napájecí napětí:

- +5 V pro napájení číslicových logických obvodů,
- $\pm 18$  V pro zapojení operačních zesilovačů a ostatních analogových obvodů,
- +200 V k napájení indikačních výbojek.

Zatímco pro zdroje +5 V a  $\pm 18$  V jsou nutné napěťové stabilizátory, lze napětí +200 V pro indikaci vytvořit pouhým jednocestným usměrněním a filtrací.

Ke stabilizaci napětí bylo výhodné použít monolitické nebo hybridní stabilizátory WSH913 a WSH914 z n. p. TESLA Lanškroun. Protože však tyto obvody dosud nejsou běžně přístupné a také cenově by nevyhovovaly, byly navrženy jednoduché stabilizátory.

## 5. Konstrukce multimetu

Číslicový multimetr, jehož konstrukci čtenářům předkládáme, je svými vlastnostmi určen především pro vývoj a seřizování různých elektronických zařízení přístrojového charakteru v kategorii středního stupně složitosti. Do této kategorie bylo možno zařadit např. různá zapojení z oblasti měření a regulační techniky, jako např. přesný stabilizovaný napájecí zdroj, dobrý tranzistorový měřicí přístroj nebo soupravu pro proporcionalní řízení modelů. Při vývoji a seřizování podobných přístrojů, charakterizovaných přesnosti třídy 1 %, je většinou nezbytný měřicí přístroj, jehož přesnost musí být taková, aby se chybou měření nezobrazily na parametrech vyvýšeného zapojení. Popisovaný multimetr lze samozřejmě použít i při laborování na jednodušších zařízeních (jako jsou jednoduché přijímače, různé elektronické hračky a pomocné obvody), rovněž ho lze použít při opravách apod. – tedy tehdy, kdy stačí přesnost měření v oblasti kolem pěti, deseti a někdy i dvaceti procent.

Protože náklady na stavbu jsou poměrně značné, nelze jeho stavbu doporučit amatérům, kteří jeho vlastnosti dokonale nevyužijí. Na druhé straně je třeba říci, že za cenu na materiál vynaložených nákladů lze stavbou multimetu získat přístroj, který by v případě, že by byl profesionálně vyráběn, stál (na základě srovnání různých cen) minimálně trojnásobek. Domníváme se, že tímto stavbním návodem by bylo možné pomoci vyřešit situaci i na některých pracovištích socialistického sektoru, která sice disponují prostředky na materiálové položky, ale mají omezené možnosti při nákupu přístrojů, jejichž cena leží nad úrovni investičního limitu.

S ukázkami konstrukcí číslicových multimetrů se již mohli čtenáři AR seznámit, bohužel šlo spíše o články informativní, jichž nelze doslova dobré využít jako podkladů nebo návodů pro stavbu. Toto konstatování není v žádném případě kritikou zmíněných publikací, protože návod ke stavbě takového zařízení, jako je číslicový multimetr, se téměř rovnou výrobkem dokumentací, kterou nelze vložit do dvou článků po pěti stranách. Doufáme, že se nám podařilo námět zpracovat tak, aby všichni ti, kteří se do stavby multimetu pustí a jsou vybaveni odpovídajícími prostředky, znalostmi a zkušenostmi, došli k vytčenému cíli. Stavba předpokládá základní znalosti z techniky operačních zesilovačů a číslicových obvodů, mimo to klade ještě určité (poněkud vyšší, než je obvyklé) požadavky na přesnost a čistotu pájení.

Od obecného úvodu přejdeme nyní k okolnostem provázejícím vlastní návrh obvodového řešení multimetu. Prvním krokem návrhu je technické zadání. Pečlivým posouzením, při němž základními kritérii byla co nejširší využitelnost, pořizovací cena, jednoduchost a reprodukovatelnost jsme určili základní technické parametry multimetu. Bylo stanoveno, že multimetr musí být schopen měřit stejnosemenná napětí, střídavá napětí a odpory. Po důkladném uvážení jsme se rozhodli rezignovat na možnost měřit proudy – především ze dvou hlavních důvodů: byly by třeba mnohem složitější vstupní

obvody, což by znamenalo podstatné zvětšení půrizovacích nákladů, a přitom proud měříme v relaci s měřením napětí nebo odporu méně často. Kromě toho lze ve velkém většině případů měřit proud jako úbytek napětí na nějakém známém odporu.

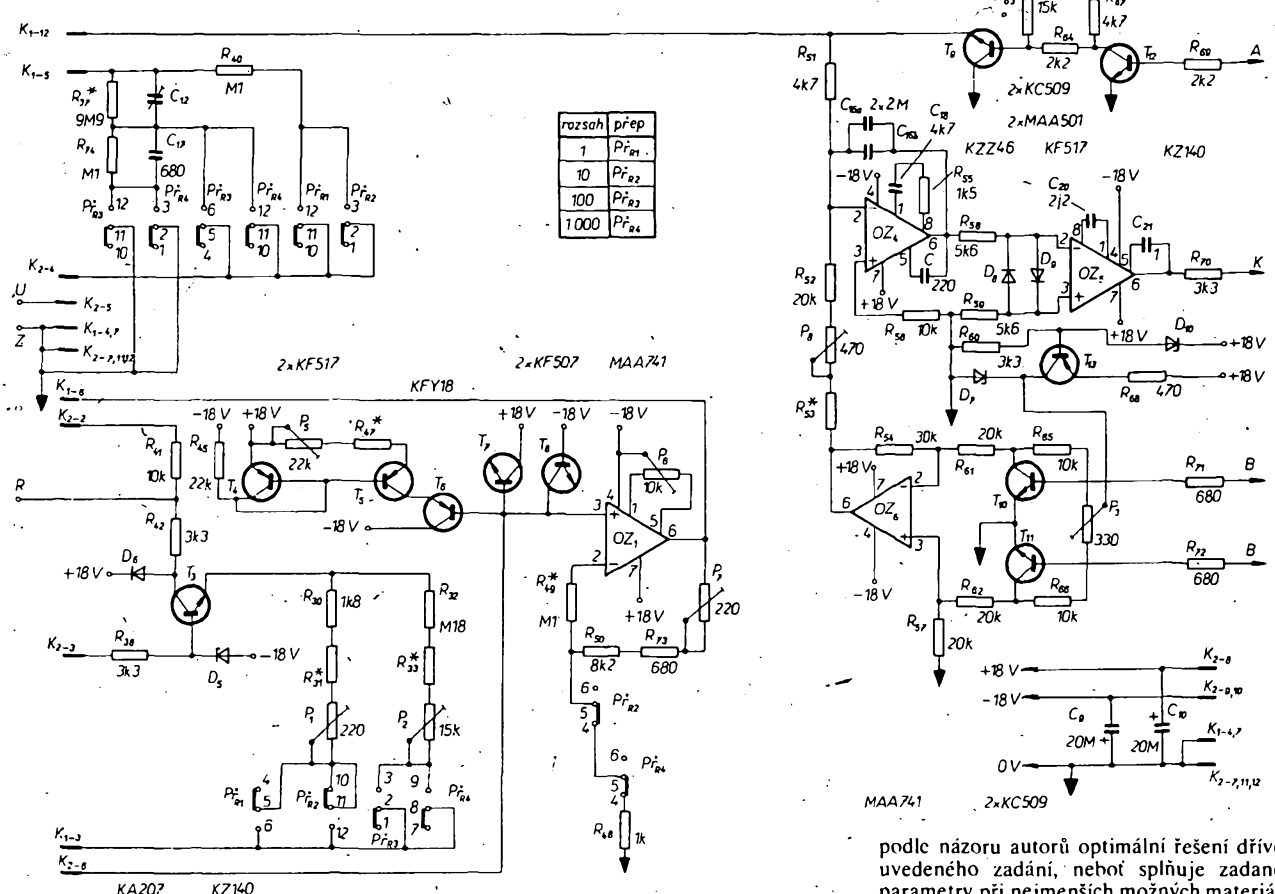
Dalším základním parametrem, potřebným pro návrh číslicového multimetu, je jeho přesnost. Požadavek přesnosti přímo souvise s počtem indikovaných míst (rádu). Z parametru součástek, s nimiž je možné při stavbě počítat, jsme stanovili přesnost multimetu na 0,1 % a z toho tedy vyšel počet rádu (3). Přesnost vychází i z parametrů monolitických operačních zesilovačů a pasivních součástek, které budou v multimetu použity. Vlastnosti pasivních součástek kromě toho určují (za předpokladu správného kalibrování multimetu), zda přesnost multimetu 0,1 % zůstane zachována dlouhodobě.

Číslicový multimetr požadovaných vlastností by bylo možné (jak je tomu ve většině případů) řešit několika různými způsoby. Úkolem konstruktéra (a zároveň jeho ctí) je však navrhnut a propracovat takové řešení zadaného úkolu, které splňuje všechny požadavky, aniž by byly nároky na realizaci neúměrně vysoké. To řešení, které je ze všech těch, které zadáne požadavky splňuje, nejsnáze a nejlevněji realizovatelné, je řešení optimální. Přitom je třeba otázku realizovatelnosti posuzovat kompletně a objektivně, brát v úvahu všechny okolnosti, které se nakonec v souhrnu projeví jako cena projektovaného zařízení. Zde je třeba hodnotit nejen množství, cenu a dostupnost použitých součástek a pracnost výroby, ale také technickou úroveň a modernost řešení, jak po stránce konstrukční, tak z hlediska typů a vlastností použitých součástek. Na těchto posledních okolnostech totiž záleží, jak budou posuzovat a oceňovat konstruované zařízení potenciální zákazníci a jaký tedy bude mít nový výrobek úspěch.

V našem případě sice nešlo o vývoj číslicového multimetu pro výrobu, ale přesto jsme se snažili o to, aby jak po stránce volby celkové koncepce, tak z hlediska propracovanosti jednotlivých obvodů snesl přístroj každou objektivní kritiku. Jsme si vědomi toho, že některé detaily neharmonují co do perspektivnosti a modernosti s celkem (např. indikace s digitrony), ale vždy je jejich použití odůvodněno argumentem nejpřádnějším – realizovatelností v daných podmínkách. Danými podmínkami rozumíme pouze tuzemské a perspektivní součástky, případně součástky dovážené soustavně n. p. TESLA v rámci kooperace z některé ze zemí RVHP. Snad by dokonce bylo na místě použít výraz „prakticky využitelné“ tuzemské součástkové základny, neboť je známo, že zdaleka ne všechny součástky, které jsou obsaženy v katalogzech podniků TESLA, je možno koupit v maloobchodní prodejní síti.

Proto před vlastním řešením obvodů jsme si tedy nejdříve museli určit, jaké součástky použijeme. Přitom jsme narazili na neslučitelnost dvou základních požadavků: požadavku na technické vlastnosti, které již samy určují vlastnosti a tedy i typy potřebných součástek (především odpory, referenční zdroje a operačních zesilovačů), a požadavku čtenářů, kteří chtějí mít možnost potřebné součástky zakoupit v maloobchodní síti, neboť jinak toto publikace ztrácí značnou část své ceny.

Po důkladném zvážení všech okolností jsme se rozhodli k tomuto řešení: jako prvoradě je třeba brát hledisko technických požadavků. Přitom je zřejmé, že při shánění některých součástek to nebude mít zájemce o stavbu přístroje lehké. Součástky, o které



Obr. 57. Zapojení obvodů DMM 1000 na spodní desce – analogová část

se především jedná, jsou přesné a stabilní odpory. Domníváme se, že každý bude souhlasit s tím, že v číslicovém multimetrů trídy přesnosti 0,1 % jsou přesné a stabilní odpory zcela nezbytné, že je nelze nahradit odpory z ostatních běžných řad (TR 151, TR 112, TR 144 atd.), nemá-li dojít k podstatnému zhoršení přesnosti a kvality. Do jisté míry lze tento problém řešit výběrem odporů, je však třeba hned říci, že takový postup je sice možný, ale nevyhovující a profesionálně nepřípustný. V otázce použitých číslicových indikátorů jsme byli nuteni (ač neradi) zvolit digitrony (ZM1080T pro zobrazení číslic a ZM1081 pro automatickou indikaci polarity a indikaci měření štíridavého napětí). Důvodem k tomuto rozhodnutí byl fakt, že tuzemská výroba sedmsegmentových číslicových indikátorů se svíticími diodami (LED displejů) a podobně i výroba příslušných dekódérů je zřejmě stále ještě otázkou vzdálené budoucnosti a často diskutovaný pravidelný dovoz této součástek z NDR dosud zřejmě nebyl a ani nebude realizován. Naproti tomu velmi dobře funguje dovoz tlačítkových souprav typu Isostat od polského výrobce UNITRA a při návrhu způsobu ovládání padla volba jednoznačně na tento druh přepínačů. Trochu složitější byla situace při výběru typu operačních zesilovačů. Vzhledem k některým vlastnostem byla před zesilovači řady MAA500 dána přednost novým zesilovačům MAA741. Jejich použití přináší totiž několik dosti podstatných výhod. V době, kdy je psána tato publikace, již vzorky obvodů existují asi rok a podle informací mají být tyto zesilovače ještě v tomto roce pravidelně dodávány. Tím tedy bývá zhruba probrány okolnosti, které odů-

vodňují použití některých ne zcela běžných součátek.

Na základě rozboru, při němž jsme se snažili uplatnit všechny významné činitele (cena a dostupnost součástek, složitost zapojení vzhledem k vlastnostem přístroje, rozměry a váha přístroje, náročnost obsluhy, praktická využitelnost a pohotovost a další) jsme stanovili technické zadání číslicového multimetru, odpovídající přibližně možnostem předpokládané součástkové základny. Jeden parametr byl již určen – přesnost 0,1 %. S tím souvisí i počet indikovaných míst (řádů) – 3. Při použití digitronů by bylo vymezení počtu řádu např. 31/2 (naplnění na 1999) nevhodné především z ekonomického hlediska. (Jinak je tomu při použití displejů s luminiscenčními diodami. V této verzi se v zahraničí běžně vyrábějí indikátory, obsahující jedničku a znaménko polarity měřeného napětí.)

Dále jsme stanovili, že multimeter bude mít čtyři dekadicky odstupňované rozsahy a že základní rozsah bude 1 V pro měření napětí nebo 1 k $\Omega$  pro měření odporu. (Rozumí se při zcela naplněném displeji). Rozlišovací schopnost (a zároveň nejménší indikovatelná jednotka) bude tedy při měření napětí 1 mV a při měření odporu 1 k $\Omega$ . Další vyšší rozsahy pro naplněný displej budou pro měření napětí 10 V, 100 V a 1000 V, pro měření odporu 10 k $\Omega$ , 100 k $\Omega$ , 1 M $\Omega$ . Tímto zadáním byly zhruba určeny hlavní parametry a schopnosti číslicového multimetru.

V poslední kapitole teoretické části pojednání o číslicových multimetrech měli čtenáři příležitost seznámit se s příkladem možného postupu při návrhu obvodů číslicového multimetru. Tento postup byl záměrně předveden na blokovém schématu (obr. 38), který přesně odpovídá blokovému zapojení popisovaného číslicového multimetru DMM 1000. Uvedené blokové schéma představuje

podle názoru autorů optimální řešení dříve uvedeného zadání, neboť splňuje zadané parametry při nejmenších možných materiálových nákladech.

## **Popis zapojení číslicového multimetru DMM 1000**

Žapojení číslicového multimetr DMM 1000 budeme popisovat podle schématu na obr. 57, 58 a 59. Schéma celého zapojení je rozděleno na tři části, odpovídající přibližně fyzickému rozmístění jednotlivých obvodů (viz kapitola o uspořádání a mechanické konstrukci).

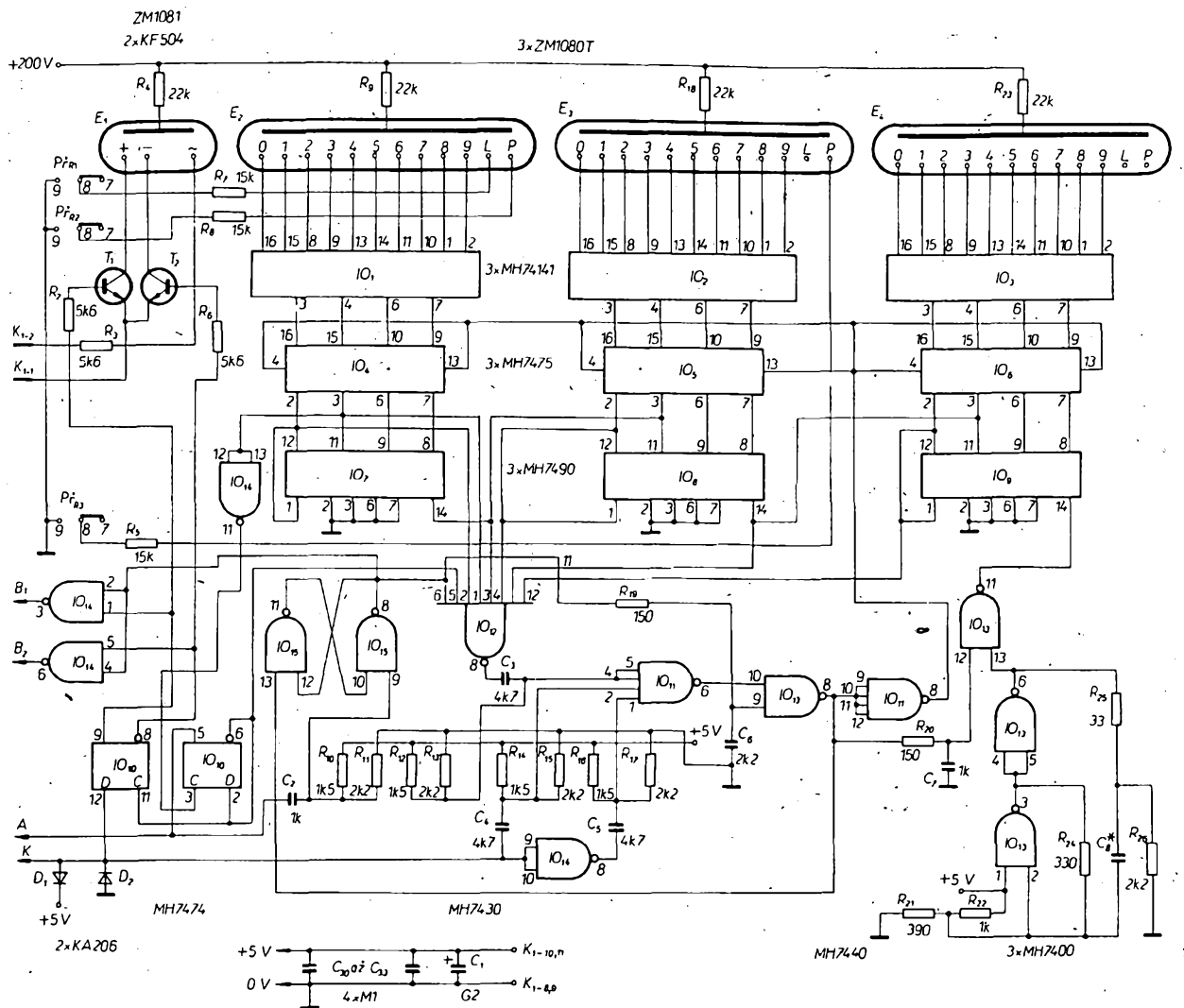
Všechny tlačítkové prepínače jsou kresleny v klidové (nestlačené) poloze, kontakty prepínačů jsou očíslovány tak, jak to vysvětluje obr. 60 a 61.

Při popisu zapojení jako při popisu návrhu jednotlivých obvodů budeme postupovat stejně, tj. budeme sledovat cestu měřených signálů. Při některých částech je však třeba využít i výpočetního počítače.

### *Vstupní ohvody*

Požadavky na vstupní obvody DMM 1000 se kryjí přesně s tím, co je napsáno v kapitole, zabývající se jejich návrhem. Zapojení je velmi prosté, zmínime se pouze několika větami o součástkách. Kondenzátor  $C_{11}$  oddeluje případnou stejnosměrnou složku při měření stridavého napětí. Vzhledem k velkému vstupnímu odporu přístroje je třeba, aby měl kvalitní dielektrikum s nimimálním svodem. Značné potíže byly s výběrem vhodného typu odporu  $R_{17}$ . Řešení je vidět na obr. 62. Jmenovitý odpor naznačeného uspořádání je  $9.92 \text{ M}\Omega$ . Vlivem tolerancí může mít skutečný odpor toleranci až  $\pm 500 \text{ k}\Omega$ . Odpor  $R_{17}$  sestavujeme z vybraných odporů, které obstojí při několikrát opakovane zkoušce tepelným zatížením, nejlépe až při sržování multimetru. Další možnosti je vybrat odpor  $9.9 \text{ M}\Omega$  na přesném ohmmetru (můstku) z běžných odporů  $10 \text{ M}\Omega$  (TR 154

Obvody vstupního děliče (rozsahy) se přepínají tlačítkovými přepínači  $P_{R1}$  až  $P_{R4}$ . Některé ze sekcí přepínačů přepínají zpětno-



Obr. 58. Zapojení obvodů DMM 1000 na spodní desce – číslicová část

vazební obvody zesilovače  $Z_1$  tak, aby jeho zesílení bylo podle potřeby 1 nebo 10. Analogové číslicový převodník je zkonstruován tak, aby k naplnění všech řádů (stav displeje 999) došlo právě při napětí 9,99 V. Při zadání bylo stanoveno, že jednotlivé rozsahy multimetu budou 999 mV (1 V), 9,99 V (10 V), dále 99,9 V (100 V) a 999 V (1000 V). Na prvním rozsahu se tedy předpokládá, že signál projde vstupními obvody bez zeslabení a že se v zesilovači  $Z_1$  desetkrát zesílí (z 999 mV na 9,99 V). Na druhém rozsahu bude vlastně na vstupu převodníku přesně stejně napětí jako na vstupu multimetu, vstupní obvody i zesilovač budou mít tedy přenos 1. Při přepnutí multimetu na třetí rozsah se do cesty signálu zařadí dělič 1 : 100, současně se však zisk zesilovače  $Z_1$  nastaví opět na 10. To tedy znamená, že celkový přenos je 1/10, takže z napětí 99,9 V, dostaneme opět potřebné napětí 9,99 V. Konečně ve čtvrtém rozsahu se vstupní signál jen dělí ve vstupním děliči, takže z napětí 999 V dostaneme opět napětí 9,99 V. Ze však musíme uvést jedno důležité upozornění. Na posledním rozsahu bychom sice mohli teoreticky měřit napětí až do 999 V, parametry použitých součástek (odpor, kondenzátory, vstupní zdižky, přepínače) snižují prakticky využitelný měřicí rozsah na 400 V. Při měření odporů samozřejmě zůstávají všechny rozsahy bez omezení.

#### Vstupní zesilovač

V úvodní kapitole konstrukční části jsme se zmínili o tom, že jsme (na některých místech zapojení) dali přednost novým monolitickým operačním zesilovačům, které se

v n. p. TESLA Rožnov připravují do výroby. Jde o zesilovače typu MAA741. Hlavním důvodem k jejich volbě byl požadavek co největšího rozsahu vstupního napětí, kterému jinak osvědčené a běžně dostupné zesilovače řady MAA500 nevyhovují. Je třeba připomenout, že vzhledem k tomu, že zesilovače musí zpracovat i střídavé napětí až 10 V, může být amplituda vstupního napětí až 14 V, proto jsou operační zesilovače napájeny ze zdroje napětí  $\pm 18$  V. Použití zesilovačů MAA741 má i tu výhodu, že lze kompenzovat vstupní napěťové nesymetrie (trimrem  $P_n$ ), nemluví již o vnitřní kmitočtové kompenzaci, zjednodušující celkové zapojení tohoto zesilovače v obvodech.

Odpor  $R_{49}$  je v sérii s invertujícím vstupem zapojen proto, aby byl v případě, nepoužíme-li obvody pro kompenzaci vstupního proudu, v obou vstupech zařazen přibližně stejný odpor (jako  $R_{40}$ ). Bude-li zapojení vybaveno obvodem pro kompenzaci vstupního proudu, zapojíme místo  $R_{49}$  zkratovací spojku.

Obvody zpětné vazby určující velikost zesílení jsou složeny z odporů a z odporového trimru ( $P_2$ ), aby bylo možno přesně nastavit požadované zesílení, neboť přesné odpory s tolerancí menší než 1 % jsou pro amatérskou veřejnost zcela nedostupné.

#### Obvod pro kompenzaci vstupního proudu

S podrobným popisem tohoto obvodu, zdůvodněním jeho použití a výkladem činnosti se již čtenáři seznámili. Podotýkáme tedy pouze, že ho lze ze zapojení vypustit. Pak se nebudu osazovat do desky s plošnými spoji tranzistory  $T_4$ ,  $T_5$  a  $T_6$ , odpory  $R_{45}$ ,  $R_{47}$

a trimr  $P_5$ . V takovém případě je ovšem třeba použít  $R_{49}$  a  $R_{41}$  zvětšit na  $0,1 \text{ M}\Omega$ .

#### Obvody ochrany proti přetížení a filtr

Ochrana ohroženého neinvertujícího vstupu zesilovače  $Z_1$  obstarávají přechody báze–kolektor tranzistorů KC507, zapojené vzhledem k napájecím větvím v závěrném směru.

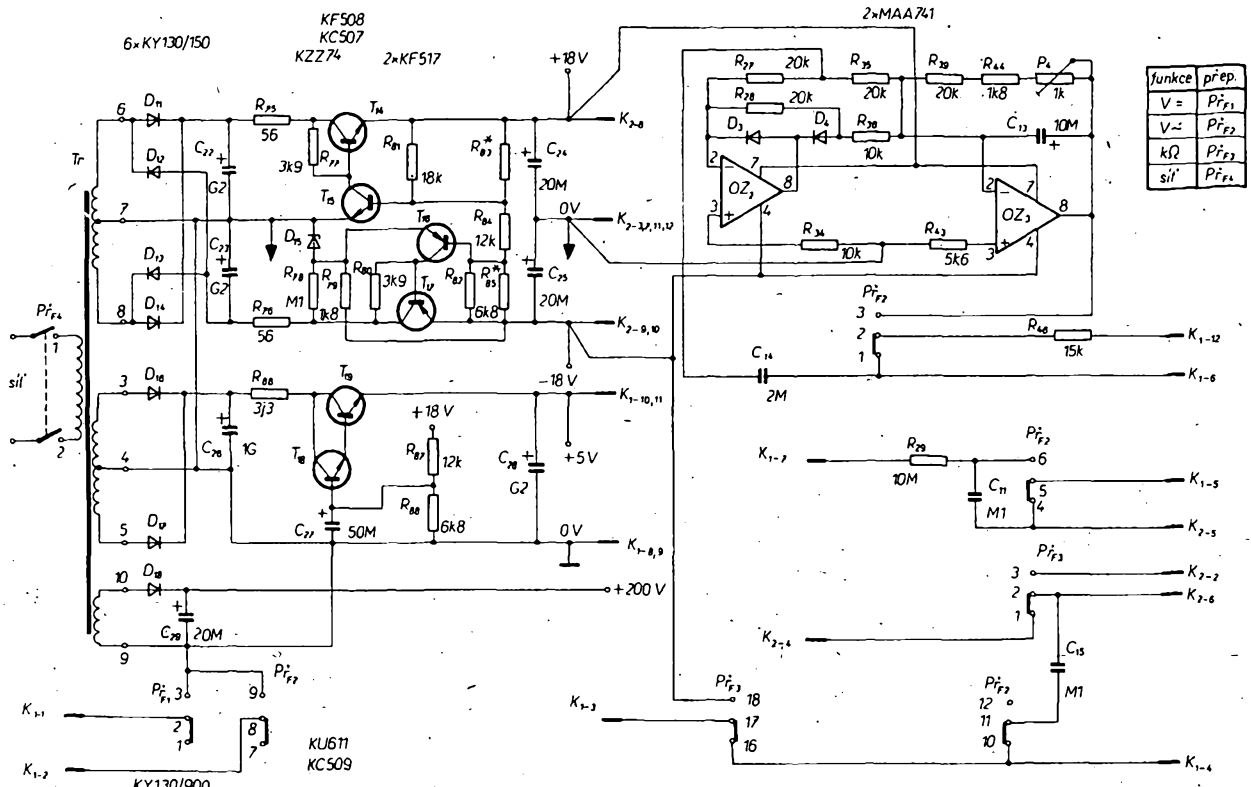
Kondenzátor filtru  $C_{15}$  je připojen paralelně ke vstupu zesilovače a jeho případný svod by měl nepříznivý vliv na přesnost multimetu. Proto i zde volíme typ s co největším izolačním odporem. Při měření střídavých napětí musíme pochopitelně tento kondenzátor od vstupu  $Z_1$  odpojovat, což zajišťuje jedna sekce přepínače funkci  $P_{12}$ .

#### Převodník střídavých napětí na stejnospěrná

Obvody převodníku AC-DC není třeba znovu vysvětlovat. Připomeneme si pouze, že trimr  $P_4$  nastavujeme přesně jednotkový poměr mezi efektivní hodnotou vstupního střídavého napětí a velikostí výstupního stejnospěrného napětí. Odpor  $R_{34}$  a  $R_{43}$  volíme tak, abychom co nejvíce potlačili vliv vstupních proudů zesilovače  $Z_1$  a  $Z_3$ . Vzhledem k vlastnostem použitých zesilovačů však není jejich velikost kritická.

#### Obvod pro měření odporů

Zdroj konstantního proudu je přepínán podle zvoleného rozsahu v poměru 1 : 100



Obr. 59. Zapojení obvodů DMM 1000 na horní desce

(10  $\mu$ A a 1 mA) a z tohoto hlediska tedy plní při měření odporů podobnou funkci, jako vstupní dělič při měření napětí. K seřízení výstupního proudu zdroje na jmenovitou velikost slouží trimry  $P_1$  a  $P_2$ , ochrana zdroje před zničením (pri náhodné připojeném napěti na svorku R) zajistuje  $R_{42}$  spolu s  $D_6$ . Odporník  $R_{41}$  (za podobných okolností) chrání před zničením  $Z_1$ .

#### Analogově číslový převodník

V předchozích odstavcích jsme si všimali konstrukčních detailů vstupních obvodů multimeteru DMM 1000. Nyní jsme se dostali k obvodům, které převádějí analogové veličiny (napětí) na formu, kterou můžeme nakonec zobrazit digitrony jako číslo. Analogově číslový převodník je tvořen v podstatě čtyřmi částmi (pro zjednodušení prozatím oddělíme logickou síť, nakreslenou na obr. 58). Patří sem spínač vstupního napětí, integrátor, komparátor a přepínač referenčního napětí. Spínač vstupního (měřeného) napětí byl popsán v předchozí kapitole, podobně jako integrátor a komparátor. Přepínač referenčního zdroje je obecně velmi užitečný obvod, kterého lze dobré využít i v jiných případech (např. u přesného generátoru signálu trojúhelníkovitého průběhu apod.). V každém případě je třeba počítat s tím, že přechod z jedné polarity na druhou se neděje skokem, ale rychlostí, odpovídající kmitočtovým vlastnostem použitého zesilovače. U zesilovače MAA741 je tato rychlosť asi 0,5 V/ $\mu$ s. Změna polarity napětí na výstupu zesilovače tedy trvá více než 10  $\mu$ s. Proto jsme zvolili u DMM 1000 relativně dlouhou dobu převodu (160 ms). Přepínač referenčního napětí má ve svých obvodech prvky (trimry), které umožňují nastavit jak symetrii při obou polaritách napětí ( $P_3$ ), tak správnou velikost referenčního proudu, tekoucího do vstupu integrátoru ( $P_4$ ).

#### Číslicová část DMM 1000

Zapojení celé číslicové části multimeteru DMM 1000 je na obr. 58. S analogovými obvody je tato část přístroje spojena čtyřimi signálovými vodiči, označenými A, K, B<sub>1</sub> a B<sub>2</sub>. Signály A, B<sub>1</sub> a B<sub>2</sub> jsou z číslicové části do analogového signálu K je směrem opačným. Signálem A se řídí spínač vstupního napětí, signály B<sub>1</sub> a B<sub>2</sub> určují stav přepínače referenčního napětí. Signálem K se ovládá činnost logických obvodů. Protože napětí na výstupu komparátoru je asi +15 a -15 V, převádíme tato napětí s pomocí  $R_{70}$ ,  $D_1$  a  $D_2$  na úrovnu vhodnou pro číslicové integrované obvody. Digit.on, indikující automaticky polaritu měřeného napětí, je ovládán  $T_1$  a  $T_2$ , které jsou řízeny z obvodu pro rozlišení polarity. Indikace polarity se odpojuje (pri měření odporu), popř. znaménko ~ (pri měření referenčního napětí) se spíná kontakty funkcích tlačítkových spínačů (P<sub>rF</sub>).

Popisem ostatních obvodů číslicové části se již nebudeme zabývat, neboť funkce celkového zapojení již byla podrobne vysvětlena a popis jednotlivých integrovaných obvodů patří spíše do publikace katalogového typu.

#### Zdroje

V závěru popisu zapojení ještě několik slov k napájecím zdrojům. Při proměřování vývojového prototypu jsme zjistili, že zkonztruovaný číslicový multimeter je (díky principu zapojení) velmi nenáročný na stabilitu napětí napájecích zdrojů. Např. změna v kteříkoli z obou větví  $\pm 18$  V až  $\pm 2$  V nezpůsobí ještě v údaji chybu 0,1 %. Proto jsme použili k napájení tak jednoduché stabilizátory, jaké jsou na obr. 59. Jak je na první pohled zřejmé, jde o symetrický stabilizátor  $\pm 18$  V s tzv. vlečnou regulací, přitom od větve +18 V odvozujeme ještě napětí pro řízení zdroje +5 V k napájení číslicových integrovaných obvodů. Velký podíl na nezávislosti přesnosti multimeteru na napájecím napětí má mimo jiné to, že referenční dioda  $D_7$  je napájena ze zdroje konstantního proudu ( $T_{13}$  na obr. 57).

Popisem zapojení zdrojů jsme vyčerpali obvodovou problematiku číslicového multimeteru. Poslední kapitola je věnována prakt-

ickým pokynům, které mají co nejvíce usnadnit stavbu DMM 1000, neboť byly shromážděny právě při realizaci prototypu.

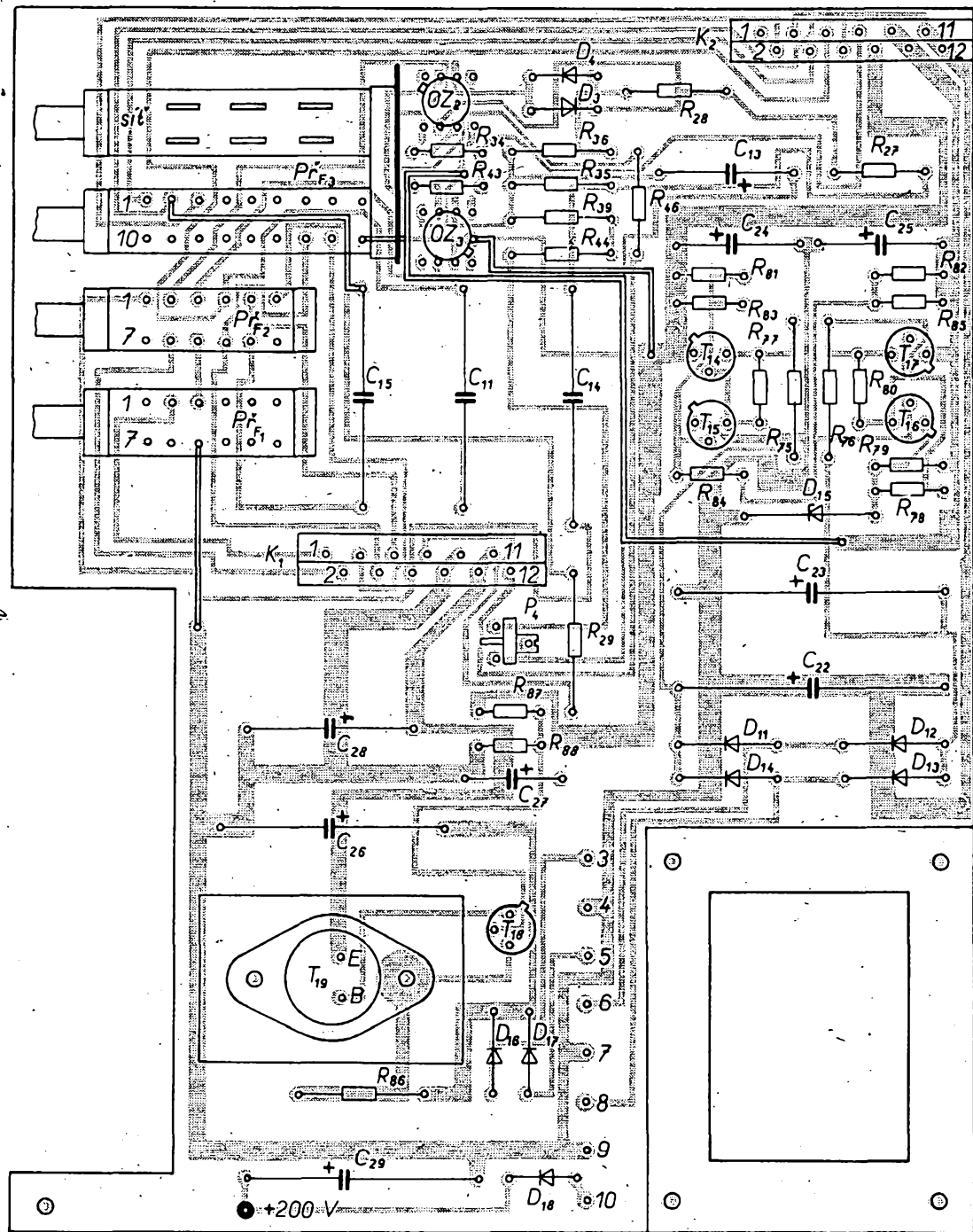
#### Uspořádání a mechanická konstrukce číslicového multimeteru

Představu o uspořádání jednotlivých dílů, ze kterých je složen popisovaný číslicový multimeter, je možné získat z fotografií na 4. str. obálky. Jak je z fotografií patrné, obvody multimeteru jsou zapojeny na dvou deskách s plošnými spoji. Jedna deska (horní) je běžná (druh se spoji po jedné straně), druhá deska má spoje na obou stranách. Použit jednu desku s oboustrannými plošnými spoji je museli proto, že zapojení obvodů číslicového multimeteru je poměrně komplikované. Při zhotovení desky s oboustrannými plošnými spoji však nebyla použita technika prokovených dér. Při návrhu plošných spojů jsme vycházeli z toho, že zhotovení desky s oboustrannými plošnými spoji je sice komplikovanější než zhotovení běžné desky, že je však i v amatérských podmírkách v zásadě možné. Přitom cena desky s jednostrannými plošnými spoji je na jednotku plochy téměř shodná s cenou desky s oboustrannými spoji. Cena desek s oboustrannými plošnými spoji s prokovenými dérami je však několikanásobně výšší a jejich zhotovení je v amatérských podmírkách prakticky zcela nemožné.

Deska s oboustrannými plošnými spoji bez prokovených dér se navrhuje shodně jako každá jiná deska, pouze návrh rozložení a vedení spojů (spojového obrazce) je poněkud obtížnější, protože přestupy z jedné desky na druhou mohou být pouze v místech, v nichž prochází deskou vývod nějaké součástky. Ten se potom zapájí z obou stran a tím se vodivé spojí místa, ležící proti sobě na obou stranách desky.

Ve smontovaném stavu jsou obě desky vzájemně rovnoběžné a stranami se součástkami obráceny k sobě. Smontovaný celek je kompaktní a velmi pevný, neboť obě desky jsou spolu spojeny sešroubováním (vpředu šrouby, zataženými do dvou rozpěrých hra-

Obr. 60. Rozložení součástek na horní desce (deská K237)



nolků, vzadu čtyřmi šrouby, stahujícími zároveň plechy jádra síťového transformátoru). Velká tuhost takového uspořádání vede k odolnosti vůči závadám, vznikajícím např. přerušením plošných spojů při mechanickém namáhání (nárazech).

Multimetr je kompaktní nejen po mechanickém, ale i po elektronické stránce. Na deskách s plošnými spoji jsou nejen všechny elektronické obvody, ale také ovládací prvky (funkční i rozsahové tlačítkové přepínače) a napájecí zdroje včetně síťového transformátoru. Tím je dáno, že po smontování kompletně osazených desek obdržíme celek, k němuž pouze přivedeme síťové napájecí napětí. Z toho důvodu nejsou při propojování použity téměř žádné drátové spoje (kromě několika pomocných drátových propojek a spoje primárního vinutí síťového transformátoru – síťový spínač). Obvody umístěné na spodní a horní desce jsou spolu v několika bodech propojeny. Toto spojení při smontování obstarávají dva upravené řádové konektory (výrobce TESLA Jihlava), které na sebe při sesazení obou

desek přesně dolehnu. Rozteč (vzdálenost) mezi vnitřními povrchy obou desek s plošnými spoji ve smontovaném stavu je 34 mm.

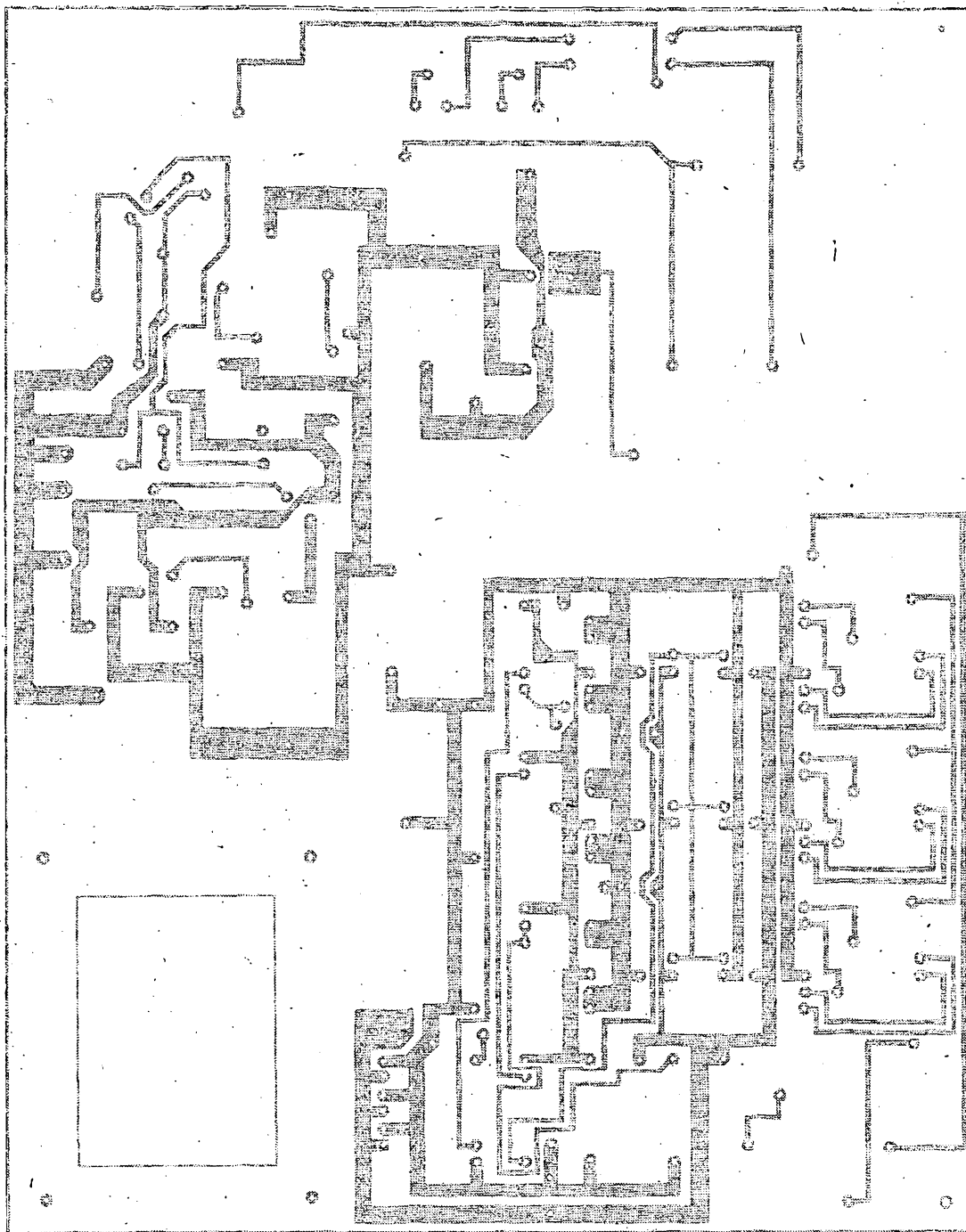
Čelní panel číslicového multimetu (obr. 63) je připevněn dvěma šrouby k předním rozpěrným hranolkům a tvoří se smontovanými deškami pevný celek. V čelním panelu je v místě digitronu okénko, do něhož je zamáčknuta destička z polopruhledného organického skla, volbu barvy necháváme na možnostech a vkusu každého jednotlivce. Dále jsou v panelu vyplácány dva obdélníkovité otvory, z nichž budou využívány tlačítka obou tlačítkových souprav Isostat. Pod nimi jsou čtyři díry pro vstupní zdírky. Po vyvrácení těchto dér si u všech vypilujeme například na spodní části otvorů kulatým jehlovým pilníkem půlkruhové vybráni pro aretační výstupy zdírek WK 45 404.

Pripínací šrouby jsou v čelním panelu upevněny tak, aby nerušily vzhled. Toho jsme dosáhli tim, že jsme šrouby s půlkulatou hlavou vložili do zapuštěných dér, z druhé strany stálí maticemi a obě hlavy zakápli malým množstvím epoxidové pryskyřice. Po

vytvrzení můžeme pryskyřici vyhladit jemným pilníkem a po přestříkání panelu nezbuďou po šroubech na čelním panelu žádné stopy. Čelní panel je přestříknut barvou ve spreji, odstín je třeba volit tak, aby byly dobře vidět nápis zhotovené suchými obtisky (třeba Transotype). Velmi elegantní je kombinace černé barvy s bílými nápisami, dajícími multimetu profesionální vzhled.

Zadní panel multimetu má stejně rozměry jako panel čelní a je v něm vyvrácena jedna řada dér, umožňujících odvod tepla. Tyto otvory jsou nasávací, oteplený vzduch vystupuje ze skřínky děrami v horním dílu pláště skřínky.

Plášť skřínky tvoří dvě stejné díly z ocelového plechu tloušťky 0,8 mm. Na spodní díl pripínáme dvěma úhelníčky zadní panel multimetu, na horní díl čtyřmi šroubkami M2 x 3 mm dva pásky z leštěného nerezové-



ho pláchu, které jsou ohnuty podle obrysu čelního panelu. Dalšími dvěma šroubkami potom sešroubujeme při konečné montáži skřínky oba díly dohromady.

### Součástky

Součástky použité v zapojení číslicového multimetru můžeme rozdělit do dvou hlavních kategorií. Do první kategorie řadíme ty, které se při stavbě použijí tak, jak je dostaneme v obchodě, tedy bez jakýchkoli úprav (nevažujeme třeba zkracování vývodů odporů apod.). Tyto součástky tvoří naprostou většinu, patří sem odopy, kondenzátory, tranzistory, diody, integrované obvody, digitony a odporové trimry. Do druhé skupiny patří součástky, které bud získáme úpravou nebo sestavením běžných komerčních součástek, nebo které si musíme sami zhотовit.

K témuž součástkám patří síťový transformátor, konektory k propojení obou desek s plošnými spoji, tlacítkové soupravy přepínačů pro volbu funkcí multimetru a pro volbu rozsahu a téměř všechny mechanické díly (kromě šroubek a matic).

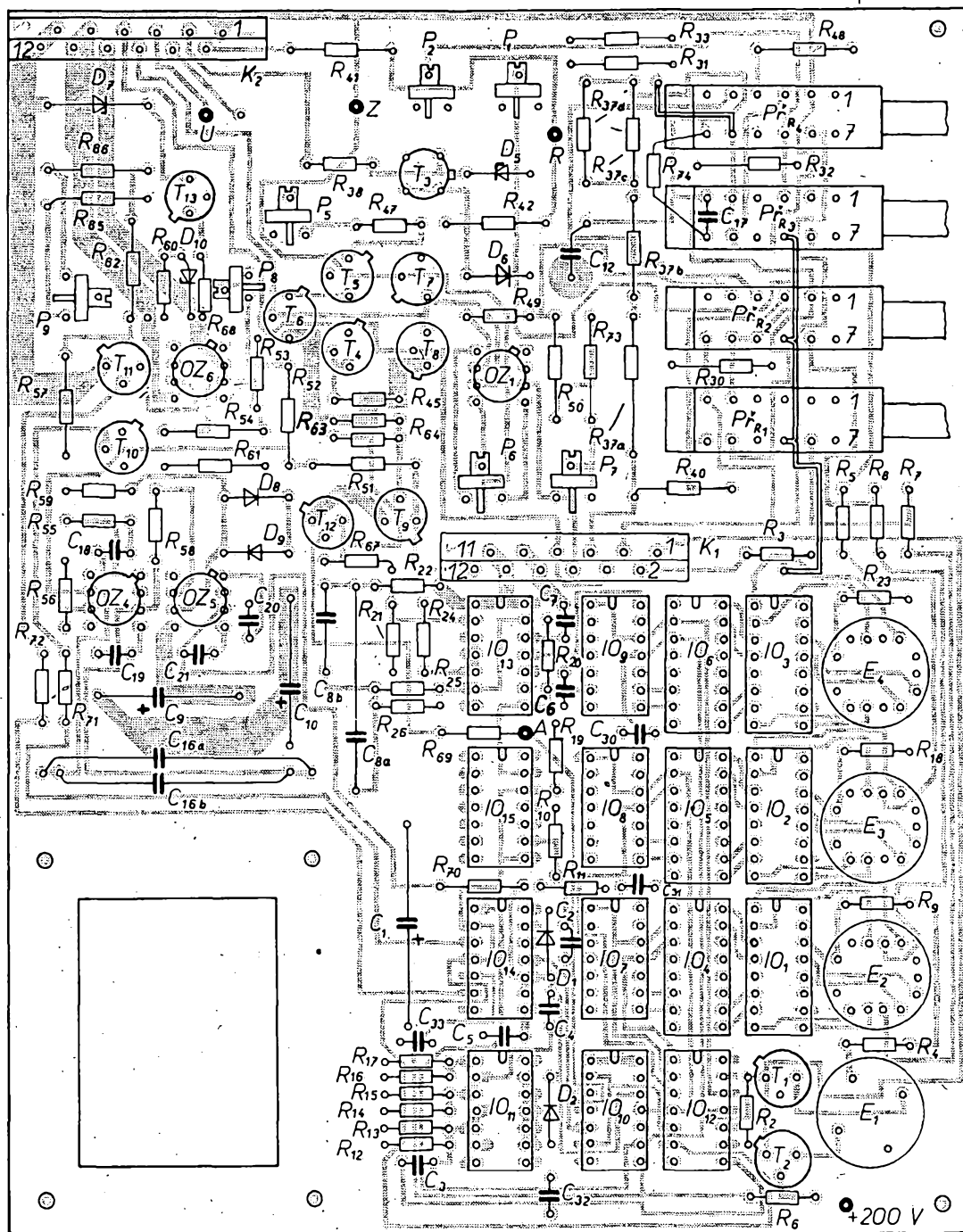
### Odpory

Odpory v multimetru ve většině případů mají za úkol nějakým způsobem zajišťovat správnou činnost jiných součástek (nastavení pracovních bodů, srážecí nebo ochranné odpory atd.), někde však tvoří přesný napěťový dělič nebo součást zpětnovazebních obvodů operačního zesilovače apod. V prvním případě na přesnosti ani na stabilitě odporu příliš nezáleží, protože jeho změny nemají patrný vliv na přesnost celého multimetru. Na této místecku jsou použity odopy řady TR 151, které svými vlastnostmi plně vyhovují. Velmi vhodné jsou např. i odopy řady TR 191, které však zatím nejsou bohužel v maloobchodním prodeji běžné. Pro použití na místech, na nichž jsou na přesnost a stabilitu odporů kladený výšší nárok (kde

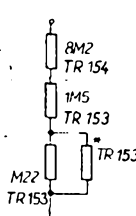
na nich přímo závisí přesnost multimetru), jsme zvolili odopy z řady TR 161. Hlavním důvodem není ani tak jejich přesnost (na místech, která mají vliv na absolutní přesnost multimetru, jsou odporové trimry), jako jejich časová stabilita a malý teplotní koeficient. Všechny tyto odopy je v zásadě možné nahradit bez újmy na funkci rovněž odopy z řady TR 151, musíme však počítat s tím, že se všechny nepřesnosti nakonec sečtou ve velkou chybu.



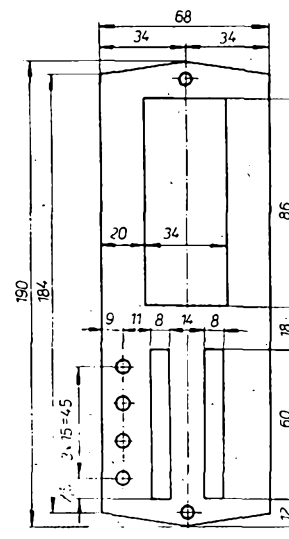
▲ Obr. 61. Rozložení součástek na spodní desce (deska K238) ▼



Jedinou výjimku jsme nakonec udělali u horního odporu vstupního děliče (pro rozsahy vyšší než 10 V). Složit odpor  $9.9 \text{ M}\Omega$  z odporů řady TR 164 (odpor  $1 \text{ M}\Omega$  se v menším provedení nevyrábí) je vzhledem k nárokům na prostor nereálné. Proto jsme po zkouškách teplotní stability a po několika cyklech umělého stárnutí použili kombinaci odporu z řady TR 154 a TR 153 (obr. 62), nastavenou přesně na požadovaný odpor (při kalibraci multimetru).



Obr. 62. Náhrada odporu  $R_{15}$  odpory řady E12



#### Kondenzátory

Všechny kondenzátory použité v obvodech číslicového multimetru jsou běžné typy, bez zvláštních nároků na kvalitu. Pouze kapacita kondenzátoru  $C_8$ , určující kmitočet generátoru v číslicové části přístroje, se musí přesně nastavit paralelními kondenzátory. Je třeba, aby kondenzátor  $C_8$  i přidávané kondenzátory měly co nejmenší teplotní koeficient. Cílem větší totiž bude odchylka kmitočtu tohoto generátoru od  $12.5 \text{ kHz}$ , tím méně bude potlačen rušivý signál síťového kmitočtu. Z ostatních kondenzátorů si zaslouží zmínku jen  $C_{11}$  a  $C_{15}$ , jejichž typ byl zvolen s ohledem na požadavek co nejmenšího svodu. Integrační kondenzátor ( $C_{16}$  a  $C_{17}$ ) doporučujeme nahradit v případě možnosti.

◀ Obr. 63. Nákres čelního panelu

rozměrově menším kondenzátorem  $2,2 \mu F$  dováženým z NDR; pak nebudeme muset zapojovat diody  $D_{13}$  a  $D_{14}$  u horní desky s plošnými spoji ze strany spojů.

#### Položidlové prvky

V obvodech multimetru je využita široká paleta položidlových součástek, od nejjednodušších (diody) až po značně složité (číslicové integrované obvody MSI). Protože při návrhu všech obvodů byly za základ brány katalogové údaje, není třeba položidlové vybírat. Užitečné však bude, vyčleněním-li ze všech zesilovačů MAA741 kus, který má nejmenší vstupní proudy, a ten použijeme na vstupní zesilovač. Při výběru můžeme použít například metodou, uvedenou v [18]. Pokud bychom měli možnost indikovat proudy řádu desítek až stovek pikoampérů, můžeme si pro ochranu vstupního zesilovače vybrat ze všech KC507 tranzistory  $T_7$  a  $T_8$  ty kusy, které propouští přechodem kolektor-báze v závěrném směru při napětí asi 32 V nejmenší proud. Díry pro vývody operačních zesilovačů v destičce s plošnými spoji jsou uspořádány do dvou řad, aby bylo případně možno použít v zahraničí hojně rozšířené zesilovače v pouzdru z plastické hmoty, nazývaném mini-dip. Vývody operačních zesilovačů v běžných kovových kulatých pouzdrach lze snadno vytvarovat do dvou řad a takto upravené zesilovače potom vložit a zapájet do destičky.

#### Digitrony

V multimetru jsou pro zobrazení výsledků měření použity číslicové indikátory ZM1080T a indikátor ZM1081, zajišťující indikaci polarity měřeného napětí, případně indikaci přepnutí multimetru na měření střídavého napětí. S digitrony typu ZM1080T nejsou žádné potíže. Může se však stát, že s opatřováním „znaménkových“ digitronů budou stále ještě problémy, a proto upozorňujeme na možnost jejich nahradby podobným indikátorem polské výroby, který se prodává v prodejnách TESLA. Tento indikátor má však odlišně zapojené vývody!

Informaci o digitronech jsme skončili pojednání o součástkách, které „jak je koupíme, tak je použijeme“. Dále se budeme věnovat součástkám, které musíme předem zvlášť upavit nebo zhotovit.

#### Síťový transformátor

K napájení všech obvodů multimetru potřebujeme tři napájecí zdroje. Energii pro všechny tři zdroje přivadíme do multimetru přes síťový transformátor, který má tři oddělená sekundární vinutí. Transformátor je na jádru EI  $20 \times 20$  mm, primární vinutí ( $220 \text{ V}, 50 \text{ Hz}$ ) má 2850 z drátu o  $\varnothing 0,15 \text{ mm}$ , první sekundární vinutí ( $190 \text{ V}$ ) má 2700 z drátu o  $\varnothing 0,08 \text{ mm}$ , druhé ( $2 \times 22 \text{ V}$ ) má  $2 \times 300$  z drátu o  $\varnothing 0,12 \text{ mm}$  a třetí ( $2 \times 9 \text{ V}$ ) má  $2 \times 135$  z drátu o  $\varnothing 0,35 \text{ mm}$ .

Jako první navineme primární vinutí, které od sekundárních sekcí oddělíme důkladnou izolací několika vrstvami olejového plátna. Potom vineme všechna tři sekundární vinutí v tomto pořadí: nejprve vinutí 190 V pro napájení – digitronů, potom vinutí  $2 \times 22 \text{ V}$  a nakonec vinutí  $2 \times 9 \text{ V}$ . Napěti sekundárních vinutí jsou určena s dostatečnou rezervou (po zkoušení z provozu jsme vzali zřetel i na zvětšení odporu vinutí ohřátím při dlouhodobém provozu). V případě možnosti dáme síťový transformátor nainstalovat. Všechny vývody zkrátíme na délku asi 30 mm, dráty očistíme a pocinujeme. Tím je síťový transformátor připraven k montáži do desky s plošnými spoji.

#### Tlačítkové přepínání soupravy

Číslicový multimetr obsahuje dvě soupravy tlačítkových přepínaců. Jedna souprava je určena k přepínání rozsahů, s druhou připojujeme multimeter k síti a volíme požadovanou funkci (měřenou veličinu). Souprava přepínaců k volbě měřicích rozsahů je složena ze čtyř vzájemně se vybavujících tlačítek po čtyřech přepínacích kontaktech. Pokud nezískáme tuhá souprava hotovou, složíme ji z jiné soupravy bez zvláštních potíží. Různých vhodných souprav prodávají obchody TESLA značný sortiment. Rozteče všech tlačítek (u obou souprav) jsou 15 mm. Tlačítková souprava pro přepínání funkci obsahuje jedno síťové tlačítko se samostatnou aretací a tři vzájemně se vybavující tlačítko. Při pohledu na soupravu shora, směřují-li ovládací konce tlačítek směrem k nám, bude síťové tlačítko první zleva. Tlačítko vedle síťového tlačítka má šest přepínacích kontaktů, zbyvající dvě mají po čtyřech kontaktech. (Poslední tlačítko – úplně napravo – může mit jen dva přepínací kontakty). Protože síťové tlačítko nebude zasunuto a zapojeno do desky s plošnými spoji, musíme se postarat o jeho mechanické upevnění tím, že ho také vzadu mechanicky „svážeme“ se sousedním tlačítkem (proto je tlačítko  $P_{TF}$  tak dlouhé, ačkoli jeho kontakty nejsou využity) stejnou lištou, na niž jsou tlačítka upevněna vpředu (lišta bude ovšem kratší).

#### Propojovací konektory

Při popisu celkového uspořádání číslicového multimetru jsme si řekli, že obě desky s plošnými spoji jsou vzájemně propojeny dvěma rádovými konektory s dvanácti kontakty. Protože vzdálenost mezi oběma deskami s plošnými spoji je 34 mm, nemohli bychom konektory zapájet do desky tak, aby konektor k desce těsně přilnul. Při takovém způsobu montáže by však nebyla zaručena potřebná tuhost připevněného konektoru a po několikerém spojení by se konektor pravděpodobně mechanicky poškodil, jakost propojení by se zmenšila stejně jako spolehlivost celého číslicového multimetru. Proto musíme konektory zapájet do desky tak, aby byly podepřeny distančními podložkami potřebné výšky. V našem případě jsme použili konektory typu WK 465 44 (do spodní desky) a WK 46 202 do horní desky. Tyto konektory mají 24 pólů a jejich rozříznutím v polovině (v místě střední díry) dostaneme potřebné dva páry. Aby se však rozříznuté kusy neropadly (konektory jsou sestaveny ze dvou polovin, sítisknútých podélnečkou k sobě a přidržovaných vodicími čepy v místě díry) musíme je ještě před rozříznutím pevně spojit, např. slepením; do podélné spáry (do místa styku obou dílů) vpravíme štětečekem několik kapek acetenu nebo nitroceloidu. Aceton vznílá do spáry a naleptá povrch plastické hmoty, z níž je těleso konektoru vyrobeno. Zajistíme-li nyní, že aceton vyschnne za stavu, při němž budou obě poloviny stačeny k sobě (stačí položit konektor na rovnou podložku a zatížit) spojí se po několika minutách oba podélné díly konektoru, který potom můžeme bez obav napříč rozdělit na dvě poloviny. Tímto způsobem postupujeme u konektorů pro spodní i horní desku (zásvuka a vidlice). Celková výška obou konektorů (spojujíme-li zásvuku a vidlice) je

17 mm (10 mm zásvuka, 7 mm vidlice). Víme, že vzdálenost mezi deskami s plošnými spoji je 34 mm, takže potřebujeme konektory zapájet do desek tak, aby celková tloušťka distančních podperek byla stejná jako výška obou spojených konektorů. Zde se nabízí velmi jednoduché a elegantní řešení. Pro zhotovení distančních podperek jsme použili tělíska ze starých vyřazených konektorů stejněho typu (bez kontaktů), kterými jsme „nastavili“ výšku tělisek konektorů na dvojnásobek. Zásvuka bude nyní dlouhá 20 mm a vidlice 14 mm, což dává dohromady potřebné 34 mm.

Před nasazováním prodlužovacích tělisek do vidlice musíme nejprve v nástavném tělisku proříznout lupenkou pilkou drážky do větší hloubky, aby vývody vidlice prosily těliskem bez změny roztečných vzdáleností, obou řad. Délky vývodů konektorů pro zapájení tohoto řešení umožňují, neboť při zasunutí tohoto celku do desky vyčnívají ze strany spojů v dostatečné délce, umožňující spolehlivě zapájet všechny vývody. Následně díly po nasunutí na vývody konektorů opět slepíme acetonom, a to jak podélně (obě poloviny v podélné spáře), tak i čelně k tělisku již slepeného konektoru. Po slepení tvoří každý díl konektoru pevný celek, plnící zcela spolehlivě svéřenou funkci.

#### Chladič výkonového tranzistoru

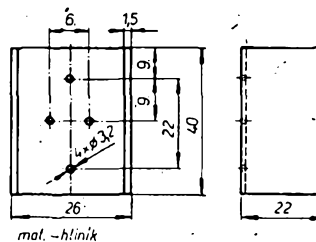
Ke zlepšení odvodu tepla do okolí je výkonový tranzistor  $T_{10}$  ve zdroji +5 V pro napájení číslicových integrátorů obvodů opatřen chladičem. Chladič je zhotoven z ohnuteho hliníkového plechu podle náčrtku na obr. 64. Je výhodnější, vyvrtáme-li všechny díry do plechu ještě před jeho ohnutím. Kdo má možnost, může si chladič černě naeloxovat, stačí však přestříknout chladič po odmaštění slabou vrstvou černé matové barvy, která se prodává ve spreji. Na chladič předem připevníme výkonový tranzistor KU611 dvěma šroubkami M3  $\times 12$  mm a dvěma maticemi M3, stýčnou plochu obou součástí však předem pokryjeme slabou vrstvou silikonové vazelinu (pro zlepšení přestupu tepla z pouzdra tranzistoru do tělesa chladiče).

#### Rozpěrné hranolky

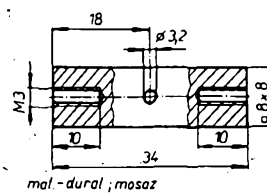
Rozpěrné hranolky tvoří dva ze tří bodů, v nichž jsou mechanicky pevně spojeny obě desky s pološnými spoji (třetím bodem je síťový transformátor). Hranolky jsou umístěny v obou předních rozích desek, jeden vedle „znaménkového“ digitronu a druhý vedle tlačítkových přepínacích souprav. Rozměry obou rozpěrných hranolků jsou na obr. 65.

Rozpěrné hranolky slouží zároveň k připevnění čelního panelu multimetru ke smonování sestavě destiček s plošnými spoji. K tomuto účelu je v každém hranolku vyvrtána díra kolmo k jeho podélné ose.

Kromě těchto rozpěrných hranolků potřebujeme ještě zhotovit distanční válečky, jimiž zvětšíme výšku svazku plechů síťového transformátoru tak, aby celková výška byla 34 mm. Transformátor hude do multimetru vestavěn tak, aby zůstal (pri oddělování desek s plošnými spoji od sebe) pevnou součástí horní desky, protože na této desce jsou obvody všech zdrojů. Detaily konstrukce jsou zřejmé z fotografií na 4. straně obálky.



Obr. 64. Chladič tranzistoru  $T_{10}$



Obr. 65. Rozpěrné hranolky

## **Stavba**

Při amatérské stavbě elektronických zařízení všeho druhu se velmi často improvzuje. Bývá to vidět jak na technologické stránce přístroje (např. na způsobu zhøtení desky s plošnými spoji, na zpùsobu montáže atd.), tak i na použitém materiálu. Nechceme tyto improvizace jednoznačně odmítat, neboť velmi často nezbývá nic jiného, než např. při výběru součástek udělat určitý kompromis, at již z cenových důvodů nebo prostě kvůli jejich dostupnosti. Upozorňujeme však důrazně na to, že nemá-li záměna součástek zhorsit některý z udávaných technických parametrů, musí k ní dojít na základě dokonale znalosti funkce nahrazované součástky. Jedině tak budeme schopni nahradní součástku vytvářat správně a záměna se skodlivě neprojeví na funkci přístroje. U náhradních součástek musíme kromě elektrických parametrů sledovat též mechanické specifikace (především rozměry, někdy i váhu ajiné), neboť odlišnosti tohoto druhu mohou zvláště při stěsnané montáži činit značné potíže. Určité problémy pùsobí i přizpùsobování náhradní součásti k desce s plošnými spoji, vytvořené pro součástku jiného tvaru nebo rozměru. Koncne ani po estetické stránce nebývá vždy výsledek nahradby uspokojivý. Ideální podmínky zůstanou zachovány tehdy, použijeme-li ke stavbì doporučené součástky, s nimiž bylo zapojení (a také deska s plošnými spoji a mechanická konstrukce) navrženo a s nimiž také bylo odkoušeno.

**Číslicový multimetr** je poměrně složitý přístroj, vyžadující značné náklady na pořízení potřebných součástek. Rovněž musíme počítat s tím, že jeho stavba bude trvat mnohem déle než stavba obvodové jednoduššího přístroje (jako např. nf generátor nebo stabilizovaný zdroj). Stejně tak se zvyšují i nároky na čistotu a jakost pájení a konečně i na vybavení dílny radioamatéra, který se pro stavbu multimetru rozhodne. Chтиeli bychom proto všem zájemcům doporučit, aby nejdříve celý popis konstrukce řádně prostudovali a potom zvážili, zda budou moci splnit všechny požadavky na stavbu a „dotáhnout“ stavbu multimetru do úspěšného konce. Neodputstelným požadavkem jsou solidní znalosti oboru elektroniky, které se v zapojení vyskytuji (číslicové obvody, technika zapojení operačních zesilovačů apod.) jako předpoklad pro pochopení funkce všech obvodů multimetru. Z tohoto důvodu nemůžeme doporučit začínajícím radioamatérům, aby se dostavby pustili sami, bez pomocí zkušenějších kolegů, i kdyby je možnost získat tento užitečný přístroj lákala sebevíc.

Práci na stavbě číslicového multimetru zahájíme obstaráním všech potřebných součástek. Doporučujeme předem kontrolovat jejich jakost, buď změřením (u odporů a kondenzátorů), nebo zkouškou funkcí (u polovodičů, především u číslicových a lineárních integrovaných obvodů). Tato práce zabírá poměrně dost času a z nedočkovosti se většinou přehlíží. Na druhé straně však často hodně času ušetří (odhalení špatného kondenzátoru může být někdy velmi obtížné). V jiném případě se zase takto můžeme vyhnout nepřijemné práci spojené s vyjímáním vadného integrovaného obvodu z desky s oboustranným plošným spoji. Ten, kdo to někdy zkusil (s obyčejnou páječkou), ví, jak deprimující je pohled na poničené plošné spoje a jak nepěkné jsou opravy drátěnými spojkami. U desek s plošnými spoji pečlivě zkонтrolujeme jakost spojů, nehoť i nepatrň trhlinka ve spoji může způsobit mnoho střostí, zvláště tehdy, bude-li skryta pod nějakou součástkou. Po zkontrolování desek s plošnými spoji můžeme vyvrátit všechny díry na obou deskách. Ještě předtím si však destičky osříhnhneme na správný rozměr

a všechny stříhané hrany zapilujeme jemným plochým pilníkem. Potom si v obou deskách uděláme obdélníkovité otvory pro síťový transformátor a v horní destičce ještě výrez v místě, kde budou po sesazení obou destiček přečítat digitrony. Vrtat začneme vrtáčkem o  $\varnothing$  0,8 mm. Potom do sklíciadla upneme vrtáček o  $\varnothing$  1 mm a převrtáme ve spodní desce díry pro: odporové trimry, referenční diodu  $D_5$ , kondenzátory  $C_{10}$  a  $C_{12}$ , kondenzátory  $C_1$  a  $C_8$ , všechny odpory řady TR 161, odpory  $R_{40}$  a odpory, z nichž je složen  $R_{17}$ . Ve druhé destičce převrtáme vrtáčkem o  $\varnothing$  1 mm díry pro propojovací konektory, svitkové kondenzátory  $C_{11}$ ,  $C_{14}$ ,  $C_{15}$ , dále díry pro odporový trimr  $P_4$ , pro odpory  $R_{75}$ ,  $R_{84}$ ,  $R_{85}$ , pro elektrolytické kondenzátory  $C_{22}$ ,  $C_{23}$ ,  $C_{26}$ ,  $C_{27}$  a  $C_{28}$  a díry pro všechny diody a pro připojení vývodů ze síťového transformátoru. Potom do sklíciadla vrtáčky upneme vrtáček o  $\varnothing$  1,1 mm a vě spodní destičce převrtáme díry, do nichž přijdou zasunout količky tlačítkové přepínací soupravy, odpor 8,2 M $\Omega$ , TR 164 (jeden z těch, z nichž je složen  $R_{17}$ ) a nakonec ještě díry pro zasunutí propojovacích konektorů. V horní destičce převrtáme vrtáčkem o  $\varnothing$  1,1 mm díry pro vývod báze a emitoru  $T_{1K}$ , pro odpor  $R_{29}$  a díry pro tlačítkovou přepínací soupravu. Dále použijeme vrták o  $\varnothing$  3,3 mm, vrtáme v obou deskách díry pro přišroubování síťového transformátoru a obou rozpěrných hranolků. a v horní desce díry pro přišroubování tranzistoru  $T_{1M}$ .

Nakonec zbývá pouze vyvrátit díru pro kondenzátor  $C_1$  (vrták o  $\varnothing 4,1$  mm). Díry pro propojovací konektory a tlačítkové přepínací soupravy upravime tak, abychom mohli tyto součástky s velkým počtem vývodů do desek zasunout bez velkých obtíží. Úprava spočívá v kuželovitém zahlubení příslušných dér ze strany součástek vrtákem o  $\varnothing$  asi 3 mm, jehož hrot je broušen do ostrého úhlu (asi 70° až 90°). Zahlubení zasahuje asi do poloviny tloušťky desky (max. 0,8 mm).

Po vyvrácení děr připravíme desky k pájení. Příprava spočívá v jejich důkladném očištění, popřípadě můžeme jejich povrch opatřit vhodným ochranným nátěrem, který však nesmí ztcňovat pájení. Zcela postačí přetřít desky roztokem čisté kalafuny v lihu, pokud není k dispozici speciální přípravek pro tyto účely. Dbáme na to, aby použity ochranný nátěr nezaleplil vyvrácené otvory. Takto připravené desky můžeme začít osazovat součástkami. Do spodní desky nejprve osadíme a zapojíme všechny odpory. Samozřejmě zatím neosazujeme ty odpory, jejichž hodnotu budeme při nastavování měnit; jsou to  $R_{11}$ ,  $R_{13}$ ,  $R_{17}$  a  $R_{53}$ . Stejně postupujeme při osazování této desky kondenzátorů. Po kondenzátořích přijdou na řadu jednoduché polovodiče – diody a tranzistory.

Tranzistory pájíme tak, aby spodní okraj pouzdra byl asi 5 až 6 mm nad destičkou. Ty součástky, které budou pájeny z horní strany destičky, můžeme nechat rovněž trochu výšku nad deskou (přibližně 1 až 2 mm), budou se v této poloze lépe pájet. Tlačítkovou přepínací soupravu prohlédneme, nejsou-li některé kontaktní količky zdeformovány, a potom ji namačkнемe do příslušných dér. Mezi deskou a tělesy přepínačů z plastické hmoty má zůstat mezera asi 3 mm. Po zapájení soupravy tlačítkových přepínačů zapájíme dvě pomocné drátové spojky, spojující soupravu přepínačů s ohvody na desce, osadime do desky všechny integrované obvody (operaci zesilovače pájíme tak, aby spodní okraj pouzdra byl asi 10 mm nad destičkou). Pak přejdou na řadu digitrony. Digitrony se také nedomačkávají až na deskou, mezi jejich spodním okrajem a deskou musí opět zůstat mezera asi 3 mm, umožňující natočit digitron kolcem podélné osy (podle potřeby). Nakonec do desky namontujeme a zapájíme upravené propojuvající konektory a přišroubujeme

přední rozpěrné hranolky. Tím je montáž spodní desky multimetru skončena.

Osazování a montáž horní destičky s plošnými spoji je podstatně jednodušší; protože u. a spoje pouze z jedné strany a obsahuje podstatně méně obvodů a tedy i méně součástek. Po osazení a zapájení pasivních součástek (odporů a kondenzátorů) zapájíme stejným způsobem jako u spodní desky všechny diody, tranzistory a oba operační zesilovače. Zatím do desky neosazujeme pouze  $R_{16}$ , neboť jej budeme potřebovat při seřizování obvodů spodní desky. Z prostorových důvodů musíme diody  $D_{13}$  a  $D_{14}$  zapájet do desky ze strany spojů (pri sesazení obou desek by si tyto diody vzájemně překážely s kondenzátory  $C_6$  a  $C_7$  integrátoru).

Výkonový tranzistor  $T_{IX}$  zdroje pro napájení číslicových integrovaných obvodů upevníme na chladič a potom vložíme do desky a připevníme maticemi. Tím se zároveň propojí se spoji na desce kollektor tranzistoru  $T_{IN}$ . Dále do desky vložíme propojovací konektory a přepínací soupravu, kterou opět propojíme s obvody na desce pomocnými drátovými spojkami. Tlačítkovou přepínací soupravu namačkeme do desky s plošnými spoji tak, aby mezi deskou a tělesky jednotlivých tlačítek z plastické hmoty zůstala mezera asi 2 mm. Jako poslední upevníme do desky síťový transformátor, jehož sekundární vinutí propojíme s odpovídajícími body na desce s plošnými spoji. Primární vinutí síťového transformátoru spojíme dvoužilovým vodičem se síťovým tlačítkovým spínačem. Tím je stavba elektronické části číslicového multimetrů skončena a můžeme přistoupit k jeho oživování.

#### Oživení a kalibrace

Máme-li kompletně zapojeny všechny obvody číslicového multimetru, mohli bychom jej teoreticky připojením na síť uvést do provozu. Doporučujeme však všem, aby zkrotili svoji nedokávost a postupovali při oživování podle následujícího popisu. Nejdříve si ožívíme a překontrolujeme obvody v horní desce multimetru, neboť tam jsou umístěny napájecí obvody, které budeme potřebovat k oživování obvodů spodní desky.

Nejdříve odpojíme od emitoru  $T_{14}$  a  $T_{17}$  drátové spojky k zesilovačům  $Z_2$  a  $Z_3$ . Potom překleneme kondenzátory  $C_{24}$  a  $C_{25}$  odpory 680 až 820  $\Omega$ /1 W, které představují priblíženě stejně velkou zátěž zdroje  $\pm 18$  V, jako obvody multimetru. Paralelně k  $C_{28}$  připojíme odpor 22  $\Omega$ /2 W, nahrazující provozní zatížení zdroje pro napájení číslicových integrovaných obvodů. Kondenzátor  $C_{29}$  přemostíme odporem 18  $k\Omega$ /2 W, nahrazujícím priblížně z hlediska zátěže všechny digitrony. Potom můžeme primární vinutí síťového transformátoru připojit k sítii. Voltmetrem s odporem alespoň 1  $k\Omega/V$  (stačí tedy Avo-met 1) kontrolujeme napětí v jednotlivých bodech.

Nejdříve ověříme správnou velikost střídavého napětí na primárním vinutí a potom na všech vinutích sekundárních (podle údajů v navýjecím předpisu). Potom zkontrolujeme velikost napětí na filtračních kondenzátorech všech napáječů. Na kladném pólu  $C_{29}$  má být asi +180 V. Na kladném pólu kondenzátoru  $C_{22}$  má být asi +23 V, na zaporném pólu  $C_{23}$  asi -23 V. Konečně na kladném pólu  $C_{26}$ , bychom měli naměřit asi +9 V. Všechna napěti pochopitelně měříme proti společnému nulovému vodiči (např. záporný pól kondenzátoru  $C_{26}$ ). Jsu-li všechna napěti v pořádku (odchylinky až  $\pm 10\%$  nejsou na závadu), můžeme konstatovat, že jsou napáječe v pořádku, a přikročíme ke kontrole

stabilizátorů  $\pm 18$  V a  $+5$  V. Předtím však odpojíme transformátor od sítě a počkáme, až se přes pomocný odpor  $18\text{ k}\Omega$  vybije náboj  $C_{24}$ . Potom odpojíme anodu diody  $D_{18}$  od vývodu síťového transformátoru. Toto opatření nás chrání před úrazem napětím pro napájení digitronů při další manipulaci s touto deskou. Po opětovném zapojení primárního vinutí transformátoru k sítí překontrolujeme napětí na výstupu stabilizátoru  $\pm 18$  V. Napětí na kondenzátoch  $C_{24}$  a  $C_{25}$  by se mělo pohybovat mezi 17,5 až 18 V. Na potřebnou velikost nastavíme změnu odporů  $R_{81}$  a  $R_{82}$  (možná, že zcela odpadnou), případně úpravou  $R_{84}$ . Teprve po nastavení výstupního napětí tohoto zdroje můžeme přikročit ke kontrole funkce stabilizátoru napětí pro napájení číslicových integrovaných obvodů. Potřebujeme, aby na výstupu tohoto stabilizátoru (na kondenzátoru  $C_{28}$ ) bylo napětí  $+5$  V. Případné odchyly upravíme velmi jednoduše změnou  $R_{87}$  nebo  $R_{88}$  (nejlépe připojením vhodného odporu paralelně k některému z nich). Po seřízení tohoto stabilizátoru jsou zdroje připraveny k provozu.

K oživování dalších obvodů multimetru musíme připojit napájecí obvody k obvodům na spodní desce (za provozu jsou připojeny propojovacími konektory) obehnými vodiči, dlouhými asi  $40$  až  $50$  cm. To proto, abychom se dostali k měřicím bodům, které byly při složení obou desek na sebe nepřistupné. Ideálním řešením (poněkud pracným) je zhodnotit dva kusy propojovacích šnůr, které by měly na koncích vždy dvanáctipólovou zástrčku a dvanáctipólovou vidličku.

Použijeme-li vodiče, propojíme nejdříve z horní desky do spodní nulový a kladný pól zdroje napětí pro číslicově integrované obvody. Potom připojíme na vývod 11 integrovaného obvodu  $IO_{11}$  osciloskop a měřicí kmitočtu. Na osciloskopu bychom měli vidět, že je v tomto hodě přítomen signál obdělníkovitého průběhu s amplitudou asi 3 až 3,5 V o kmitočtu  $12,5$  kHz. Máme-li k dispozici osciloskop s kalibrovanou časovou zakladnou, nemusíme měřit kmitočtu vůbec používat. S kondenzátorem  $C_s$  o kapacitě  $0,1\text{ }\mu\text{F}$  bude kmitočet asi  $15$  kHz. Zádaný kmitočet  $12,5$  kHz nastavíme připojením jednoho nebo dvou paralelních kondenzátorů (potřebná výsledná kapacita je asi  $120$  až  $135\text{ nF}$ ). Pro dalodávání použijeme kondenzátory s co nejménším teplotním koeficientem, např. styroflexové. Zcela nevhodné jsou pro tento účel miniaturní keramické kondenzátory.

Po nastavení kmitočtu generátoru na předepsanou velikost překontrolujeme správnou činnost dekadických čítačů MH7490 a jedné poloviny obvodu MH7474 tak, že připojíme osciloskop na vývod 5 obvodu  $IO_8$  (nebo na ten konec  $R_{86}$ , který je s tímto

vývodem spojen – na schématu je to bod A). Signál, který zde musíme nalézt, má průběh A na obr. 66. Amplituďa obdělníku je opět asi 3 až  $3,5$  V, perioda  $160$  ms, strídá přesně 1:1. Tím je kontrola základní funkce číslicové části provedena, její další činnost je závislá na funkci převodníku  $U/t$ , s nímž je spojena čtyřmi signálovými cestami (A, B<sub>1</sub>, B<sub>2</sub>, K). Kdo by chtěl mít větší jistotu, může si ještě překontrolovat funkci obvodů paměti a dekódérů spolu s digitrony tak, že odpojí ovládání paměti a vstup čítače od ostatních obvodů a přiváděním signálu logické úrovně a vhodného kmitočtu překontroluje činnost tohoto celého kompletu, zahrnujícího v sobě většinu z celkového počtu použitých číslicových integrovaných obvodů.

V dalším kroku budeme kontrolovat činnost celého zapojení číslicové části a celého převodníku  $U/t$ . Vstupní bod pro přivedení signálu do této části je na noži 12 propojovacího konektoru  $K_1$ . Tento bod uzemníme přes odpor  $33\text{ k}\Omega$ . Z horní desky s plošnými spoji si do spodní desky přivedeme napájecí napětí  $\pm 18$  V a jeho zemnici vodič. V horním dílu zapojíme opět do desky diodu  $D_{18}$  a kladný pól kondenzátoru spojíme dohle izolovaným vodičem se společným bodem odporů, napájejících digitrony. Odpor  $R_{83}$  nahradíme provizorním zkrátem. Po připojení přístroje k sítí se musí rozsvítit digitron a musí zobrazovat číslo, které se smí lišit od nuly jen na digitronu posledního rádu. „Znaménkový“ digitron zatím nesvíti, neboť jeho okruhy jsou přerušeny. Odpojíme-li nyní pomocný odpor  $33\text{ k}\Omega$  od země a spojíme jej s napájecí větví  $+18$  V, mělo by se na digitronech objevit číslo asi 500. Připojíme-li pomocný odpor  $33\text{ k}\Omega$  z větve  $+18$  V na větve  $-18$  V, mělo by být na digitronech opět číslo asi 500. Jestliže jsme při zkouškách dosáhli popsánych výsledků, můžeme počítat s tím, že funkce všech obvodů počínaje od bodu, do něhož jsme zapojili pomocný odpor, bude v pořádku. Bude výhodné, jestliže si už v tomto okamžiku zkalibrujeme rozsah a symetrii převodníku  $U/t$ , neboť to je bez obvodů vstupního zesilovače snazší. K tomu účelu použijeme odpor  $R_{84}$ , který zasuneme do konektoru  $K_1$ , a sice mezi noži 12 a 4. Tím spojíme nůž 12 přes  $15\text{ k}\Omega$  se signálovou zemí. Běžec potenciometru  $P_k$  nastavíme zhruba do středu odporové dráhy, do stejné polohy nastavíme i běžec  $P_k$ . Nůž 1 konektoru  $K_1$  spojíme kouskem vodiče s nožem 9 téhož konektoru. Po připojení napájecího napětí by měly na všech digitronech svítit nuly a na „znaménkovém“ digitronu by se měla střídavě rozsvítet znainénka + a -.

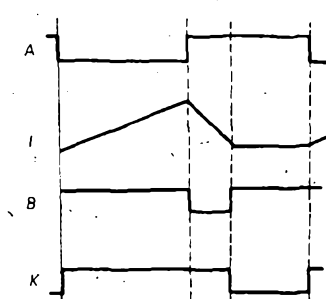
K dalšímu seřizování potřebujeme měřicí přístroj odpovídající přesnosti. Konec odporu zasunutý do noží 4 konektoru  $K_1$  z tohoto nože vytáhneme a připojíme ho na jeden pól nějakého zdroje stejnosměrného napětí menšího než  $10$  V (můžeme použít například dvě sériově spojené plaché baterie). Druhý pól zdroje připojíme na signálovou zem multimetu a paralelně k tomuto zdroji připojíme číslicový voltmetr (indikující ale spoušť tří rády). Odstraníme zkrat na místě  $R_{83}$  a místo něho zapojíme provizorně do obvodu nějaký proměnný odpor  $2,2\text{ k}\Omega$ . Po zapojení napájecího napětí se snažíme změnou tohoto odporu nastavit na digitronech přibližně stejné číslo, jaké je na displeji kontrolního voltmetu. Když toho dosáhneme, vyjmeme pomocný proměnný odpor, změříme ho a do destičky zapojíme odpovídající odpor z řady TR 151. Po opětovném zapojení nastavíme trimrem  $P_k$  stejně údaje na obou displejích. Potom obrátíme polaritu zdroje zkušebního napětí. Pokud nebude údaj na displejích stejný jako v předchozím případě, nastavíme na nich trimrem  $P_1$  číslo, ležící uprostřed obou údajů, získaných při jedné a druhé polaritě zkušebního napětí. Poté znovu trimrem  $P_k$  sjednotíme údaj seřizovaného přístroje s údajem kontrolního voltmetu. Tim-

to seřízení jsme v podstatě zkalibrovali převodník  $U/t$ .

Odpor  $R_{44}$  nyní můžeme zapojit do patřičného místa v horní desce. Všechny propojovací dráty mezi horní a spodní deskou odstraníme, protože dále lze přístroj seřizovat v běžné sestavené poloze. Sesadíme tedy obě desky dohromady a začneme se seřizováním zbyvajících obvodů analogové části multimetu. Po sesazení desek propojíme kouskem izolovaného vodiče z horní desky do spodní napájecí napětí digitronů. K sestavění příepnění pro lepší manipulaci i čelní panel, protože v něm jsou tlačítka přepínacích souprav vedena a jsou na něm příepněny vstupní zdírky. Vstupní zdírky propojíme izolovanými vodiči s příslušnými body na spodní desce s plošnými spoji. Multimetr připojíme k sítí a zapneme jej pro měření stejnosměrného napětí, rozsah nastavíme na  $1$  V. Nejdříve vykompenzujeme vstupní napětovou nesymetrii a vstupní proud zesilovače  $Z_1$ . Vstupní zdírku pro měření napětí spojíme se zemnicí zdírkou a odporovým trimrem  $P_k$  nastavíme na digitronech nuly na všech rádech. Potom místo zkratu zapojíme mezi vstupní zdírky větší odpor (např.  $10\text{ M}\Omega$ ), místo  $R_{47}$  zapojíme odporový trimr asi  $150\text{ k}\Omega$ . Trimr  $P_k$  nastavíme asi do středu odporové dráhy a běžec pomocného trimru nastavíme tak, aby na displeji bylo číslo co nejbližší nule. Potom pomocný trimr odpojíme, změříme a do desky zapojíme odpovídající odpor. Nakonec znova nastavíme trimrem  $P_k$  údaj na displeji co nejbližší nule. Je-li mezi vstupními zdírkami zapojen odpor  $1\text{ M}\Omega$ , potom každý bit známená  $1\text{ nA}$  vstupnímu proudu. Uvedenou metodou lze vstupní proud zmenšit až na úroveň stovek pikoampéru.

Dále nastavíme správné zesílení vstupního zesilovače. Vstupní zesilovač má zesílení buď 1 nebo 10. Zesílení 1 se nenastavuje, neboť má-li mít zesilovač zesílení 1 (rozsah  $10$  V až  $1000$  V), pracuje jako sledovač, u něhož se přenos odchyluje od jedničky až někde se na pátém rádu. Zesílení 10 (na rozsazích 1 a 100) je dáné poměrem odporů ve zpětné vazbě. Pro správné zkalibrování budeme opět potřebovat nějaký přesný digitální voltmetr a zdroj proměnného stejnosměrného napětí. Nejdříve si přepneme oba voltmetry na rozsah  $10$  V a pomocný zdroj napětí nastavíme asi na  $9$  až  $9,8$  V. Údaje obou voltmetrů (DMM 1000 i kontrolního) by se měly shodovat, protože jsme si řekli, že přenos vstupního zesilovače je přesně jednotkový a další obvody jsme již kalibrovali. Když se soudí údaje obou voltmetrů přece jen liší, opravíme tento rozdíl znovu trimrem  $P_k$ . Obrácením polarity zkušebního zdroje překontrolujeme správnost měření i pro napětí opačné polarity, případně odchyly odstraníme opět trimrem  $P_k$ . Po dosažení správné funkce na tomto rozsahu změníme napětí zkušebního zdroje těsně pod  $1$  V, přepneme oba voltmetry na rozsah  $1$  V a tentokráte se snažíme dosáhnout souhlasu v údajích obou přístrojů nastavením  $P_k$ . Po tomto nastavení zbyvá zkalibrovat vstupní děliče. K tomu potřebujeme zdroj napětí menšího než  $100$  V. Přepneme opět oba přístroje na příslušné rozsahy a správného údaje kalibrovaného multimetru se snažíme dosáhnout výběrem vhodného odporu  $R_{47}$  (obr. 62).

Popsanou operaci skončilo seřizování obvodů pro měření stejnosměrných napětí. Přesnost při měření střídavých napětí zajistíme kmitočtovou kompenzací vstupního děliče a nastavením správného činitele přenosu převodníku střídavého napětí na stejnosměrné napětí (musí být přesně jedna). Správnou velikost přenosu nastavíme trimrem  $P_4$ . Zkušební napětí by mělo mít kmitočet asi  $100$  Hz (pozor na rušení síťovým kmitočtem) a velikost necelých  $10$  V na příslušném rozsahu. Zkušební napětí současně kontrolujeme ji-



Obr. 66. Průběhy napětí v obvodech multimetu

nym přesným voltmetrem. Přímá kmitočtová kompenzace vstupního děliče je poněkud problematická, protože nf generátory s výstupním napětím kolem 100 V nejsou běžné. Proto doporučujeme známou metodu kompenzace, založenou na principu nastavení nezkresleného přenosu napětí obdélníkovitého průběhu.

Nakonec nám zbývá kalibrovat rozsahy pro měření odporů. První dva rozsahy (do 1 kΩ a do 10 kΩ) kalibrujeme nastavením trimru  $P_1$  při připojení přesného odporu o hodnotě blízké hodnotě pro naplnění displeje. Další rozsahy kalibrujeme trimrem  $P_2$ . Postup kalibrace je podobný jako např. při kompenzaci vstupního proudu zesilovače  $Z_1$ . Oba trimry nastavíme do střední polohy a pomocnými trimry 470 Ω a 47 kΩ určíme nejdřív vhodné odpory  $R_{31}$  a  $R_{33}$  (budou záviset na vlastnostech Zenerovy diody  $D_5$ ). Príslušné odpory  $R_{31}$  a  $R_{33}$  zapájíme do desky a trimry  $P_1$  a  $P_2$  kalibrujeme odporové rozsahy podle známých přesných odporů. Tím je seriéni celého číslicového multimetru skončeno a po vestavění do skřínky je přístroj připraven k použití.

## Závěr

Zveřejnění konstrukce číslicového multimetru v AR sleduje dva hlavní cíle. V první řadě seznamuje podrobně čtenáře s problémy, které se při konstrukci měřicího přístroje tohoto typu nevyhnutelně dostaví, a uvádí příklady jejich racionálního řešení, vycházející z praktických zkušeností, získaných mnohaletou prací na vývoji měřicích přístrojů stejněho charakteru.

Za druhé je amatérům (dostatečně vybaveným znalostmi a materiálními prostředky) poskytnuta možnost vybavit se poměrně dokonalým a velmi užitečným měřicím přístrojem, který umožní podstatně zkvalitnit práci při vývoji jiných zařízení.

I když autoři byli nuteni v celé řadě detailů sáhnout ke kompromisu, je možno konstatovat, že bylo dosaženo žádaných technických vlastností přístroje. Především je třeba ocenit mechanickou i elektrickou ucelenosť konstrukce, velmi dobrou časovou stabilitu a nezávislost na změnách teploty a napájecího napětí (díky výborné stabilitě, nebylo nutné použít jinak celkem obvyklý prvek k nastavení nuly).

Na závěr přejí autoři všem čtenářům, kteří se rozhodnou pro stavbu DMM 1000, stoprocentní úspěch a spokojenosť a nabízejí prostřednictvím redakce svou pomoc při případných potížích.

## Literatura

- [1] Weitz, B. A.: DVM Accuracy: Usable vs Rated. Electronic Instr. Digest, č. 9/1969, str. 8 až 12.
- [2] Baily, T.: Digital Voltmeter Considerations. Instruments & Control Systems, č. 7/1968, str. 95 až 98.
- [3] Daley, F. D.: Analog-to-digital conversion techniques. Electro-technology, č. 5/1967, str. 34 až 39.

**Upozorňujeme čtenáře, že většina pasivních součástí, potřebných ke stavbě multimetru, lze objednat na dobríku v pardubické prodejně TESLA (a to včetně přesných odporů). Součásti lze samozřejmě zakoupit i při osobní návštěvě.**

Objednané součásti je však třeba při doručení převzít, neboť zpětné roztríďování vrácených zásilek dělá prodejně neobyčejně potíže.

Seznam součástek			
<b>Odpory</b>	<b>Diody</b>		
(TR.151, není-li uvedeno jinak)	$R_{70}$	3,3 kΩ	$D_1$ až $D_4$
$R_2, R_3, R_4$	$R_{71}, R_{72}$	680 Ω	$D_5, D_6$
$R_5, R_6, R_8$	$R_{73}$	TR 161, 680 Ω	$D_7, D_{10}$
$R_9$	$R_{74}$	TR 161, 100 kΩ	KZ140
$R_{10}, R_{12}, R_{14}$	$R_{75}, R_{76}$	TR 144, 56 Ω	$D_9$
$R_{16}$	$R_{77}, R_{80}$	3,9 kΩ	KA207
$R_{11}, R_{13}, R_{15}$	$R_{78}$	100 kΩ	KZZ46
$R_{17}, R_{26}$	$R_{79}$	1,8 kΩ	$D_{11}, D_{12}$
$R_{18}, R_{20}$	$R_{81}$	18 kΩ	KY130/150
$R_{21}$	$R_{82}$	6,8 kΩ	KZZ74
$R_{22}$	viz text		KY130/900
$R_{23}$	$R_{83}, R_{85}$	12 kΩ	
$R_{24}$	$R_{86}$	TR 635, 3,3 Ω	KF504
$R_{25}$	$R_{87}$	12 kΩ	KF524
$R_{27}, R_{28}, R_{35}$	$R_{88}$	6,8 kΩ	KF517
$R_{29}$	TR 161, 20 kΩ		KFY18
$R_{30}$	TR 153, 10 MΩ		KC507
$R_{31}$	TR 161, 1,8 kΩ		KC509
$R_{32}$	viz text		KF508
$R_{33}$	TR 161, 0,18 MΩ		KC507
$R_{34}$	viz text		KF517
$R_{35}$	TR 161, 10 kΩ		KC509
$R_{36}$	viz text		KU611
$R_{37}$	3,3 kΩ		
$R_{38}$	TR 153, 0,1 MΩ		
$R_{39}$	TR 152, 10 kΩ		
$R_{40}$	TR 152, 3,3 kΩ		
$R_{41}$	5,6 kΩ		
$R_{42}$	TR 161, 1,8 kΩ		
$R_{43}$	22 kΩ		
$R_{44}$	TR 161, 15 kΩ		
$R_{45}$	viz text		
$R_{46}$	TR 161, 1 kΩ		
$R_{47}, R_{48}$	TR 161, 8,2 kΩ		
$R_{49}, R_{50}$	TR 161, 4,7 kΩ		
$R_{51}, R_{52}$	TR 161, 20 kΩ		
$R_{53}$	viz text		
$R_{54}$	TR 161, 30 kΩ		
$R_{55}$	1,5 kΩ		
$R_{56}$	10 kΩ		
$R_{57}, R_{58}$	5,6 kΩ		
$R_{59}$	3,3 kΩ		
$R_{60}, R_{61}$	TR 161, 20 kΩ		
$R_{62}$	15 kΩ		
$R_{63}$	2,2 kΩ		
$R_{64}, R_{65}$	TR 161, 10 kΩ		
$R_{66}$	4,7 kΩ		
$R_{67}$	470 Ω		
$R_{68}$	2,2 kΩ		
$R_{69}$	C <sub>1</sub> , C <sub>2</sub> , C <sub>3</sub>	TE 981, 200 μF	OZ <sub>1</sub>
$R_{70}$	C <sub>4</sub> , C <sub>5</sub>	1 nF	OZ <sub>2</sub>
$R_{71}$	C <sub>6</sub> , C <sub>7</sub> , C <sub>8</sub>	4,7 nF	OZ <sub>3</sub>
$R_{72}$	C <sub>9</sub>	2,2 nF	OZ <sub>4</sub>
$R_{73}$	C <sub>10</sub> , C <sub>11</sub>	viz text	E <sub>1</sub>
$R_{74}$	C <sub>12</sub>	TE 984, 20 μF	E <sub>2</sub> až E <sub>4</sub>
$R_{75}$	C <sub>13</sub> , C <sub>14</sub>	TC 276, 0,1 μF	ZM1081 (LL561)
$R_{76}$	C <sub>15</sub>	WK 701 05	ZM1080T
$R_{77}$	C <sub>16</sub>	TE 153, 10 μF	
$R_{78}$	C <sub>17</sub>	TC 180, 2 μF	
$R_{79}$	C <sub>18</sub> , C <sub>19</sub>	TC 180, 2 μF	
$R_{80}$	C <sub>20</sub>	680 pF	
$R_{81}$	C <sub>21</sub>	4,7 nF	
$R_{82}$	C <sub>22</sub>	220 pF	
$R_{83}$	C <sub>23</sub>	2,2 p	
$R_{84}$	C <sub>24</sub>	1 pF	
$R_{85}$	C <sub>25</sub>	TK 782, 0,1 μF	
$R_{86}$	C <sub>26</sub>		
$R_{87}$	C <sub>27</sub>		
$R_{88}$	C <sub>28</sub>		
$R_{89}$	C <sub>29</sub>		
$R_{90}$	C <sub>30</sub>		
$R_{91}$	C <sub>31</sub> až C <sub>33</sub>	TK 986, 200 μF	
$R_{92}$	C <sub>34</sub> , C <sub>35</sub>	TE 984, 20 μF	
$R_{93}$	C <sub>36</sub>	TE 984, 1000 μF	
$R_{94}$	C <sub>37</sub>	TE 981, 50 μF	PřF <sub>1</sub> až PřF <sub>4</sub>
$R_{95}$	C <sub>38</sub>	TE 981, 200 μF	
$R_{96}$	C <sub>39</sub>	TE 992, 20 μF	
$R_{97}$	C <sub>40</sub>		
$R_{98}$	C <sub>41</sub>		
$R_{99}$	C <sub>42</sub>		
$R_{100}$	C <sub>43</sub> až C <sub>45</sub>	TK 782, 0,1 μF	
<b>Tranzistory</b>			
	$T_1, T_2$		
	$T_3$		
	$T_4, T_5, T_6$		
<b>Odporové trimry</b>			
(vesměs TP 111)	$T_7, T_8$		
$R_{11}, R_{12}, R_{14}$	$T_9$ až $T_{12}$		
$R_{15}$	$T_{13}$		
$R_{16}$	$T_{14}$		
$R_{17}$	$T_{15}$		
$R_{18}$	$T_{16}, T_{17}$		
$R_{19}$	$T_{18}$		
$R_{20}$	$T_{19}$		
$R_{21}$	$T_{20}$		
$R_{22}$	$T_{21}$		
$R_{23}$	$T_{22}$		
$R_{24}$	$T_{23}$		
$R_{25}$	$T_{24}$		
$R_{26}$	$T_{25}$		
$R_{27}$	$T_{26}$		
$R_{28}$	$T_{27}$		
$R_{29}$	$T_{28}$		
$R_{30}$	$T_{29}$		
$R_{31}$	$T_{30}$		
$R_{32}$	$T_{31}$		
$R_{33}$	$T_{32}$		
$R_{34}$	$T_{33}$		
$R_{35}$	$T_{34}$		
$R_{36}$	$T_{35}$		
$R_{37}$	$T_{36}$		
$R_{38}$	$T_{37}$		
$R_{39}$	$T_{38}$		
$R_{40}$	$T_{39}$		
$R_{41}$	$T_{40}$		
$R_{42}$	$T_{41}$		
$R_{43}$	$T_{42}$		
$R_{44}$	$T_{43}$		
$R_{45}$	$T_{44}$		
$R_{46}$	$T_{45}$		
$R_{47}$	$T_{46}$		
$R_{48}$	$T_{47}$		
$R_{49}$	$T_{48}$		
$R_{50}$	$T_{49}$		
$R_{51}$	$T_{50}$		
$R_{52}$	$T_{51}$		
$R_{53}$	$T_{52}$		
$R_{54}$	$T_{53}$		
$R_{55}$	$T_{54}$		
$R_{56}$	$T_{55}$		
$R_{57}$	$T_{56}$		
$R_{58}$	$T_{57}$		
$R_{59}$	$T_{58}$		
$R_{60}$	$T_{59}$		
$R_{61}$	$T_{60}$		
$R_{62}$	$T_{61}$		
$R_{63}$	$T_{62}$		
$R_{64}$	$T_{63}$		
$R_{65}$	$T_{64}$		
$R_{66}$	$T_{65}$		
$R_{67}$	$T_{66}$		
$R_{68}$	$T_{67}$		
$R_{69}$	$T_{68}$		
$R_{70}$	$T_{69}$		
$R_{71}$	$T_{70}$		
$R_{72}$	$T_{71}$		
$R_{73}$	$T_{72}$		
$R_{74}$	$T_{73}$		
$R_{75}$	$T_{74}$		
$R_{76}$	$T_{75}$		
$R_{77}$	$T_{76}$		
$R_{78}$	$T_{77}$		
$R_{79}$	$T_{78}$		
$R_{80}$	$T_{79}$		
$R_{81}$	$T_{80}$		
$R_{82}$	$T_{81}$		
$R_{83}$	$T_{82}$		
$R_{84}$	$T_{83}$		
$R_{85}$	$T_{84}$		
$R_{86}$	$T_{85}$		
$R_{87}$	$T_{86}$		
$R_{88}$	$T_{87}$		
$R_{89}$	$T_{88}$		
$R_{90}$	$T_{89}$		
$R_{91}$	$T_{90}$		
$R_{92}$	$T_{91}$		
$R_{93}$	$T_{92}$		
$R_{94}$	$T_{93}$		
$R_{95}$	$T_{94}$		
$R_{96}$	$T_{95}$		
$R_{97}$	$T_{96}$		
$R_{98}$	$T_{97}$		
$R_{99}$	$T_{98}$		
$R_{100}$	$T_{99}$		
<b>Operacní zesilovače</b>			
$OZ_1$	OZ <sub>1</sub>	MAA741	
$OZ_2$	OZ <sub>2</sub>	MAA741	
$OZ_3$	OZ <sub>3</sub>	MAA741	
$OZ_4$	OZ <sub>4</sub>	MAA501	
$OZ_5$	OZ <sub>5</sub>	MAA501	
$OZ_6$	OZ <sub>6</sub>	MAA741	
<b>Digitrony</b>			
$E_1$	E <sub>1</sub>	ZM1081 (LL561)	
$E_2$ až $E_4$	E <sub>2</sub> až E <sub>4</sub>	ZM1080T	
<b>Číslicové integrované obvody</b>			
$IO_1, IO_2, IO_3$	IO <sub>1</sub> , IO <sub>2</sub> , IO <sub>3</sub>	MH74141	
$IO_4, IO_5, IO_6$	IO <sub>4</sub> , IO <sub>5</sub> , IO <sub>6</sub>	MH7475	
$IO_7, IO_8, IO_9$	IO <sub>7</sub> , IO <sub>8</sub> , IO <sub>9</sub>	MH7490	
$IO_{10}, IO_{11}, IO_{12}$	IO <sub>10</sub> , IO <sub>11</sub> , IO <sub>12</sub>	MH7474	
$IO_{13}, IO_{14}, IO_{15}$	IO <sub>13</sub> , IO <sub>14</sub> , IO <sub>15</sub>	MH7440	
<b>Ostatní součásti</b>			
$PřF_1$ až $PřF_4$	PřF <sub>1</sub> až PřF <sub>4</sub>	tlačítkové přepínače	
$Isostat$	Isostat		
$PřF_1$ až $PřF_4$	PřF <sub>1</sub> až PřF <sub>4</sub>	tlačítkové přepínače	
$Isostat$	Isostat		

- [4] Fricke, H. V.: Weniger Storspannung an elektronischen Messgeräten. Elektronik č. 10/1967, str. 305 až 309.
- [5] Dance, J. B.: Digital voltmeters. Industrial Electronics, č. 7/1965, str. 333 až 336.
- [6] Schmid, H.: Digital meters for under 100 dollars. Electronics, 28. 11. 1966, str. 88 až 94.
- [7] Kay, B. G.: Selecting the right digital voltmeter. Electronics, 4. 4. 1966, str. 84 až 90.
- [8] Lange, W. R.: Digital-Analog. Analog-Digital Wandlung. R. Oldenbourg Verlag: München, Wien 1974.
- [9] Conelly, J. A.: Analog integrated circuits. Wiley-Interscience: New York 1975.
- [10] Kime, R. C.: The charge-balancing a-d converter: an alternative to dual-slope integration.
- [11] Jansen, D. J. G.: Delta modulation in DVM design. IEEE Journal of Solid State Circuits, č. 6/1972, str. 503 až 506.
- [12] Dilatosh, E.: Low-cost DVMs-Meteoric Success. EDN č. 3/1968, str. 62 až 71.
- [13] Haas, P.; Knox D.: Noise Rejection In An Integrating DVM. Instruments & Control Systems, č. 12/1966, str. 91 až 92.
- [14] Weitz, B. A.: Digital multimeters-Types, Techniques and Tradeoffs. Electronic Instrument Digest, č. 8/1969, str. 34 až 42.
- [15] Weitz, B. A.: Get the most out of your DVM. DANA Technical Paper, č. 1/1972, 1070.

## POZOR!

Těsně před uzávěrkou jsme získali tuto informaci: prodejna TESLA v Pardubicích dává do prodeje kompletní sadu součástek pro stavbu multimetru (zatím se nedodává pouze IO MAA741, který je přislíben n. p. TESLA Rožnov na začátek roku 1977). Kompletní stavebnice stojí 4510 Kčs + cena desek s plošnými spoji, stavebnice bez integrovaných obvodů stojí 1540 Kčs + cena desek s plošnými spoji. Ve stavebnici je zahrnuta i cena digitronu se znaky, jichž má prodejna zatím na skladě asi 30 kusů.

# UNIVERZÁLNÍ ČÍTAČ

RNDr. Miroslav Švestka, CSc., Jiří Zusek

## Principy měření univerzálním čítačem

Mezi nejpřesnější patří ta stanovení velikostí různých veličin, která jsou založena na principu měření času, kmitočtu a periody. Umožnuje to skutečnost, že lze snadněji realizovat velmi přesné standardy (etalony) kmitočtu než standardy jiných veličin, i to, že metodika měření (porovnávání) je jednoduchá, především při využití možnosti současné elektroniky.

Rozvoj elektroniky a především rozmach výroby integrovaných obvodů (spojený ve světě s přiznivým vývojem jejich cen) způsobil, že tato velmi přesná měření, která byla v minulosti výsadou pouze profesionálních laboratoří, se mohou používat i v radioamatérské praxi. K převažné většině této měření se využívá univerzálních čítačů, - přístrojů, v nichž se kmitočet, perioda, délka impulsu atd. měřeného signálu porovnává se standardním kmitočtem. Výsledná přesnost měření pak závisí především na přesnosti a stabilitě standardního kmitočtu.

### Kmitočtové standardy

Na jakosti kmitočtových standardů závisí, nejen přesnost některých laboratorních měření, ale především řešení různých problémů ve vědě i v praxi, jako jsou např. provoz vysílačů stanic (rozhlas, televize, různé navigační systémy atd.), astronomie, raketo-vá technika a výzkum kosmického prostoru, udržování shodného světového času v různých místech světa atd. Proto je kmitočtovým standardům (etalonům), věnována patřičná pozornost.

Dlouhou dobu se běžně vystačilo se „standardy“ kmitočtu (nebo času), jako byly různé kyvadlové hodiny nebo hodiny se setrvačníkem. Za největší přesnost se považovala přesnost na jednu sekundu, přičemž 1 s byla definována jako 86 400. díl doby potřebné k jednomu otocení Země, než se zjistilo (ovšem mnohem později), že se rychlosť otáčení naší Země během roku pravidelně zrychluje a zpomaluje. Relativní odchyly od kmitočtu otáčení jsou asi  $\pm 1 \cdot 10^{-11}$  a navíc stejněho řádu jsou i nepravidelné odchyly.

V naší amatérské praxi pro méně přesná měření vystačíme se standardy jako jsou kmitočet elektrické sítě, oscilátory  $RC$  a  $LC$  a elektromechanické oscilátory (např. ladičkové). Pro přesnější měření potřebujeme oscilátory řízené krystalem. Méně často již můžeme používat oscilátor s termostata-ným krystalem. Tím naše běžné možnosti končí. Zhvá nám pak ještě jediná možnost – využití některých vysílání etalonových kmitočtů a časových signálů.

Nejpřesnější ze současných kmitočtových standardů jsou kvantové generátory, které slouží jako první etalony. Tak např. kmitočtový standard s césiovým paprskem 5062 C od firmy Hewlett-Packard má přesnost  $\pm 3 \cdot 10^{-11}$  v rozsahu teplot od  $-28$  do  $+65^\circ\text{C}$  a je schopný transportu. Komercně dostupné atomové hodiny dosahují přesnosti  $\pm 7 \cdot 10^{-12}$ , což představuje odchyliku  $\pm 1$  s za minimálně 4530 roků. V laboratořích se běžně dosahuje u atomových kmitočtových standardů přesnosti  $\pm 2 \cdot 10^{-13}$ .

V tab. 1 je přehled různých zdrojů signálů o určitému kmitočtu (popř. času) a jejich přesnosti.

V univerzálních čítačích se užívají standardy kmitočtu s dlouhodobou stabilitou řádu  $10^{-12}$  a lepší. Krátkodobá stabilita (po dobu sekund nebo minut) bývá o dva a více řádů lepší.

### Měření kmitočtu signálu

Měřený signál je upraven vstupním zesilovačem tak, že je převeden na pravoúhlý signál s úrovní vhodnými pro další zpracování číslicovými obvody. Pro obvody TTL jsou to tyto úrovně: úroveň log. 0 – pro vstupy 0 až 0,8 V, pro výstupy 0 až 0,4 V; úroveň log. 1 – pro vstupy 2 až 5 V, pro výstupy 2,4 až 5 V.

Takto upravený signál je přiváděn po přesně určenou dobu na vstup dekadického čítače, tj. obvodu, který počítá v desítkové soustavě, kolik impulsů přišlo na jeho vstup. Je-li doba, po kterou impulsy počítáme (měřicí interval) rovna 1 s, je množství počítaných impulsů rovno právě kmitočtu vyjádřeném v Hz. Měřicí interval je dán periodou signálu odvozeného od vnitřního kmitočtového standardu dekadickým dělením. Blokové schéma přístroje pro měření kmitočtu  $f_s$  je na obr. 1. Kmitočet měřeného signálu můžeme před jeho vstupem do spinače snížit mkrát děličem  $D_1$ .

Rozborem chyb při tomto principu měření se nebudeme podrobně zabývat; pouze uvedeme, že měření je zatíženo chybami, pocházejícími z:

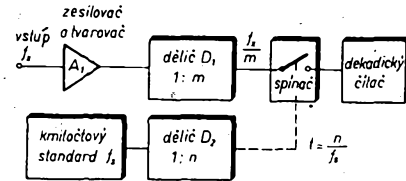
- časové nejistoty  $\pm \tau$  při otvírání a zavírání spinače;
- základní chyby čítačových metod  $\pm 1$  jednotka nejnižšího řádu;
- relativní odchyly kmitočtového standardu od jmenovitého kmitočtu  $\pm \frac{\Delta f_s}{f_s}$ .

Má-li měřicí interval délku  $t = n/f_s$ , pak relativní časová nejistota otvírání a zavírání spinače je  $\pm \frac{\tau}{t}$ . Základní chyba  $\pm 1$  se uplatní (při konečném stavu dekadického čítače  $\frac{f_s}{t}$ ) jako relativní chyba  $\pm \frac{m}{tf_s}$ . Pro celkovou relativní chybu změřeného kmitočtu  $f_s$  pak platí:

$$\pm \frac{\Delta f_s}{f_s} = \pm \frac{\tau}{t} \pm \frac{m}{tf_s} \pm \frac{\Delta f_s}{f_s} \quad (1).$$

Tab. 1. Relativní přesnosti kmitočtových standardů (přibližné údaje)

Zdroj kmitočtu (času)	Relativní přesnost řádu
Kmitočet elektrické sítě	$10^{-2}$
Generátory $RC$	$10^{-3}$
Generátory $LC$	$10^{-4}$
Hodiny (se setrvačníkem)	$10^{-5}$
Elektromechanické oscilátory	$10^{-6}$
Oscilátory řízené krystalem	$10^{-7}$
Oscilátory řízené krystalem v termostatu	$10^{-8}$
Otáčení Země	$10^{-7}$
Kvantové generátory	$10^{-11}$
	$10^{-12}$
	$10^{-13}$



Obr. 1. Blokové zapojení přístroje pro měření kmitočtu

Časová nejistota  $\tau$  závisí na vlastnostech signálu kmitočtového standardu a vlastnostech spinače. První člen  $\frac{\tau}{t}$  rovnice (1) bývá zanedbatelný pro delší měřicí intervaly. Podobně pro delší měřicí intervaly, t. malé  $m$  a vyšší měřené kmitočty  $f_s$  (větší počet impulsů načítaných dekadickým čítačem) bývá i druhý člen zanedbatelný, takže výsledná přesnost měření kmitočtu  $f_s$  závisí pouze na přesnosti použitého kmitočtového standardu.

### Měření poměru kmitočtů

Princip měření poměru kmitočtů je shodný s principem měření kmitočtu. Blokové schéma neuvedeme, protože by bylo obdobné obr. 1. Při tomto měření místo standardního kmitočtu  $f_s$  použijeme vnější signál o kmitočtu  $f_s$ , vůči kterému porovnáváme kmitočet  $f_s$ . Čím přesněji (na více míst) chceme měřit poměr  $f_s/f_s'$ , tím nižší musí být kmitočet  $f_s$ , aby byl měřicí interval  $t = \frac{1}{f_s}$  co nejdélší. Pro zvětšení přesnosti můžeme kmitočet  $f_s$  signálu snížit děličem před jeho příchodem ke spinači.

Pro přesnost měření platí obdobné úvahy jako při měření kmitočtu jen s tím rozdílem, že místo standardního kmitočtu  $f_s$  vystupuje v úvahách kmitočet  $f_s$ . Měření poměru kmitočtů je však příkladem dvoukanálového měření, protože signál o kmitočtu  $f_s$  musí být zpracován vstupními obvody podobně jako signál o kmitočtu  $f_s$ .

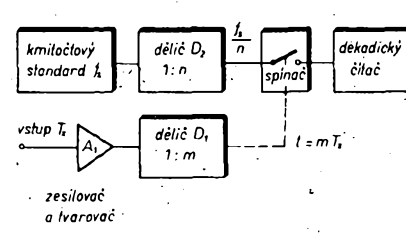
### Měření periody signálu

Uspořádání obvodu modifikujeme tak, že zesílený a tvarovaný vstupní signál (případně ještě dělený mkrát děličem  $D_1$ ) ovládá spinač (obr. 2). Spinač po celou dobu sepnutí ( $t$  (toto doba je množobkem periody  $T_s$  vstupního signálu)) propouští do dekadického čítače signál o kmitočtu  $f_s/n$ , odvozený od kmitočtového standardu  $f_s$ .

Výsledek měření je zkreslen stejnými chybami jako při měření kmitočtu:

- časovou nejistotou  $\pm \tau$  při otvírání a zavírání spinače;
- základní chybou čítačových metod  $\pm 1$  jednotka nejnižšího řádu;
- relativní odchyly kmitočtového standardu od jmenovitého kmitočtu  $\pm \frac{\Delta f_s}{f_s}$ .

Casová nejistota  $\tau$  závisí v tomto případě na úrovni a kvalitě vstupního signálu (na velikosti nutného zesílení, na průběhu signálu a na velikosti rušivých složek) a vlastnostech spinače.



Obr. 2. Blokové zapojení přístroje pro měření periody

Pro relativní celkovou chybu uměřené periody  $T$ , pak platí vztah:

$$\pm \frac{\Delta T}{T} = \pm \frac{t'}{t} + \frac{n_f}{m_f} \pm \frac{\Delta f}{f} \quad (2)$$

Hodnota prvního člena se zmenšuje s prodlužující se dobou měření  $t$ , tj. se zvětšujícím se počtem  $m$  period  $T$ , měřeného signálu (s dělicím poměrem  $1 : m$  děliče  $D_1$ ). Druhý člen, příslušný základní chybě  $\pm 1$ , se zmenšuje při zvětšujícím se  $m$ , avšak zvětšuje se pro rostoucí  $n$  (dělicí poměr  $1 : n$  děliče  $D_2$ )

a pro vyšší kmitočty  $f$ , ( $f_s = \frac{1}{T_s}$ ) měřeného signálu. (Tato chyba by se samozřejmě zmenšovala i se zvýšujícím se standardním kmitočtem  $f_s$ , který však bývá obvykle neproměnný). Třetí člen opět závisí na odchylce standardního kmitočtu  $f$  od jmenovitého kmitočtu.

Rozborem rovnice (2) tedy můžeme zjistit, že se celková chyba měření periody  $T$ , zmenšuje s prodlužující se dobou měření (nastaveným počtem period  $m$ ) a se snižujícím se kmitočtem vstupního signálu. Celková chyba se pak blíží chybě kmitočtového standardu.

Ze srovnání principů měření kmitočtu a periody tedy vyplývá, že měření kmitočtu je vhodnější pro vstupní signály vysokofrekvenční a měření periody naopak pro signály nízkofrekvenční. Měření středních kmitočtů je pak zatíženo srovnatelnými chybami při obou způsobech měření.

#### Měření časového intervalu

Při měření časového intervalu používáme dva kanály pro vstup signálů, zapínajících a vypínajících měření (obr. 3). Tak např. měření časového intervalu může být ovládáno impulzy ze dvou různých obvodů, nebo na oba vstupy přiváděme stejný signál a zesilovače a tvarovače jsou nastaveny tak, že  $A_1$  vytváří spinaci při nábehové hraně vstupního impulsu a  $A_2$  spinaci při týlové hraně vypne. Takto změříme délku jednoho impulsu. Časovou jednotkou je perioda

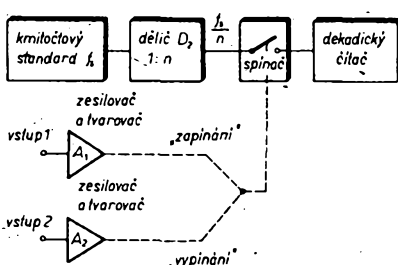
$$T = nT_s = \frac{n}{f_s}$$

odvozená od kmitočtového standardu  $f_s$ .

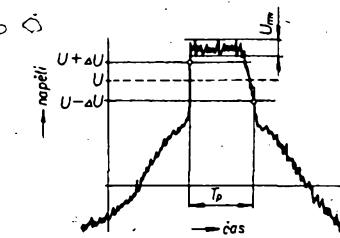
Pro chyby měření zde platí obdobné vztahy jako při měření periody.

#### Pomocné obvody a rozšíření možnosti univerzálních čítačů

Při měření kmitočtu, periody atd. se zpravidla používají stejné obvody, pouze jejich vzájemné propojení, a tedy i výsledná funkce přístroje, jsou řízené. Z praktických i ekonomických důvodů bývá účelně doplnit tyto obvody dalšími přepínači a řidicími obvody, které umožní vytvořit přístroj s všeobecným použitím – univerzální čítač. Pro plné využití jsou univerzální čítače vyhavovány i speciálními obvody. Dále se zmíníme o některých vlastnostech obvodů a úpravách či doplňcích univerzálních čítačů.



Obr. 3. Blokové zapojení přístroje pro dvoukanálové měření časového intervalu



Obr. 4. Příklad měření doby  $T_p$  – části průběhu vstupního signálu nad spinací úrovni  $U$  hysterezi tvarovacího obvodu  $2\Delta U$ . Velikost mezihranolového napětí rušivé složky je  $U_m$

#### Vstupní obvody

– Přístroje širšího použití nemohou být konstruovány tak, aby bylo nutno přivádět na vstup signály s úzkými tolerancemi napětí a průběhu. Proto i univerzální čítače jsou vyhavovány vstupními obvody, které umožňují správnou funkci přístroje při nejrůznějších vstupních signálech.

Minimální vstupní napětí bývá zhruba 20–az 200 mV. Přístroje mívají vstupy pro stejnosměrný i střídavý signál se vstupními impedancemi zpravidla 1 MΩ a 50 nebo 75 Ω.

Vstupní obvody tvarují signál na průběh, vhodný pro další zpracování číslicovými prvky – na impulsy s dostatečně strmými nábehovými i týlovými hranami a s vhodnými úrovněmi. Současně musí tyto obvody umožňovat volbu té části průběhu vstupního signálu, když má začít nebo skončit měření, tj. té části, kdy se signál zvětšuje nebo naopak zmenšuje.

Každý signál obsahuje určitou rušivou složku (brum, šum, atd.), tvarovací obvody se proto většinou navrhují tak, že mají jistý stupeň hystereze, aby se při měření omezil vliv rušivých složek signálu. Tato hystereze  $2\Delta U$  má být větší než mezihranolové napětí  $U_m$  rušivé složky, zvětšování hystereze však zpravidla vnáší do měření chybu, odpovídající např. časové nejistotě  $t'$  při měření periody. Proto někdy bývá možno hysterezu nastavit. Na obr. 4 je příklad měření části periody  $T_p$  nad spinací úrovni  $U$ . Tvarovací obvod s hysterezí  $2\Delta U$  ( $2\Delta U > U_m$ ) spouští měření při úrovni  $U + \Delta U$  vypíná při  $U - \Delta U$ . Obvykle je spinaci úroveň  $U$  rovna 0, vstupní obvody některých univerzálních čítačů umožňují však tuto úroveň měnit v širokých mezech, takže pak měřit např. dobu určité části periody.

Vstupní obvody obsahují též zesilovače, protože je nutno zajistit potřebné vstupní odpory a navíc zesílením vstupního signálu se dosáhne úrovně potřebné pro tvarovací obvody. Současně se zlepšuje strmost průběhu signálu, čímž se zmenšuje chyba měření způsobená časovou nejistotou spinání.

#### Rozšíření kmitočtového rozsahu

Univerzální čítače, které se v současné době vyrábějí, můžeme rozdělit do několika skupin podle kmitočtového rozsahu. V první skupině jsou přístroje, které měří zhruba do 10 MHz, v nichž se používají běžné obvody TTL. V druhé skupině jsou přístroje s kmitočtovým rozsahem zhruba do 100 MHz, u nichž se využívají Schottkyho rychlých obvodů TTL. V další skupině jsou používány obvody ECL, které umožňují měřit přímo i kmitočty vyšší než 1 GHz. V některých přístrojích této skupiny mají i vnitřní kmitočtové standardy vysoký kmitočet, např. 500 MHz. Tyto přístroje, tedy měří s časovým rozlišením 2 ns, případně s ještě kratším, při použití různých technik průměrování měření, interpolace atd. Velkou výhodou takových přístrojů je možnost využití jejich velké přesnosti i při měření krátkých dob rychlých impulsů, period atd. U přístrojů s nižším standardním kmitočtem (1 nebo 10 MHz) se při přesných měřeních musí prodlužovat

doba měření, a tak při měření proměnných vstupních signálů nedostáváme okamžité údaje, ale výsledky jsou průměry za dobu měření (např. tisíc period). Poslední skupinou univerzálních čítačů jsou pak přístroje, které na základě směšování fázové „zamknutých“ obvodů (PLL) atd., umožňují měřit velmi přesně kmitočty přes 20 GHz.

#### Opakování měření

Na univerzálních čítačích je možno nastavovat kmitočet opakování měření. Je-li naměřený údaj registrován nebo zpracován on-line např. počítačem nebo stolním kalkulačkou, může být měření opakováno mnohokrát za vteřinu. Při běžném měření však musí být změněný údaj zobrazován po dobu dostatečnou k jeho opsání (nebo alespoň po dobu nutnou k určení trendu měření). Proto bývá možno nastavit dobu, po níž teprve začne další měření, v rozmezí deseti až desítek sekund.

Chceme-li měřit pouze občas a navíc právě ve zvoleném okamžiku, mívají čítače možnost spouštět ručně jednorázová měření (i dálkově z jiného přístroje, počítače atp.).

#### Využití signálů standardních kmitočtů

Univerzální čítače mají výstupy signálu standardního kmitočtu a zpravidla i kmitočtu, získaných dekadickým dělením. Pravoúhlý výstupní signál se stabilizuje a přesností danou vnitřním standardem, můžeme využít k jiným měřením, synchronizaci, k časové kalibraci atd.

#### Kontrola správnosti funkce

Přivádíme-li vnitřní signál, standardního kmitočtu na vstup přístroje přepnuteho na měření kmitočtu, zobrazuje se na displeji číslo  $n$ , tedy číslo, jímž je standardní kmitočet  $f$ , dělen děličem  $D_2$  (obr. 1). Protože mohou být mnoha deseti (1, 10, 100 atd.), zobrazí se totéž číslo, je-li funkce univerzálního čítače správná, na displeji. Není to však kontrole přesnosti a stability zdroje standardního kmitočtu! Některé univerzální čítače (např. Tesla BM445E) mají tuto kontrolu přímo jako jednu polohu funkčního přepínače (vnitřní kontrola správnosti funkce). Jinak lze k vnější kontrole správnosti funkce využít vývodu dekadickým dělením signálu vnitřního kmitočtového standardu přivedením tohoto signálu zpět na vstup přístroje.

#### Čítač

Univerzální čítač lze samozřejmě používat jako čítač, tj. jako přístroj, který počítá impulsy (při tomto měření se zdroj signálu standardního kmitočtu nepoužívá). Začátek a konec měření se volí ručně pomocí tlačítka Start a Stop (i dálkově z jiných přístrojů).

#### Předvolba

Některé přístroje jsou doplněny i předvolbou téhož stavu displeje, při němž se má zapnout, vypnout nebo přepnout určitý obvod, přístroj, spotřebič atd. Přitom univerzální čítač může pracovat jako čítač, měří periody nebo časové intervaly. Předvolené číslo se nastavuje přepínačem (někdy i dálkově elektricky, např. v kódu BCD).

Popisované funkce univerzálního čítače lze dosáhnout několika způsoby:

- Použitím zvláštního obvodu pro porovnávání (komparaci) stavu obvodu dekadického čítače s hodnotou předvoleného čísla;
- použitím dekadického čítače, který v sobě zahrnuje obvod podle bodu a);
- použitím dekadického čítače s možností nastavení.

K bodu b) cheeme jako příklad uvést čtyřicetivodový integrovaný obvod P-MOS MK50395N firmy Mostek, který v sobě zahrnuje šestidekádový vratný synchronní čítač s možností nastavování stavu, šestimístný (24bitový) komparátor s registrarem pro uložení předvoleného čísla, strobovaný výstup v kódu BCD 8421 i v sedmsegmentovém kódu atd. Obvod je schopen zpracovávat vstupní signály obecného průběhu do kmitočtu 1 MHz.

Při použití integrovaných obvodů – dekadických čítačů s možností nastavení (např. s připraveným obvodem MH74192), můžeme požadovaného způsobu činnosti dosáhnout dvojím způsobem:

- při čítání dekadického čítače vpřed se na počátku nastaví jednotlivé obvody do stavu odpovídajícího doplňku příslušné číslice daného řádu do 9 a do 10 v řádu jednotek. Např. předvolime-li u šestidekádového čítače číslo 123, nastavíme před započetím čítání jednotlivé obvody do stavu 999877, takže po načítání 123 (proběhnutí 123. periody) se všechny dekadické čítače dostanou do stavu 0, čehož se využije k dalšímu zpracování;
- čítá-li dekadický čítač zpět, nastavíme na počátku přímo předvolené číslo. Postupným odčítáním se dosáhne stavu 0 na všech řádech po průchodu předvoleného počtu impulů (proběhnutí předvoleného počtu period).

#### Výstupní obvody

Novější univerzální čítače jsou vybavovány výstupními obvody, které umožňují jejich připojení k dalším přístrojům a zaručují potřebnou vzájemnou součinnost. Některé výstupy slouží pouze určitému způsobu použití (speciální tiskárna, dálkové řízení měření atd.). Stále více univerzálních čítačů však má výstupy, které umožňují využití těchto přístrojů v měřicích i řídicích soustavách spolu s malými počítači a kalkulačory (systém HP Interface Bus).

#### Digitalní měření elektrických veličin

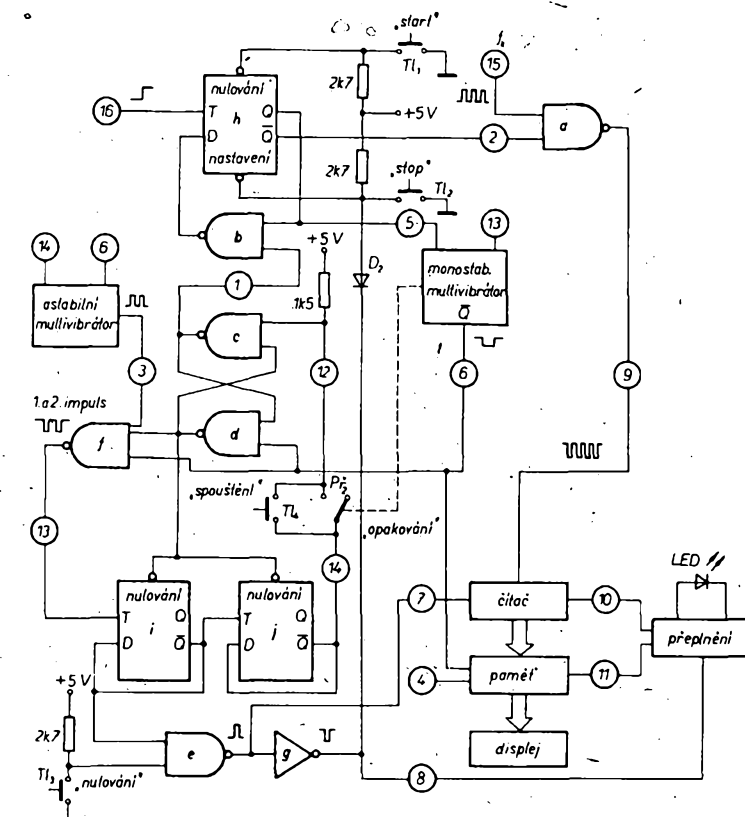
Některé univerzální čítače obsahují i obvody pro digitální měření napětí. Využívají se zde přesnosti měření kmitočtu a faktu, že lze poměrně snadno realizovat přesné převodníky napětí – kmitočet. Tyto převodníky jsou pomalé, pro běžná měření to však není na závadu, protože měření trvají jednu desetinu sekundy, nejvyšší jednu sekundu. Jejich přednosti jsou: nízké ceny (již od několika dolarů), dostatečná přesnost (odchylnka od linearity dokonce pouze  $\pm 0,005\%$ , přesnost až  $\pm 0,1\%$  vstupního napětí, což odpovídá až 13bitovému binárnímu převodu) a možnost časové integrace vstupního signálu, tj. možnost získat velikost plochy, omezené křivkou proměnného vstupního napětí na jedné straně a časovou osou na straně druhé, pro vymezený časový interval.

#### Popis činnosti univerzálního čítače

##### Funkce řídicího obvodu

Řídicí obvod univerzálního čítače, který řídí pravidelné střídání jednotlivých kroků měřicího cyklu (vlastní měření, zobrazení výsledků a příprava dalšího měření), je sestaven z několika logických obvodů (obr. 5) a vychází ze zapojení [1].

Měří-li univerzální čítač např. kmitočet, připojí se vstupními obvody upravený signál  $f_1$  na vstup dvouvstupového hradla  $a$  (bod 15). Během vlastního měření, kdy je na druhém vstupu hradla  $a$  úroveň H (v dalším textu budeme shodně se zvyklostmi označovat)



Obr. 5. Základní schéma řídicího obvodu univerzálního čítače s dalšími obvody

vat úroveň log. 1 písmenem H – high, vysoký a úroveň log. 0 písmenem L – low, nízký), procházejí impulsy  $f_1$  hradlem  $a$  a vstupují do dekadického čítače. Dobu vlastního měření, tj. dobu, po níž je otevřeno hradlo  $a$ , určuje signál, ovládající klopného obvod  $D$ . Výstup  $\bar{Q}$  tohoto klopného obvodu typu D otvírá nebo zavírá hradlo  $a$ . Je-li např. na výstupu  $\bar{Q}$  klopného obvodu H úroveň H po dobu 1 s., počet impulsů zaznamenaných čítačem je přímo roven kmitočtu, vyjádřenému v Hz.

Výklad činnosti popisovaného obvodu začneme ve fázi vlastního měření. Výstupy obvodu  $h$  mají úrovně  $\bar{Q} = H, Q = L$ . Protože na jednom vstupu dvouvstupového hradla  $b$  je úroveň L, je na výstupu D připojeném k výstupu hradla  $b$ , úroveň H. Na výstupu  $t_6$  se přivádějí hodinové impulsy, které určují začátek a konec časového intervalu, v němž se měří kmitočet. Koncem hodinového impulsu (přechodem úrovně z L na H), kterým se končí vlastní měření, změní se stav výstupů  $Q$  a  $\bar{Q}$  obvodu  $h$ . Hradlo  $a$  se uzavře a na vstupu monostabilního multivibrátoru se změní stav z 1, na H. Tím se monostabilní multivibrátor překlopí a na jeho výstupu  $\bar{Q}$  bude úroveň L po dobu určenou konstantou  $RC$  tohoto obvodu. Doba překlopení monostabilního obvodu prakticky určuje opakovací dobu měření, a tedy i kmitočet, s nímž se na displeji objevují další nové údaje. Tuto dobu bývá možno nastavit v rozmezí deseti až desítek sekund.

Klopny obvod R-S, tvořený hradly  $c$ ,  $d$ , je vždy během vlastního měření ve stavu: výstup hradla  $c$  na úrovni H, výstup hradla  $d$  na úrovni L. Výstup hradla  $d$  je připojen též k jednomu vstupu trívstupového hradla  $f$  a k nulovacím vstupům dvou klopých obvodů typu D ( $i, j$ ). Proto až do konce měřicího intervalu (do začátku překlopení monostabilního multivibrátoru) je trívstupové hradlo  $f$  uzavřeno a klopné obvody  $i, j$  jsou nulovány (na jejich výstupech  $Q$  je úroveň L). Výstup  $\bar{Q}$  klopného obvodu  $j$  je připojen ke vstupu hradla  $c$  přes prepínač  $P_{15}$  (obr. 5). Na vstupech R-S klopného obvodu jsou tedy během vlastního měření úrovně H.

Překlopení monostabilního multivibrátoru způsobi i překlopení klopného obvodu R-S. Výstup hradla  $c$  má pak úroveň L, výstup hradla  $d$  úroveň H. Od tohoto okamžiku přestanou být klopné obvody  $i, j$  nulovány a na příslušném vstupu trívstupového hradla  $f$  se objeví úroveň H. Současně se však na dalším vstupu trívstupového hradla  $f$ , připojeném k výstupu  $\bar{Q}$  monostabilního obvodu, objeví úroveň L. Proto i nadále zůstává během celé doby překlopení monostabilního multivibrátoru trívstupové hradlo  $f$  uzavřeno a na jeho výstupu je úroveň H.

Výstup monostabilního multivibrátoru též ovládá paměť, která uchovává stav čítače (naměřený údaj) z předcházejícího měření. Stav čítače se přepíše do paměti během překlopení monostabilního multivibrátoru.

Překlopení monostabilního multivibrátoru se na výstupu  $\bar{Q}$  objeví opět úroveň H. Stav klopného obvodu R-S se nezmění, a tak na obou vstupech trívstupového hradla  $f$  bude nyní úroveň H. Stav výstupu trívstupového hradla  $f$  bude určován proto třetím vstupem tohoto hradla; na tento vstup se přivádějí impulsy obdélníkovitého průběhu. Oba klopné obvody  $i, j$  mají vstup D spojený s výstupem  $\bar{Q}$ , na nichž je před příchodem prvního impulsu úroveň H. Týlovou hranou prvního impulsu, který projde trívstupovým hradlem  $f$ , se změní stav klopného obvodu  $i$  (při změně úrovně z L na H na hodinovém vstupu T). Na jeho výstupu  $\bar{Q}$  se objeví úroveň L (a tedy i na hodinovém vstupu T dalšího klopného obvodu  $j$  a výstupu hradla  $e$ ). Výstupem hradla  $e$  (úrovni H) je pak nulován čítač. Druhý vstup hradla  $e$  je připojen přes odpor k napájecímu napětí +5 V (úrovni H). Tlačítkem  $T_h$  můžeme tento vstup přechodně připojit na úroveň L, a tak kdykoli v průběhu vlastního měření toto měření ukončit, vynulovat současně dekadické čítače (paměti pak uchovávají informace o čísle nula v kódu BCD 8421 a na displeji jsou zobrazeny samé nuly) a po překlopení monostabilního multivibrátoru je celý obvod připraven na nové měření.

V popisovaném přístroji byly všechny

Tab. 2. Fáze cyklu měření

Obvod	Vývod	Vlastní měření	Impuls-konec měření	Překlopení monostab. MV	Během 1. impulsu	Mezi 1. a 2. impulsem	Během 2. impulsu	Po 2. impulsu	Impuls-začátek měření	Po 2. impulsu (Pří rozpojení)
h	Q	0	0	1	1	1	1	1	1	1
	$\bar{Q}$	1	1	0	0	0	0	0	0	0
	D	1	1	1	1	1	1	0	0	1
	T	1	0	1	1	1	1	1	0	1
a	výstup			1	1	1	1	1	1	1
monostab.	$\bar{Q}$									
multivib.										
c	výstup	1	1	0	0	1	1	1	1	1
d	výstup	0	0	1	1	0	0	1	1	0
i	T	1	1	1	0	1	0	1	1	1
	$D = \bar{Q}$	1	1	1	1	0	0	1	1	1
j	$D = \bar{Q}$	1	1	1	1	1	1	$0 \rightarrow 1$	1	0
e	výstup	0	0	0	0	1	1	0	0	0
g	výstup	1	1	1	1	0	0	1	1	1
Indikace řáze cyklu		svítí			nesvítí			svítí slabě		nesvítí

Poznámka: monostab. MV monostabilní multivibrátor

obvody navrženy tak, aby bylo možno použít pouze jednoduchá spínací tlačítka, protože rozpinaci nebo přepínací tlačítka nejsou u nás běžně k dostání.

Současně s nulováním čítače se nastaví i klopný obvod **h** (výstup Q má úroveň H) impulsem úrovně **L** z výstupu invertoru **g**. Nehýb-li přerušen cyklus měření, klopný obvod **h** má shodný stav již od skončení předcházejícího vlastního měření.

Stlačením tlačítka  $T_1$  nebo  $T_2$  (obr. 5) se nezávisle na stavu logiky řídicího obvodu překlopí obvod  $h$  do příslušného stavu (výstup  $\overline{Q}$  má úroveň  $H$  po zmáčknutí tlačítka  $T_1$ , a úroveň  $L$  po zmáčknutí  $T_2$ ) a otevře se (nebo naopak užavře) hradlo **a**. Ovládání činnosti této tlačítka se uplatní, pracuje-li přístroj jako čítač, při ručním měření časového intervalu atd.

Z výstupu invertoru  $g$  se též ovládá indikace přepínání stavu čítače. Aby nebyl výstup invertoru  $g$  zatěžován při stlačení tláčítka  $T_1$ , aby současně nebyla zpětné ovládána i indikace přepínání, jsou vstup „nastavení“ obvodu  $h$  spolu s tláčítkem  $T_1$  připojeny k výstupu invertoru  $g$  přes diodu  $D_1$  (germaniová dioda se zlatým hrotem, aby úbytek napětí na diodě v propustném směru byl co nejmenší a aby napětí na vstupu „nastavení“ bylo při úrovni 1 menší než 0,7 V).

Jak bylo již řečeno, změní se po prvním impulsu stav klopného obvodu i tak, že na výstupu  $\bar{Q}$  (a tedy i na hodinovém vstupu T klopného obvodu j) bude úroveň L. Průchodem druhého impulsu trívstupovým hradlem f se s týlovou hranou impulsu opět změní stav na hodinovém vstupu T klopného obvodu i z úrovni L na H a tento klopný obvod se překlopí do stavu Q = L, protože na vstupu D byla úroveň L. Změnou úrovni na výstupu  $\bar{Q}$  klopného obvodu i z L na H se nyní překlopí klopný obvod j, který měl na vstupu D úroveň H.

Nulování dekád čítače a ovládání indikace přeplnění je tedy skončeno a z výstupu Q klopného obvodu j přichází nyní úroveň L na vstup dvoustupového hradla e v klopném obvodu R-S (přepínací P<sub>f</sub> je sepnut – vlastní měření se cyklicky opakuje). Tím se klopný obvod R-S překlopí a na výstupu dvoustupového hradla d je úroveň L. Třivstupové hradlo f se uzavře a úroveň L na vstupech při nulování klopných obvodů i, j klopné obvody vynulují. Výstupy Q pak mají úroveň L. (Přesněji řečeno, překlopí se pouze klopný obvod j, protože druhý klopný obvod i se již v tomto stavu nachází). Na vstupu dvoustupového hradla c, spojeném s výstupem Q klopného obvodu j, je tedy,

úroveň H. (Předpokládáme, že  $P_2$  je sepnut).

Stav klopného obvodu R-S, klopných obvodů i, j a třístupňového hradla f je tak shodný se stavem při vlastním měření.

U dvouvstupového hradla b je nyní úroveň H na vstupu připojeném k výstupu hradla c, i na vstupu spojeném s výstupem Q klopného obvodu h. Na vstupu D klopného obvodu h je úroveň L, hodinovým impulsem na vstupu T klopného obvodu h se tento obvod znova překlopí a začne nový časový interval vlastního měření.

Popsali jsme jeden měřicí cyklus. V tab. 2 jsou úrovně v jednotlivých významných bozech obvodu během celého měřicího cyklu. Na dolním konci tabulky je vyznačena indikace fáze cyklu – údaj o tom, kdy a jak intenzivně svítí kontrolka, která nás informuje, probíhá-li příprava dalšího měření (včetně zpoždění začátku vlastního měření mo-nostabilním multivibrátorem), je-li obvod připraven na další měření, ale nepřišel-li dosud na vstup T klopného obvodu k hodinový impuls spouštějící měření, nebo je-li již hradlo a otevřeno a probíhá-li měření.

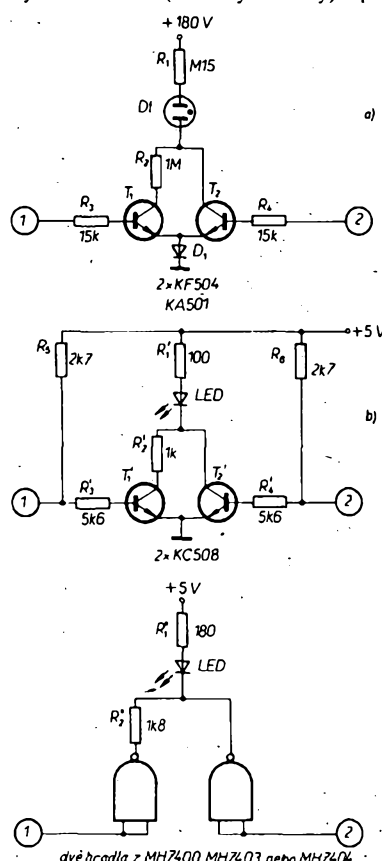
Jednoduchý obvod, který touto užitečnou informaci poskytuje, je na obr. 6. Jako indikační prvek je použita doutnavka nebo dioda LED. Žárovka není vhodná, protože nesmí indikovat krátké časové intervaly pro velkou tepelnou kapacitu vlákná. Ze zapojení na obr. 6c je zřejmé, že lze použít i nevyužité systémy logických prvků čítace – hradla (též s otevřeným kolektorem) a invertové. Obvod k indikaci fáze měřicího cyklu se připojuje k řídicímu obvodu v bodech 1 a 2 (obr. 5).

### **Monostabilní multivibrátor**

Obvod monostabilního multivibrátoru může být realizován integrovaným obvodem např. SN74121 nebo z našich součástek podle obr. 7. Čtyři dvouvstupová hradla I s tranzistorem  $T_3$  tvoří vlastní monostabilní multivibrátor. Změnou úrovnič H na L na vstupu dvouvstupového hradla I se změní i úroveň výstupu 6 tohoto hradla na L. K výstupu je připojen kondenzátor  $C_1$ . Transistor  $T_3$ , který byl do této doby otevřen, se uzavře a napětí na jeho kolektoru má úroveň H. Tento stav trvá do té doby, než se kondenzátor  $C_1$  vybije přes potenciometr  $P_1$  a odpor  $R_o$ . Tato doba, úměrná časové konstantě  $(P_1 + R_o)C_1$ , a tedy i nastavení potenciometru  $P_1$ , je přibližně 0,3 až 6 s. Na jejím konci se napětí na kolektoru tranzistoru  $T_3$  pozvolna zmenšuje. Aby měl výstupní

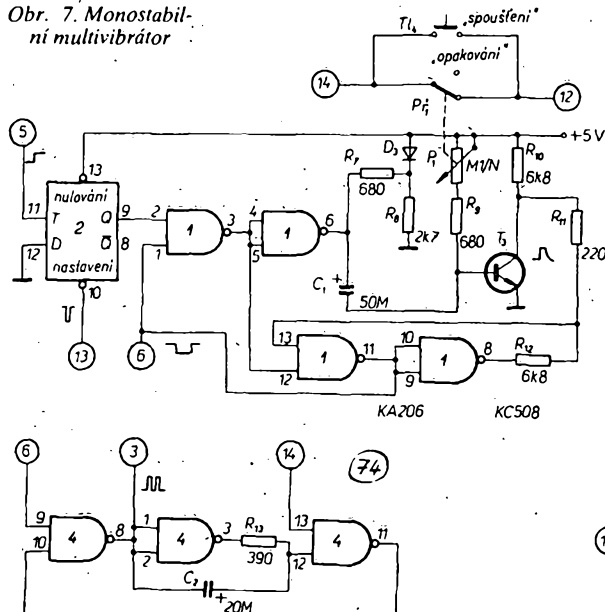
signál v bodu 6 dostatečně strmě hrany (pro zpracování v dalších číslicových obvodech), je zapojení doplněno Schmittovým klopním obvodem ze dvou dvouvstupových bradél J

V obvodu monostabilního multivibrátoru je použit lineární potenciometr  $P_1$  se spínačem (Př. z obr. 5). Potenciometr  $P_1$  je zapojen tak, že v poloze, kdy je spínač rozpojen, odpor mezi začátkem odporové dráhy a sběračem je nejménší. Doba překlopení monostabilního multivibrátoru je tedy velmi krátká (desetiny sekundy) a pak



Obr. 6. Obvod pro indikaci fáze měřicího cyklu; a) obvod s doutnavkou, b), c) obvody s LED

Obr. 7. Monostabilní multivibrátor



Obr. 8. Klíčovaný astabilní multivibrátor

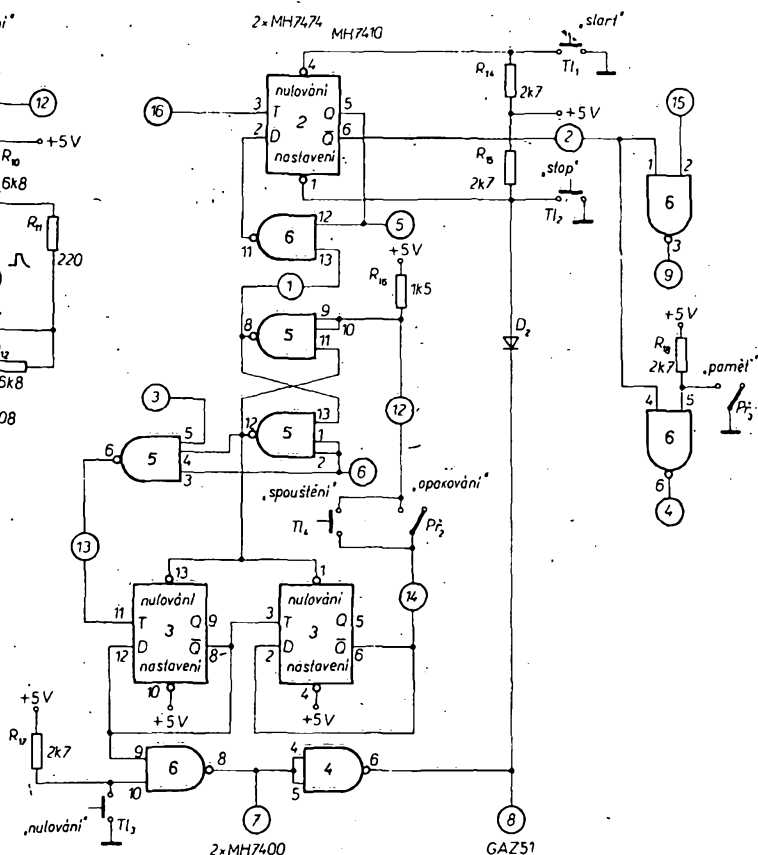
iuhed proběhne sekvence kroků, během níž se obvody připraví na další vlastní měření. Táto sekvence však neproběhne až do konce, je-li rozpojen spinac. Rídící obvod zůstane ve stavu, popsaném v posledním sloupci tab. 2. Teprvé krátkodobým stlačením tlačítka  $T_1$  se obvod dostane do režimu, vyjádřeného stavu ve sloupci „Po 2. impulsu“ a může opět začít fáze vlastního měření. Takto lze ručně ovládat jednotlivé měřicí intervaly.

Je-li časový interval vlastního měření velmi krátký a probíhá-li měření opakováně, nestacił by se vždy monostabilní multivibrátor plně zotavit po předchozím překlopení (kondenzátor  $C_1$  by se nestacił vždy nabít přes diodu  $D_3$  a odpór  $R_7$  na plné napětí) a doba překlopení by se podstatně zkrátila. Proto musíme monostabilnímu obvodu zaručit dostatečnou dobu na zotavení. Vyloučíme-li možnost dlouhých (desetina sekundy a více) doh vlastního měření, zbyvá pouze zaručit minimální dobu mezi koncem překlopení monostabilního multivibrátoru a dokončením přípravy k dalšímu měření (vynulování klopného obvodu  $J$ , obr. 5). Proto je před monostabilním multivibrátorem klopný obvod typu D (obvod 2), který má během vlastního měření na výstupu Q úroveň H. Konec vlastního měření vyvolá na vstupu T tohoto klopného obvodu změnu úrovně z L na H, a tak i změnu úrovně z H na L na výstupu Q. Tím je aktivován monostabilní obvod. Po překlopení monostabilního obvodu, kdy se otevře trojstupové hradlo f, první invertovaný impuls, který tímto hradlem projde, obnoví na výstupu Q klopného obvodu 2 opět úroveň H a kondenzátor  $C_1$  se může nabít na požadované napětí.

### A stabiliti multivibrátor

Volbou délky periody astabilního multivibrátoru (rádově setiny sekundy) získáme dostatečně dlouhou dobu k zotavení monostabilního multivibrátoru.

Pro správnou funkci řídicího obvodu musí být astabilní multivibrátor klíčován. Musí začít svou periodou ihned po zpětném překlopení monostabilního multivibrátoru a po průchodu druhého impulsu trojstupňovým hradlem  $f$  (tj. po překlopení klopného obvodu  $i$ ) musí generování impulsů skončit, ne-



Obr. 9. Zapojení řídícího obvodu univerzálního čítače

bof jinak při ručním spouštění měření (rozpojený spináč  $P_r$ ) by se klopné obvody i, j neustále překlápely. Schéma klíčovaného astabilního multivibrátoru je na obr. 8.

Zapojení řídícího obvodu je na obr. 9. Dvouvstupové hradlo (část obvodu 6), jehož výstup je označen jako bod 4, slouží k ovládání paměti. Při rozpojeném přepínači  $P_1$  je v době vlastního měření v bodě 4 úrovně L. Sepnutím přepínače  $P_1$  (vstup 5 hradla 6 je připojen k 1), je v bodě 4 trvale úrovně H.

Dekadický čítač paměti, dekodér a displej

**Dekadicí čítač, paměť, dekodér a displej**  
 Obvody paměti spolu s dekadickým čítacím, dekodérem a šestimístným displejem jsou na obr. 10. Šest čtyřbitových strádáčů 8 až 12 (6x MH7475) je ovládáno z výstupu dvou paralelně spojených systémů čtyrvstupových výkonových hradel 7 (MH7440). Výkonová hradla, každé se zatížitelností výstupu až 30 vstupů hradel, musí zde být použita proto, že každý hodinový vstup  $H_{1,2}$  společný vždy pro dva systémy (strádáče dvou bitů), zatěžuje výstup obvodu z proudem, odpovídajícím čtyřem vstupům hradel (tj. pro šest dekád celkem 48). Výkonová hradla 7 jsou řízena signálem z hodů 4 a 6. Po dobu překlopení monostabilního multivibrátoru se tedy na vstupech 4 a 10 výkonových hradel 7 objeví úroveň L, a tedy na všech hodinových vstupech  $H_{1,2}$  a  $H_{3,4}$  úroveň H. Na vystupech  $Q_1$  až  $Q_4$  čtyřbitových strádáčů 8 až 13 jsou pak úrovně shodné s úrovniemi na příslušných vstupech  $D_1$  až  $D_4$ . Po překlopení monostabilního multivibrátoru výstupy Q již „nekopírují“ stav vstupů D, ale zachovají si (pamatují si) úrovně před přechodem  $H \rightarrow L$  na vstupech  $H_{1,2}$ . Takto je uchován stav dekadických čítačů 14 až 19 (6x MH7490) i po jejich vynulování, nebo i v době dalšího vlastního měření. Dekodéry 20 až 25 pak tento zapamatovaný stav vyjádřený v kódu BCD821, změněn na kód 1 až 10, následně ovládají digitrony E a F.

Je-li přepínač  $P_3$  v sepnuté poloze, pak je na displeji zobrazený konečný stav dekadických čítačů (výsledek měření) až do skončení dalšího měření.

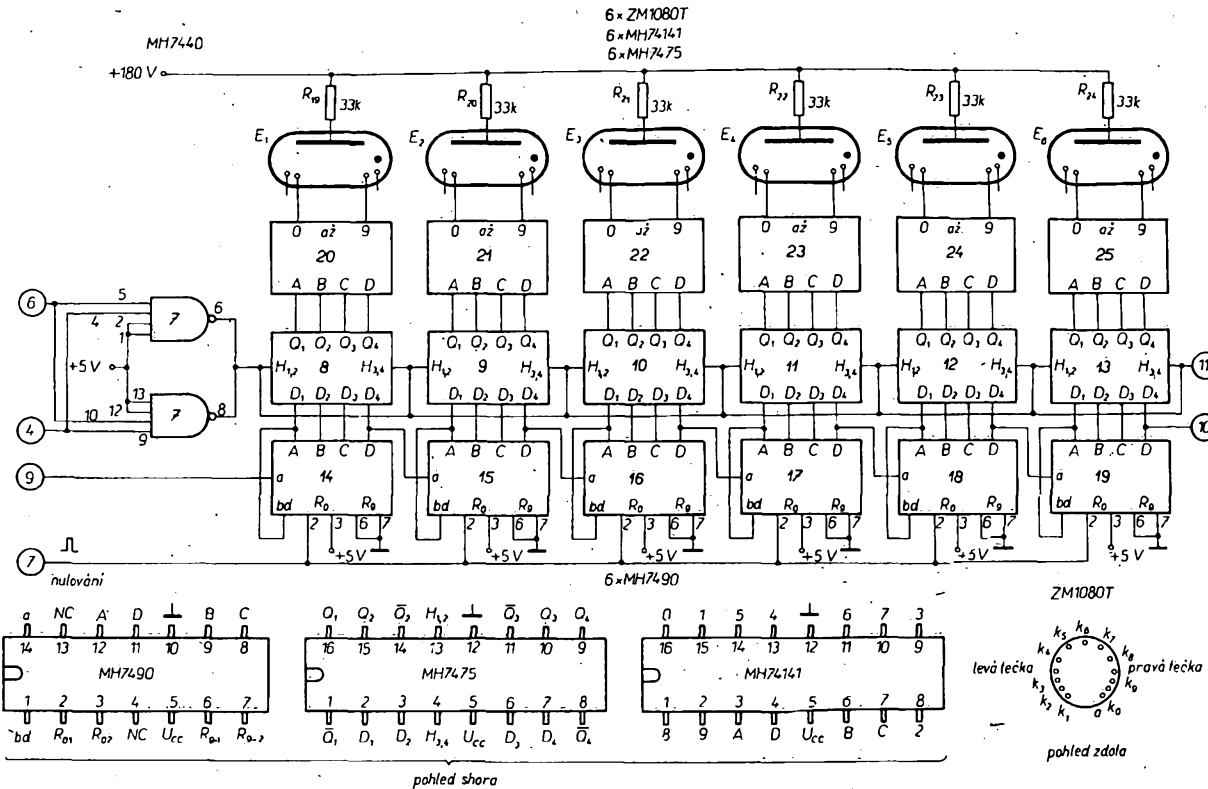
Rozpojený přepínač  $P_1$  pozměňuje činnost paměti a tedy i charakter zobrazení na displeji tak, že čtyřbitové střádače „kopírují“ stav čítačů nejen během překlopení monostabilního multivibrátoru, ale i během celého časového intervalu vlastního měření. Tak můžeme pozorovat během vlastního měření, jak narůstá stav dekadického čítače s rychlos-  
tí úměrnou okamžitému kmitočtu impulsů do  
něj vstupujících. Tento režim je vhodný např.  
při měření časového intervalu, kdy můžeme  
během vlastního měření pozorovat narůstání  
času.

Z bodu 9 přichází signál na vstup prvního dekadického čítače 14. Tento obvod pak udává měřený kmitočet na nejnižším rádu. Každý dekadický čítač poskytuje na svém výstupu signál s kmitočtem desetkrát nižším pro následující dekadický čítač. Jednotlivé dekadické čítače 14 až 19 jsou zapojeny tak, že signál je přiváděn na vstup a (číslo vývodu 14) a výstupní signál je odebírána z výstupu D (vývod číslo 11). Vně obvodu je vazba mezi systémem dekadického čítače, dělícím dvěma a dalším systémem čítače, dělícím pěti. Tato vazba je vytvořena spojem mezi výstupem A a vstupem bd (mezi vývody 12 a 1). Takto zapojený dekadický čítač pracuje v kódu BCD 8421 a na výstupu je nesymetrický signál se střídou 1:4 (pomer doby úrovně H k dobu úrovně L). Na jednotlivých výstupech A, B, C a D (vývody číslo 12, 9, 8 a 11) jsou, při stavu dékadického čítače odpovídajícím číslicím 0 až 9, úrovně podle pravidlostní tabulky, (tab. 3). Nulovací impulsy z bodu 7 jsou přiváděny na nulovací vstup  $R_u$  (vývod 2); na druhém vstupu  $R_u$  je úroveň H a na dvou vstupech  $R_u$  je úroveň

Zapojení i funkce dekadického čítače s pamětí, dekodérem a digitronovým displejem jsou jednoduché, obvody byly již mnohokrát uvedeny v AR i RK, proto je jejich popis zestručněn.

### *Indikace přeplnění*

Univerzální čítače je výhodné doplnit jednoduchým obvodem, který indikuje přeplnění.



Obr. 10. Schéma šestimístného dekadického čítače, paměti, dekodéru a displeje

ní (overflow – „přetěcení“) dekadického čítače, tzn. stav, kdy všechny obvody šestimístného dekadického čítače přešly alespoň jednou přes číslo 999 999 na 000 000 a počítají dál. Indikace se, v souladu s režimem činnosti paměti, ovládá přepínačem  $P_{ř}$  (obr. 9). Je-li tento přepínač sepnut, indikátor přeplnění se rozvíti tehdy, když se mění číslice na displeji z devítek na nuly a indikátor svítí až do začátku dalšího vlastního měření. Není-li přepínač  $P_{ř}$  sepnut, rozvíti se indikátor v okamžiku, kdy se na displeji ukáže údaj nového měření, a to samozřejmě jen tehdy, býl-li během vlastního měření dekadický čítač přeplněn.

Doporučené dvě varianty obvodu k indikaci přeplnění jsou na obr. 11. V první variantě (obr. 11a) se používají pouze dva číslicové obvody (klopny obvod J-K typu MH7472 a čtyřbitový střídač MH7475), tato varianta je dražší. Ve variante podle obr. 11b se kromě číslicových obvodů (dvouvstupová hradla MH7400) používají několik diskrétních součástek.

Při přechodu stavu dekadického čítače z 999 999 na 000 000 se na výstupu D dekadického čítače 19 (hod 10) mění úroveň z H na L, což vyvolá překlopení klopného obvodu J-K nebo R-S a na výstupu Q se objeví úroveň H (u obvodu 27 na výstupu 6 a u obvodu 28 na výstupu 8). Objeví-li se

úroveň H v hodě 11, „překopíruje“ se úroveň ze vstupu D, obvodu 26 na výstup Q1 (obr. 11a) nebo se překlopí klopny obvod R-S tvořený hradly 29 a na výstupu Q (vývod 6) se obdobně objeví úroveň H (obr. 11b). Tak jsou v době, kdy má být indikováno přeplnění, v hodech 17 a 18 úrovně H a L.

Současně s vynulováním dekadických čítačů 14 až 19 se nuluje klopny obvod J-K nebo obvod R-S tvořený dvouvstupovými hradly 28 a na příslušných výstupech Q (u obvodu 27 vývod 8 a u klopného obvodu R-S vývod 6) je znovu úroveň L. Ná výstupech 17 a 18 se však úrovně nemění.

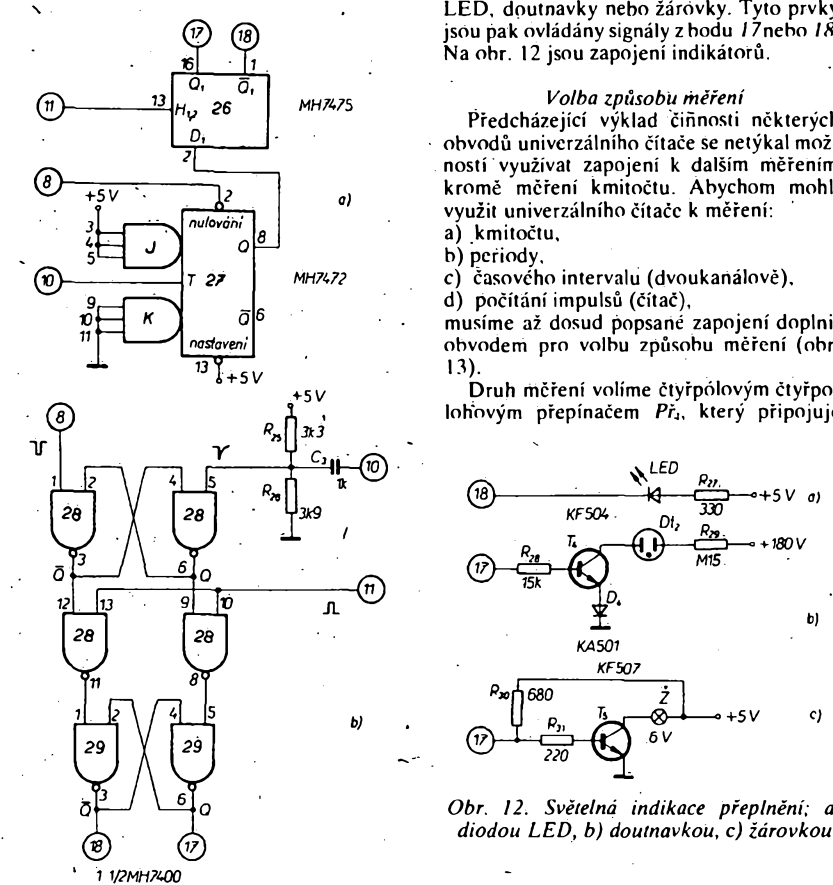
K světlé indikaci můžeme použít diody LED, doutnavky nebo žárovky. Tyto prvky jsou pak ovládány signály z bodu 17 nebo 18. Na obr. 12 jsou zapojení indikátorů.

#### Volba způsobu měření

Předcházející výklad činnosti některých obvodů univerzálního čítače se netýkal možností využití zapojení k dalším měřením kromě měření kmitočtu. Abychom mohli využít univerzálního čítače k měření:

- kmitočtu,
- periody,
- časového intervalu (dvoukanálově),
- doporučené dvě varianty obvodu k indikaci přeplnění jsou na obr. 11. V první variantě (obr. 11a) se používají pouze dva číslicové obvody (klopny obvod J-K typu MH7472 a čtyřbitový střídač MH7475), tato varianta je dražší. Ve variante podle obr. 11b se kromě číslicových obvodů (dvouvstupová hradla MH7400) používají několik diskrétních součástek.

Druh měření volíme čtyřpolovým čtyřpolohovým přepínačem  $P_{ř}$ , který připojuje



Obr. 11. Obvod pro indikaci přeplnění dekadického čítače. Dvě varianty provedení

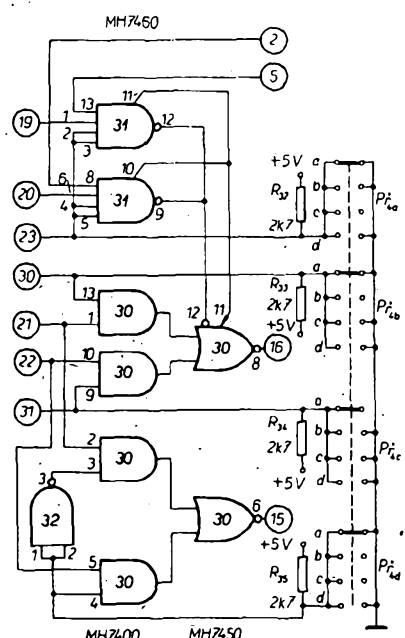
Tab. 3. Úrovně na výstupech A, B, C a D dekadického čítače MH7490 pro číslice 0 až 9 (kód BCD 8421)

Číslice	D	C	B	A
0	L	L	L	L
1	L	L	L	H
2	L	L	H	L
3	L	L	H	H
4	L	H	L	L
5	L	H	H	H
6	L	H	H	L
7	L	H	H	H
8	H	L	L	L
9	H	L	L	H

Obr. 12. Světlá indikace přeplnění; a) diodou LED, b) doutnavkou, c) žárovkou

Tab. 4. Způsob měření a zapojení přepínače  $P_{\text{ř}}$  v polohách a, b, c, d (● kontakty sepnuty)

Polo-ha	Způsob měření	$P_{\text{ř}a}$	$P_{\text{ř}b}$	$P_{\text{ř}c}$	$P_{\text{ř}d}$
a	měření kmitočtu	●			
b	měření periody	●	●		
c	časový interval	●	●	●	
d	čítač	●	●	●	●



Obr. 13. Volba způsobu měření

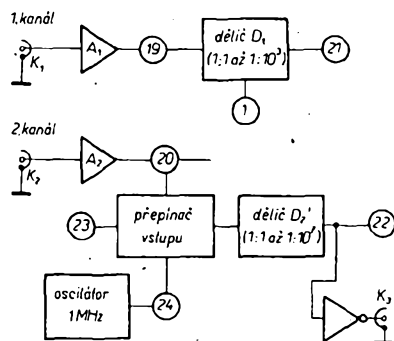
vstupní signály (měřený signál a vnitřní nebo vnější srovnávací signál) k hodům 15 a 16. V tab. 4 je přehledně vyznačeno, které kontakty jsou v dané poloze  $P_{\text{ř}}$  sepnuty.

V poloze a přepínače  $P_{\text{ř}}$ , kdy univerzální čítač měří kmitočet vstupního signálu, jsou v hodoch 15 a 16 pouze invertované signály z bodů 21 a 22. Jak dále zjistíme, signál z bodu 21, přicházející na vstup hradla a (bod na 15), je signál, jehož kmitočet měříme. Na vstupu 22 je pak signál vnitřního standardního kmitočtu, jehož perioda určuje dobu, po kterou je překlopen klopný obvod h otvárající hradlo a (obr. 5). Vstupní body 19 a 20 jsou odpojeny.

V poloze b  $P_{\text{ř}}$  měříme periodu vstupního signálu přicházejícího z bodu 21 na vstup klopného obvodu h, tj. do bodu 16. Po dobu periody měřeného signálu počítáme impulsy vnitřního standardního kmitočtu přicházejícího z bodu 22 na vstup hradla a, tj. do bodu 15. Vstupní body 19 a 20 jsou odpojeny.

V poloze c  $P_{\text{ř}}$  měříme časový interval dvoukanálových. Vnitřní signál standardního kmitočtu prochází z bodu 22 do bodu 15 na vstup hradla a (obr. 5). Do bodu 16 nyní přichází střídavé signály z bodů 19 a 20. Před měřením časového intervalu, kdy výstup Q klopného obvodu h (bod 5) má úroveň H, je k výstupu 16 připojen vstup 19. Signál z kanálu připojeného k bodu 19 zahájí měřený interval, klopný obvod h se překlopí, komplementární úrovňou v bodech 2 a 5 se prohodí a dále je k výstupu 16 připojen vstup 20. Signál z druhého kanálu připojeného k bodu 20 překlopí klopný obvod h zpět, a tak zakončí měřený časový interval.

V poloze d  $P_{\text{ř}}$  pracuje přístroj jako čítač. Začátek časového intervalu, během kterého čítáme impulsy vstupního signálu, je určen



Obr. 14. Blokové schéma vstupní části univerzálního čítače

stačením tlačítka „start“ a konec určen tlačítkem „stop“. Při tomto režimu je připojen signál z bodu 21 na výstup 15. Ostatní vstupy 19, 20 a 22 jsou blokovány a bod 16 má trvale úroveň H.

#### Vstupní část

Abychom objasnilí, jaké signály jsou v bodech 19, 20, 21 a 22, je na obr. 14 blokové schéma vstupní části univerzálního čítače.

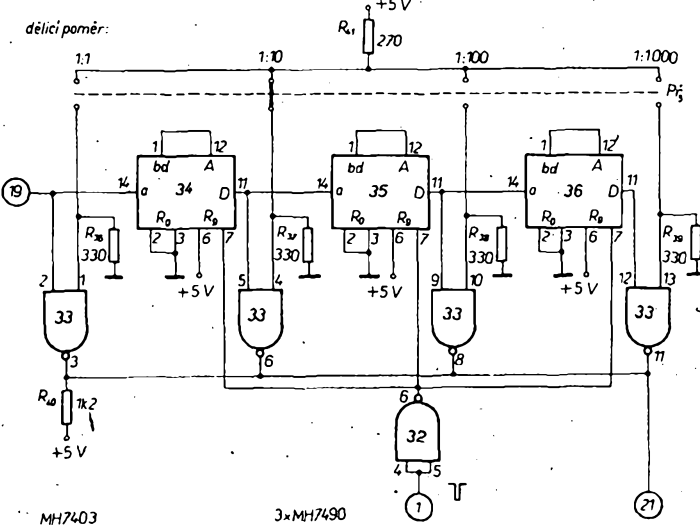
Při všech jednokanálových měřeních používáme vždy pro zpracování měřeného signálu první kanál. Ze vstupního konektoru  $K_1$  přichází signál do zesilovače  $A_1$ . Na výstupu zesilovače  $A_1$  (bod 19) je signál v tvaru obdélníkovitých kmitů s logickými úrovněmi, jehož kmitočet může být dále dekadicky dělen až na jednu tisicinu (bod 21).

Při dvoukanálových měřeních se využívá též druhého kanálu se zesilovačem  $A_2$ . (Oba zesilovače  $A_1$  i  $A_2$  jsou shodné konstrukce.) Výstup zesilovače  $A_2$  (bod 20) je připojen k přepínači, sestavenému z logických obvodů. Tento přepínač přivádí signál z výstupu  $A_2$  nebo z výstupu zdroje signálu standardního kmitočtu (z oscilátoru 1 MHz, řízeného krystalem) na vstup dekadického děliče  $D_1$ . Tento dělič dělí v poměru 1:1 až 1:10<sup>7</sup>.

K výstupu (bod 22) je též připojen oddělovací invertor, na jehož výstupu je konektor  $K_2$ . Z tohoto konektoru, umístěného na předním panelu přístroje, můžeme odebrat signál základního kmitočtu vnitřního kmitočtového standardu a jeho podílu (tj. 1 MHz, 100 kHz, 10 kHz, 100 Hz, 10 Hz, 1 Hz a 0,1 Hz), nebo příslušný podíl kmitočtu z druhého kanálu.

#### Dekadický dělič $D_1$

Zapojení dekadického děliče  $D_1$  je na obr. 15. K dělení jsou použity tři dekadické čítače MH7490, pracující v kódu BCD 8421.



Obr. 15. Dekadický dělič  $D_1$

Všechny tři dekadické čítače jsou nastavovány na stav, odpovídající číslici 9, impulsem úrovně L na vstupu 1. Toto automatické nastavování, odvozené od funkce řídicího obvodu, je výhodné např. pro měření násobku periody vstupního signálu, kdy časový interval měření trvá jednotky, desítky nebo i více sekund. Bez uvedeného nastavování by bylo nutno čekat na začátek dalšího vlastního měření stejnou dobu, jako je doba vlastního měření.

Nejlépe si to osvětlíme na příkladu. Měříme-li např. periodu síťového kmitočtu s co největší přesností, počítáme impulsy vnitřního nebo vnějšího kmitočtového standardu po dobu tisice period síťového kmitočtu, tj. asi 20 sekund. I když je nastaven monostabilní multivibrátor tak, že další vlastní měření může začít např. 1 s po skončení předcházejícího měření (tj. za 1 s se odblokuje klopný obvod h (obr. 5) a kontrolka indikace fáze měřicího cyklu se slabě rozsvítí), vlastní měření se začne až za dalších 19 s. Je-li zapojeno automatické nastavování děliče, je po skončení přípravy vlastního měření dekadický dělič v stavu, kdy jediným dalším impulsem na vstupu 19 může přejít do stavu 000. Proto v dřívě uváděném příkladu se po 1 s odblokuje klopný obvod h, přeruší se nastavování děliče  $D_1$ , a slabě se rozsvítí kontrolka indikace fáze měřicího cyklu. Po jedné periodě vstupního měřeného signálu (tj. za 20 ms) se pak rozsvítí kontrolka naplně a začná vlastní měření.

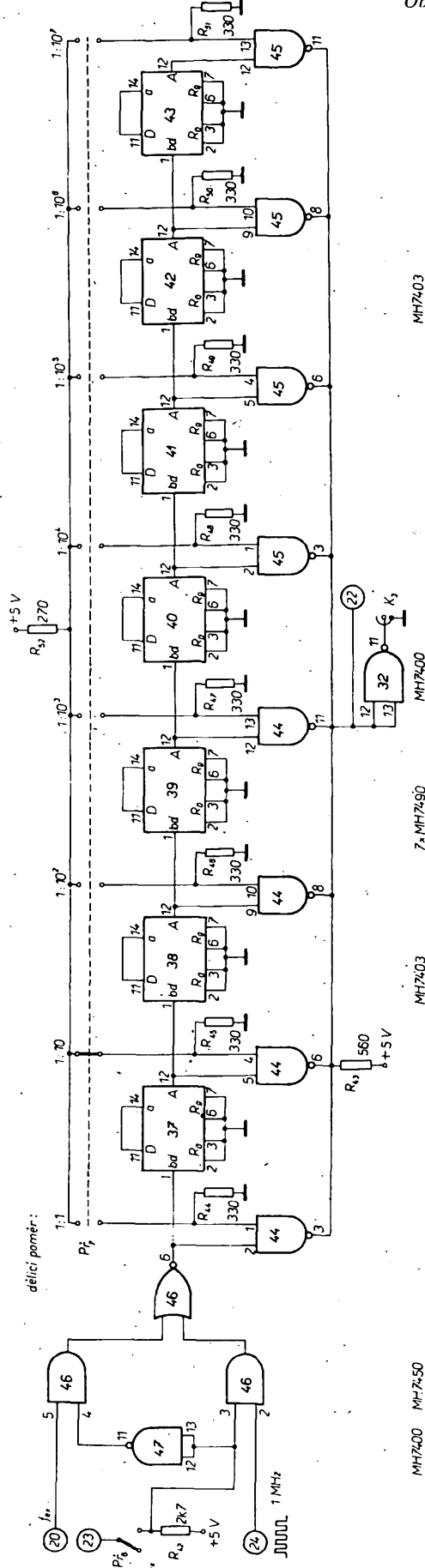
Při měření vysokofrekvenčního signálu bychom si horní hranici měřitelného kmitočtu dosti snížili použitím přepínače s dlouhými přívody (kdybychom chtěli přepínat přímo signál na výstupu z děliče). Proto přepínač děličiho poměru  $P_{\text{ř}}$  ovládá dvouvstupová hradla 33 s otevřeným kolektorem (MH7403), která přepínají signál. Hradlo, u něhož se příslušný vstup připoji přepínačem  $P_{\text{ř}}$ , přes odpor 270 Ω (odpor  $R_{\text{a}}$ ) k +5 V, je otevřené, ostatní zůstávají zavřená. Funkce děliče není ovlivněna délou přívodů k přepínači  $P_{\text{ř}}$ .

#### Dekadický dělič $D_1$

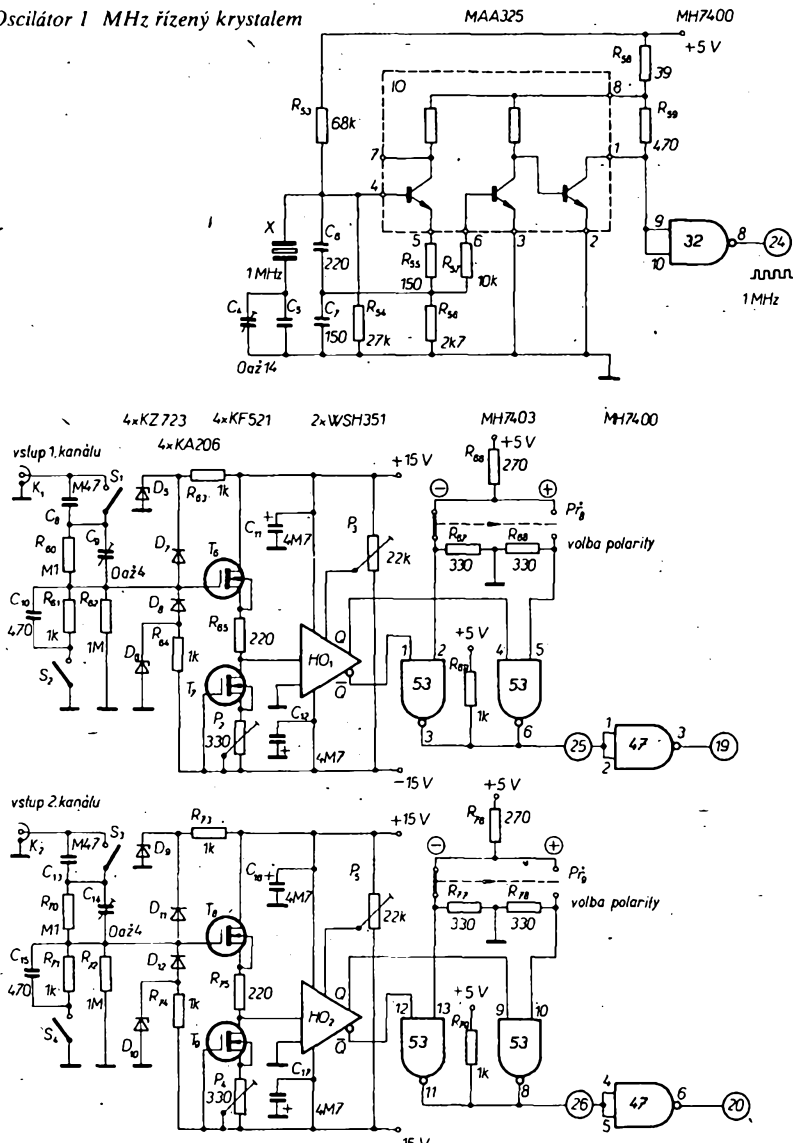
Dekadický dělič  $D_1$  je podobný děliči  $D_1$ , liší se pouze tím, že je složen ze sedmi dekadických čítačů 37 až 43 (7x MH7490), zapojených jako symetrické děliče deseti. Tyto děliče nejsou ovládány (nastavovány nebo nulovány). Zapojení děliče  $D_1$  a přepínače vstupu je na obr. 16.

Z výstupu (bod 22) i z konektoru  $K_2$  vychází symetrický signál. Přepínačem  $P_{\text{ř}}$  nastavujeme děliči poměr v rozsahu 1:1 až 1:10<sup>7</sup>. O tom, přichází-li na vstup dekadické-

Obr. 17. Oscilátor 1 MHz řízený krystalem



Obr. 16. Dekadicke dělič  $D_2$  s přepínačem vstupu



Obr. 18. Vstupní zesilovače a tvarovače  $A_1$  a  $A_2$

ho děliče D<sub>2</sub> signál z bodu 20 (signál ze zesilovače A<sub>2</sub>) nebo bodu 24 (vnitřní signál standardního kmitočtu 1 MHz), rozhoduje poloha prepínače P<sub>6</sub> spolu s úrovní v bodu 23.

V poloze c s přepínačem  $P_4$  (dvoukanálové měření časového intervalu) je v bodě 23 úroveň H, a tedy nezávisle na poloze přepínače  $P_4$ , je na vstup dekadického děliče D<sub>2</sub> vždy připojen vnitřní signál standardního kmitočtu z krystalového oscilátoru. Při tomto způsobu měření nelze používat vnější kmitočtový standard, který je možno přivádět druhým kanálem při měření kmitočtu nebo periody.

V polohách  $a$ ,  $b$ , d přepínače  $P_3$  je v bodě 23 úroveň L, a tak přepínačem  $P_6$  můžeme volit, zda na vstup dekadického voliče  $D_2$  přivedeme vnitřní nebo vnější signál kmito-érového standardu.

#### Vnitřní zdroj signálu standardního kmitočtu

Jako vnitřní zdroj signálu standardního kmitočtu používáme oscilátor řízený křemenným výbrusem (krystalem) 1 MHz. Zapojení tohoto oscilátoru, převzatého z [2], je na obr. 17. Oscilátor v Clappově zapojení využívá prvního tranzistoru z integrovaného obvodu MÁA325. Zbylé dva tranzistory integrovaného obvodu spolu s dvouvstupovým hradlem na výstupu (zapojeným jako invertor) pouze tvarují sinusový signál o kmitočtu 1 MHz na pravoúhlý.

**Stabilita** kmitočtu oscilátoru závisí především na kvalitě krystalu. Pro tyto účely vybíráme krystal co nejkvalitnější s malým teplotním součinitelem a dobrou dlouhodobou stabilitou. Jeho jmenovitý kmitočet musí být trochu nižší, než je požadovaný kmitočet, abychom mohli kmitočet oscilátoru přesně nastavit sériovým kondenzátorem (paralelní kombinací kondenzátorů  $C_4$  a  $C_5$ ). Kondenzátorem  $C_5$  nastavíme kmitočet hrubě a jemně oscilátor dodladě kapacitním trimrem  $C_4$ . Změnami poměru kapacit kondenzátorů  $C_6/C_7$  můžeme nastavit optimální kladnou zpětnou vazbu pro použity krystal, a tak odstranit zkreslení generovaného signálu přebuzením nebo naopak špatné nasazování oscilací po zapnutí.

Bude-li užít krystal s nižším kmitočtem, např. 100 kHz, musí se zvětšit kapacity kondenzátorů  $C_1$  a  $C_2$  zhruba desetkrát.

Je třeba dbát na to, aby signál oscilátoru nebyl modulován zbytky sítového napětí, jinak se zhorší jeho kmitočtová stabilita.

### **Vstupní zesilovač a tvarovač**

V obecném pojednání je obsažena mimo jiné stručná zmínka o požadavcích, které jsou kladeny na vstupní obvody čítačů, aby tyto přístroje byly schopny skutečně univerzální-

ho použití. Lze říci, že konstrukce vstupních obvodů patří k nejnáročnějším problémům při vývoji zapojení univerzálního čítače. Proto také mnohé firmy v technické dokumentaci, připojené k dodávaným přístrojům, znázorňují často tyto obvody pouze obecným symbolem zesilovače, ačkoli ostatní části jsou rozkresleny podrobne se všemi údaji a detaily. Připomeneme si ještě jednou hlavní požadavky, které se kládou na vstupní obvody. Vstupní obvody musí měřený signál převést na signál, který budou schopny zpracovat následující číslicové integrované obvody. Musí mít určité napětové zesílení, abychom univerzální čítačem mohli měřit i malé signály. Vstupní zesilovač musí mít dostatečně velký vstupní odpor a malou vstupní kapacitu, aby co nejméně zatěžoval měřený objekt. (Je-li třeba konec měřicího zařízení zakončit např. odporem 75 Ω, stačí obyčejné vstupní zdírky tímto odporem překlonět, třeba spínačem.) Vstupní obvody musí být odolné proti přebuzení silným signálem, který je nejen nesmi znít, ale ani přesytit (což by zhoršilo jejich funkci). Všechny tyto vlastnosti si přitom musí vstupní obvody zachovávat pro vstupní signály velmi širokého kmitočtového rozsahu, což je právě to, co návrh zapojení nejvíce komplikuje. Úmyslně jsme do nadpisů dalí oddělené pojmy zesilovač a tvarovač, neboť profesionální zapojení opravdu bývají řešena tak, že vstupní část tvoří širokopásmový zesilovač, který zaručuje potřebnou citlivost a vstupní impedance, a za ním bývá zapojen např. rychlý Schmittův klopný obvod, který díky své hysterese a principu činnosti poskytuje pro další zpracování dokonalý signál obdélníkovitého průběhu se strmými hranami bez jakýchkoli zákmitů.

Jiný způsob řešení využívá na místě vstupního zesilovače rychlého komparátora, který za určitých podmínek může pracovat v podstatě jako vstupní zesilovač. K podobnému způsobu řešení vstupního zesilovače a tvarovače jsme se přiklonili i my. Vzhledem k tomu, že v době vývoje univerzálního čítače nebylo možno počítat s možností použít dostupné monolitické komparátory (např. typu μA710 nebo 711), rozhodli jsme se využít k tomuto účelu hybridičně integrovaný obvod WSH351 (VÚMS). Tento komparátor má parametry [3], které dovolují dosáhnout velmi dobrých vlastností vstupního zesilovače při jednoduchém zapojení (obr. 18). Ke zjednodušení přispívá i to, že komparátor má vyvedeny jednak signály s úrovněmi pořebnými pro buzení číslicových integrovaných obvodů TTL a jednak výstupy Q a  $\bar{Q}$  s navázáním opačnými úrovni (jako u běžných bistabilních klopných obvodů). Toho se využívá ke konstrukci jednoduchého přepínače volby polarity doplněním komparátoru dvěma systémy dvoustupových hradel 53 s otevřeným kolektorem a přepínačem  $P_{R_1}$ . Volbou polarity se zde rozumí určení té části vstupního signálu, kdy se po průchodu nulou signál zvětšuje (+) nebo naopak změnuje (-) – tedy okamžik, kdy mají obvody čítače spouštět nebo vypínat měřicí interval.

K zvětšení vstupního odporu je komparátoru předřazena dvojice tranzistorů řízených polem, oba tranzistory musí však být pečlivě párovány. Ideální jsou pro tento účel monolitické dvojice přechodových tranzistorů FE, u nichž je dokonalý souhlas parametrů podpořen ještě teplotní využitostí. Popsaným uspořádáním jsme získali zesilovač požadovaných vlastností.

Dále se musíme postarat o ochranu zesilovače proti přetížení, což obstarají dvě rychlé spinaci diody, zapojené vždy v závěrném směru proti napětí asi 9 V. Překročí-li vstupní signál tuťo velikost, omezí se působením

odporu  $R_{60}$  a obou ochranných diod na velikost max.  $\pm 10$  V, což další součástky nijak neohrozí. Na vstupu zesilovače je dále zařazen odpojitelný dělic, který použijeme při měření signálů větší úrovni (potom je spínač  $S_1$  sepnut). Sepneme-li spínač  $S_1$ , můžeme univerzální čítač ovládat stejnou směrným signálem.

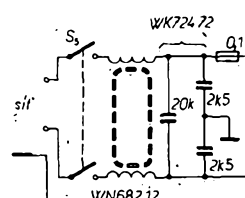
Vstupní obvod prvního kanálu seřizujeme nastavením trimru  $P_1$ . Na jeden z obou vstupů Q nebo  $\bar{Q}$  komparátoru WSH351 připojíme osciloskop a na vstup přivedeme sinusový signál o napětí asi 100 mV (spínače  $S_1$  a  $S_2$  jsou rozpojeny). Za stálého změnování vstupního napěti hledáme takovou polohu běžce odporového trimru  $P_2$ , při níž je citlivost obvodu největší. Odporovým trimrem  $P_3$  pak nastavíme komparátor tak, aby překlápel při průchodu vstupního signálu nulou.

Shodně se vstupním obvodem prvního kanálu je konstruován i vstupní obvod druhého kanálu.

Místo dvou jednopolových dvoupolohových přepínačů  $P_{R_8}$  a  $P_{R_9}$ , které mají polohy označeny + a -, můžeme použít jeden dvoupolový čtyřpolohový přepínač  $P_{R_1}$ . Jeho čtyři polohy budou kombinacemi zvolených polarit obou kanálů: ++, +-,-+,--

#### Napájecí část

Obvody univerzálního čítače potřebují ke své činnosti tři napájecí okruhy, první slouží k napájení všech číslicových integrovaných obvodů a k napájení generátoru standardního kmitočtu. Napájecí napětí tohoto zdroje je +5 V, přičemž odběr proudu je přibližně 1 A. Z druhého zdroje ( $\pm 15$  V) jsou napájeny obvody vstupních tvarovačů měřeného signálu. Třetí zdroj slouží pouze k napájení anod digitronů. Na stabilitu a zvlnění vstupního napěti tohoto zdroje nejsou kládeny žádné zvláštní nároky, a proto je použit pouze jednocestný usměrňovač s jednoduchým kapacitním filtrem. U ostatních zdrojů jsou však nároky na stabilitu výstupního napěti větší, proto je nutné vybavit je vhodnými stabilizátory. V odborných publikacích amatérského i profesionálního charakteru již bylo popsáno nepřeberné množství různých zdrojů pro uvedená napěti a proudy, takže pro čtenáře, kteří nebudou moci použít daleko uvedené řešení, nebude jistě obtížné vyhledat zapojení, které jim vyhoví. My jsme se totiž rozhodli vyzkoušet pro tento účel jednou z nejjnovějších českoslovanských polovodičových součástek, hybridní integrované stabilizátory WSH913 a WSH914 (obr. 19). Obvod WSH913 je určen pro stabilizaci napětí  $\pm 15$  V a je schopen dodat do zátěže z každé větve proud až 50 mA. Díky vestavěným elektronickým pojistkám je zdroj zkratevzdorný, velikost omezovacího proudu se řídí volbou  $R_{W_1}$  a  $R_{W_2}$ . Přesnost výstupního napěti je lepší než 1 %, přičemž činitel stabilizace, vnitřní odpor i teplotní stabilita mnohokrát překračují požadavky na zdroj kládené (v tomto případě). Hybridní integrovaný obvod WSH913 je zvlášť vhodný k napájení obvodů s operačními zesilovači, kde může sloužit i jako referenční zdroj o přesnosti 0,1 % (po nastavení výstupního napěti vnějším potenciometrem).



WSH914 je třísvorkový stabilizátor (vstupní svorka, výstupní svorka, zemní svorka) napětí +5 V, zvlášť vhodný k napájení číslicových integrovaných obvodů, i když svými vlastnostmi obvyklé požadavky mnohonásobně převyšuje. Vedle přesnosti si zvlášť zaslouží pozornost jeho další cenná vlastnost, již je nezničitelnost v provozu. Stabilizátor je totiž vedle zkratevzdorné pojistky proudového omezení vybaven ještě tepelnou pojistikou, zabraňující jeho zničení výkonovým přetížením.

Tím jsme se zmínili o nejzávažnějších parametrech obou integrovaných stabilizátorů. Podrobnější informace najdou čtenáři v literatuře [4]. Obratme ještě svoji pozornost k zapojení zdrojů. Vidíme, že díky použití WSH913 a WSH914 jsou obvody neobvyčejně jednoduché a skládají se pouze z usměrňovačů, filtrů a jmenovaných hybridních obvodů. Síťový napájecí transformátor je navinut na jádru EI25 × 20 mm podle následujícího navíjecího předpisu:

primární vinutí 220 V: 2000 z drátu o Ø 0,18 mm CuL,

sekundární vinutí 180 V: 1980 z drátu o Ø 0,1 mm CuL,

2 × 18 V: 2 × 200 z drátu o Ø 0,1 mm CuL,

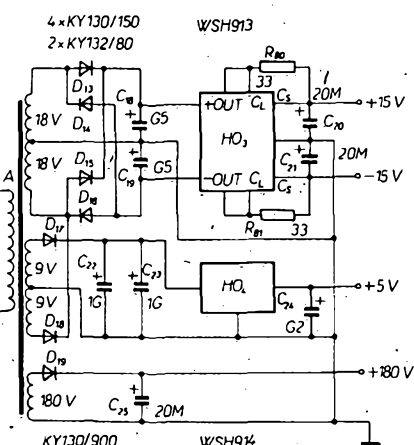
2 × 9 V: 2 × 100 z drátu o Ø 0,5 mm CuL.

Odpory  $R_{K1}$  a  $R_{K2}$  pro nastavení proudového omezení navrhujeme pro proud asi  $\pm 20$  mA (u stabilizátoru WSH913). Při výpočtu vycházíme z toho, že pojistka pracuje tehdy, je-li úbytek napěti na odporu  $R_{K1}$  nebo  $R_{K2}$  asi 0,65 V.

Proudové omezení je u stabilizátoru WSH914 nastaveno již při jeho výrobě asi na 2 A. Tepelná pojistka pracuje tak, že dosáhne-li teplota systému stabilizátoru asi 150 °C, stabilizátor se zcela uzavře (k uzavření samozřejmě dochází spojitě).

#### Konstrukce

Stavba popisovaného univerzálního čítače není složitá, spíše nákladná vzhledem k současné ceně použitých součástek. Tím, že je několik možných variant zapojení, které je možno zvolit podle požadavků a dostupného materiálu, součástek atd., je vhodné použít při stavbě univerzální desky s plošnými spoji pro logické obvody. Na tyto desky lze velmi výhodně umístit i diskrétní součástky. Sami jsme při jedné variantě konstrukce užívali menší desku s plošnými spoji, navrženou pro obvody dekadického čítače, paměti, dekódér a digitronový displej a druhou velkou univerzální desku o rozloze zhruba 17 × 22 cm pro umístění až 45 číslicových obvodů v pouzdrech DIL. Na této velké desce, z větší části zaplněné, jsou kromě napájecí části a vstupních zesilovačů všechny další obvody, včetně logických obvodů pro rozšíření kmitočtového rozsahu. Pro obvody komparace stavu dekadických čítačů (generování časového intervalu) je potřeba další



Obr. 19. Napájecí část

deska s plošnými spoji, podobně jako pro vstupní zesilovače a tvarovače signálu.

Oživení přístroje nevyžaduje žádné zvláštní postupy a přístroje. Vystačíme s běžným voltmetrem, logickou sondou a osciloskopem, případně signálním generátorem. Přesto však stavba tohoto přístroje není vhodná pro ty, kteří se s digitální technikou teprve začínají seznamovat. Při propojování jednotlivých číslicových obvodů vodiči na univerzální desce s plošnými spoji můžeme při troše nepozornosti udělat chybu, a pak pro toho, kdo nemá větší zkušenosti s číslicovými obvody a navíc plně nepochopí funkci popisovaných obvodů univerzálního čítače, bude hledání chyby velmi obtížné!

Při nevhodné rozmištených obvodech na univerzální desce s plošnými spoji, při dlouhých spojovacích vodičích apod. se může snížit dosažitelný horní mezní kmitočet vstupního signálu, snížení však není podstatné. To samozřejmě neplatí pro obvody zpracovávající signály o kmitočtech desítek MHz a vyšších.

Obvody univerzálního čítače včetně zdrojů s transformátorem, displejem atd. nezabírají velký objem, pro velikost skřínky, do které umístíme univerzální čítač, jsou rozhodující především počet a rozměry použitých ovládacích prvků, konektorů, rozměr okénka pro digitronový displej atd., které určují minimální plochu předního panelu.

Často je výhodné doplnit přístroj odrušovacím filtrem  $LC$  v přívodu síťového napětí, který zamezí pronikání poruch ze sítě do přístroje. Samozřejmě je důležité pečlivě zemnit jednotlivé obvody i celý přístroj. Dále je nutno propojovat zdroj +5 V s jednotlivými obvody dostatečně tlustým vodičem (k dosažení malých úbytků napěti i při impulsním provozu) a nešetrít keramickými blokovacími kondenzátory ( $0,1 \mu F$ ). Tyto kondenzátory nejsou na obrázcích obvodů univerzálního čítače uváděny, na blokování jednotlivých obvodů těmito kondenzátory však zapomenout nesmíme!

Jako příklad konečného provedení popisovaného univerzálního čítače jsou na 2. a 3. str. obálky tohoto čísla AR B fotografie dvou provedení univerzálních čítačů, které autoři zhotovili.

### Seznam součástek

V následujícím seznamu jsou uvedeny součástky použité v popsaných obvodech a jejich variantách, jakož i součástky dále uvedeného obvodu pro rozšíření kmitočtového rozsahu univerzálního čítače.

#### Logické integrované obvody TTL

Číslo obvodu	
1, 4, 6, 28,	
29, 32, 47	MH7400
33, 44, 45, 53	MH7403
5	MH7410
7	MH7440
30, 46, 50	MH7450
31	MH7460
27	MH7472
2, 3, 51, 52	MH7474
8 až 13, 26	MH7475
14 až 19,	
34 až 43	MH7490
20 až 25	MH74141
48	SN74H103
49	SN74S112

#### Hybridní obvody a lineární IO

HO <sub>1</sub>	WSH351
HO <sub>2</sub>	WSH351
HO <sub>3</sub>	WSH913
HO <sub>4</sub>	WSH914
IO	MAA325

#### Odpory (TR 112a nebo TR 151)

R <sub>1</sub>	0,15 MΩ
R <sub>2</sub>	100 Ω
R <sub>3</sub>	180 Ω
R <sub>4</sub>	1 MΩ
R <sub>5</sub>	1 kΩ

R <sub>6</sub>	1,8 kΩ
R <sub>7</sub> , R <sub>8</sub>	5,6 kΩ
R <sub>9</sub>	15 kΩ
R <sub>10</sub> , R <sub>11</sub> , R <sub>12</sub>	2,7 kΩ
R <sub>13</sub> , R <sub>14</sub>	680 Ω
R <sub>15</sub> , R <sub>16</sub>	6,8 kΩ
R <sub>17</sub>	220 Ω
R <sub>18</sub>	390 Ω
R <sub>19</sub> , R <sub>20</sub> , R <sub>21</sub>	2,7 kΩ
R <sub>22</sub>	1,5 kΩ
R <sub>23</sub> až R <sub>24</sub>	33 kΩ
R <sub>25</sub>	3,3 kΩ
R <sub>26</sub>	3,9 kΩ
R <sub>27</sub>	330 Ω
R <sub>28</sub>	15 kΩ
R <sub>29</sub>	0,15 MΩ
R <sub>30</sub>	680 Ω
R <sub>31</sub>	220 Ω
R <sub>32</sub> až R <sub>33</sub>	2,7 kΩ
R <sub>34</sub> až R <sub>35</sub>	330 Ω
R <sub>36</sub>	1,2 kΩ
R <sub>37</sub>	270 Ω
R <sub>38</sub>	2,7 kΩ
R <sub>39</sub>	560 Ω
R <sub>40</sub> až R <sub>41</sub>	330 Ω
R <sub>42</sub>	270 Ω
R <sub>43</sub>	68 kΩ
R <sub>44</sub>	27 kΩ
R <sub>45</sub>	150 Ω
R <sub>46</sub>	2,7 kΩ
R <sub>47</sub>	10 kΩ
R <sub>48</sub>	39 Ω
R <sub>49</sub>	470 Ω
R <sub>50</sub>	0,1 MΩ
R <sub>51</sub> , R <sub>52</sub> , R <sub>53</sub>	1 kΩ
R <sub>54</sub>	1 MΩ
R <sub>55</sub>	220 Ω
R <sub>56</sub>	270 Ω
R <sub>57</sub> , R <sub>58</sub>	330 Ω
R <sub>59</sub> , R <sub>60</sub>	1 kΩ
R <sub>61</sub>	33 Ω
R <sub>62</sub> , R <sub>63</sub>	2,7 kΩ

#### Kondenzátory (keramické, pokud není uveden typ)

C <sub>1</sub>	TE 981, 50 $\mu F$
C <sub>2</sub>	TE 981, 20 $\mu F$
C <sub>3</sub>	1 nF
C <sub>4</sub>	WK 701 04, 0 až 14 $\mu F$
C <sub>5</sub>	viz text
C <sub>6</sub>	220 pF
C <sub>7</sub>	150 pF
C <sub>8</sub>	TC 279, 0,47 $\mu F$
C <sub>9</sub>	WK 701 22-26, 0 až 4 $\mu F$
C <sub>10</sub>	470 pF
C <sub>11</sub> , C <sub>12</sub>	TE 124, 4,7 $\mu F$
C <sub>13</sub>	TC 279, 0,47 $\mu F$
C <sub>14</sub>	WK 701 22-26, 0 až 4 $\mu F$
C <sub>15</sub>	470 pF
C <sub>16</sub> , C <sub>17</sub>	TE 124, 4,7 $\mu F$
C <sub>18</sub> , C <sub>19</sub>	TE 986, 500 $\mu F$
C <sub>20</sub> , C <sub>21</sub>	TE 984, 20 $\mu F$
C <sub>22</sub> , C <sub>23</sub>	TE 984, 1000 $\mu F$
C <sub>24</sub>	TE 981, 200 $\mu F$
C <sub>25</sub>	TE 992, 20 $\mu F$

#### Potenciometry a trimry

P <sub>1</sub>	potenciometr 0,1 MΩ
P <sub>2</sub>	lineární se spínačem
P <sub>3</sub>	odporový trimr 330 Ω
P <sub>4</sub>	odporový trimr 22 kΩ
P <sub>5</sub>	odporový trimr 330 Ω
P <sub>6</sub>	odporový trimr 22 kΩ

#### Tranzistory

T <sub>1</sub> , T <sub>2</sub> , T <sub>4</sub>	KF504
T <sub>3</sub> , T <sub>5</sub> , T <sub>6</sub>	KC508
T <sub>7</sub>	KF507
T <sub>8</sub> až T <sub>9</sub>	KF521

#### Diody

D <sub>1</sub>	KA501
D <sub>2</sub> , D <sub>11</sub>	GAZ51 nebo OA5, OA7, OA9
D <sub>3</sub> , D <sub>4</sub> , D <sub>5</sub>	KA206
D <sub>6</sub>	KA501
D <sub>7</sub> , D <sub>8</sub>	KZ723
D <sub>9</sub> až D <sub>10</sub>	KY130/150
D <sub>11</sub> , D <sub>12</sub>	KY132/80
D <sub>13</sub>	KY130/900

Tlačítka	
Tl až Tk	spinaci jednopolové tlačítka

**Přepínače Isostat** (nebo miniaturní otočné přepínače WK 533 ...)

P <sub>1</sub>	čtyřpolohový dvoupolový přepínač
P <sub>2</sub>	spinaci na potenciometru P <sub>1</sub>
P <sub>3</sub>	dvoupolohový jednopolový přepínač
P <sub>4</sub>	čtyřpolohový čtyřpolohový přepínač
P <sub>5</sub>	čtyřpolohový jednopolový přepínač
P <sub>6</sub>	dvoupolohový jednopolový přepínač
P <sub>7</sub>	osmipolohový jednopolový přepínač
P <sub>8</sub> , P <sub>9</sub>	dvoupolohový jednopolový přepínač
P <sub>10</sub> , P <sub>11</sub>	dvoupolohový jednopolový přepínač

**Spínače páčkové** (nebo typu Isostat)

S <sub>1</sub> až S <sub>4</sub>	jednopolový spínač
S <sub>5</sub>	sírový spínač

#### Ostatní součástky

E <sub>1</sub> až E <sub>4</sub>	digitrony ZM1080T
X	krystal 1 MHz
Z	telefonní žárovka 6 V/50 mA
D <sub>1</sub> , D <sub>2</sub>	doutnavka DGL15-13 nebo DGLR46/10, TN-03 atd.
	Odrůšovací tlumivka a kondenzátor (WN68212 a WK72472)

### Možnosti dalšího rozšíření přístroje

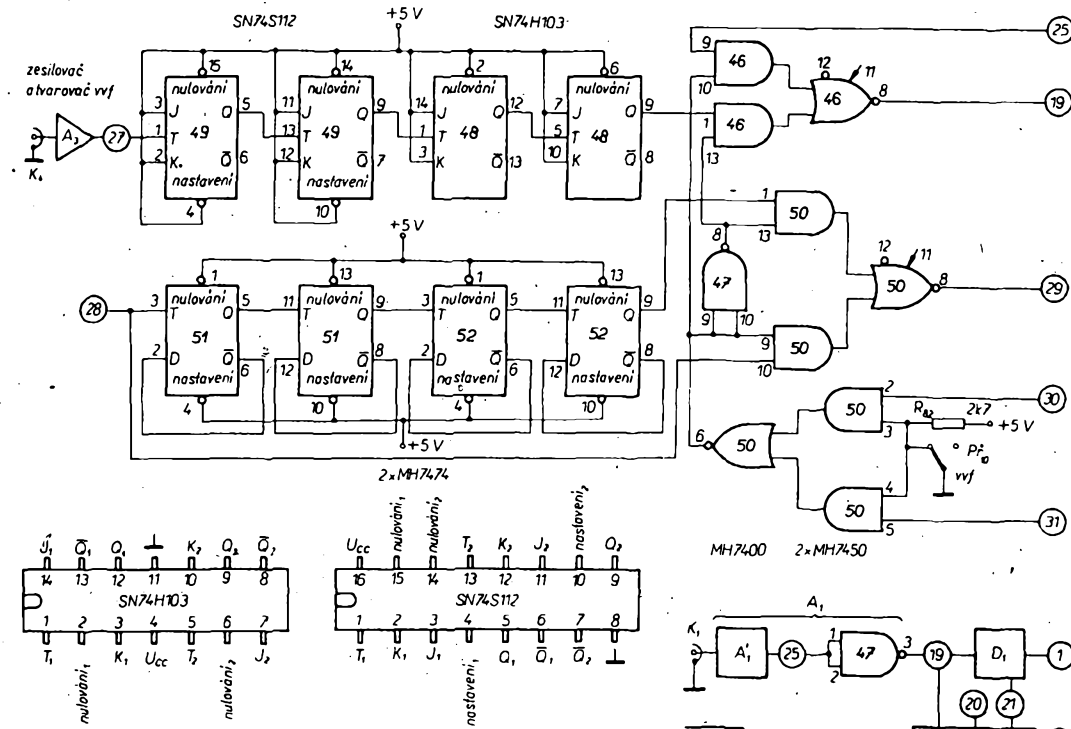
Uvádíme zde námety k dalšímu rozšíření a doplnění popisovaného univerzálního čítače. Následující část není stavebním návodom, upozorňuje pouze na některá další možná vylepšení a možnosti jejich realizace.

**Zlepšení stabilitu kmitočtového standardu**  
Dlouhodobou stabilitu můžeme zlepšovat obtížně. Znamenalo by to tepelně „cyklovat“ krystal i součástky oscilátoru a případně součástky i zahřívat. Podstatně zlepšíme krátkodobou stabilitu kmitočtu oscilátoru umístěním krystalu v termostatu, případně i celého oscilátoru, který umístíme v hliníkovém nebo měděném vyhřívaném bloku, tepelně izolovaném od okolí např. pěnovým polystyrenem nebo polyuretanem. K vyhřívání použijeme teplo, získané kolektorovou ztrátou výkonového tranzistoru nebo topným vinutím na povrchu bloku. Teplota, na kterou budeme blok vyhřívat, musí být vyšší než je nejvyšší pracovní teplota v prostoru přístroje během dlouhodobého provozu v teplé místnosti. Navíc je vhodné tuto teplotu zvolit (je-li to možné) tak, abychom pracovali v okolí bodu s nulovou teplotní závislostí kmitočtu. Tato optimální teplota bývá pro některé typy krystalů udávána, především pro takové typy, které jsou určeny pro kmitočtové standardy. Tato teplota bývá pro 40 až 60 °C.

K udržování konstantní teploty v termostatu bývá při dobré vnější teplé izolaci třeba příkon pouze několika wattů. Regulace stačí dvoupolohová: zapnuto – vypnuto. Jako čidlo použijeme kontaktní rtuťový teplomér, bimetál, termistor apod. Čidlo je vždy třeba umístit blízko topného prvku s dobrým vzájemným tepelným kontaktem.

Tímto způsobem se zlepší stabilita kmitočtu o více než dva rády (samořejmě až po ustálení teploty bloku i krystalu na termostatované teplotě). Podle konstrukce lze očekávat ustálený stav za deset a více minut po zapnutí.

Obr. 20. Vstupní zesilovač  $A_1$  a obvod pro rozšíření kmitočtového rozsahu do 120 MHz (obvod vvf)



#### Zvětšení kmitočtového rozsahu

Abychom mohli měřit signály o kmitočtech vyšších než 10 MHz, musíme univerzální čítač doplnit vhodnými číslicovými obvody, a chceme-li měřit různé signálny (nejen pravoúhlého průběhu s úrovněmi TTL), musíme přístroj ještě vybavit zesilovačem a tvarovačem pro tyto signály.

K tomu, abychom mohli zpracovávat signály o kmitočtech vyšších než 10 MHz, musíme použít zahraniční číslicové obvody. Z našich klopých obvodů typu D (MH7474) nebo dekadických čítačů (MH7490) můžeme někdy vybrat kusy, které budou zpracovat i na kmitočtech vyšších než 25 MHz. Podobné obvody se nám však těžko podaří sehnat a navíc získané rozšíření kmitočtového pásma není nijak významné. Pro vstupní signál do kmitočtu zhruba 50 MHz vystačíme např. s dvojitým klopým obvodem J-K typu SN74H103, jímž budeme kmitočet vstupního signálu dělit čtyřmi. Se Schottkyho obvodem TTL typu SN74S112, což je opět dvojitý klopý obvod J-K, můžeme pak zpracovávat signály o kmitočtcích i přes 120 MHz (minimálně 80 MHz, typicky 125 MHz).

K popisovanému účelu bychom použili dva obvody SN74S112 nebo jeden SN74H103 a jeden SN74S112. Doufejte, že již brzy bude TESLA Rožnov vyrábět plánované obvody MH74S112! Dřívěj však budou asi dostupné klopné obvody D typu MH74S74, takže pro uvedené účely můžeme použít dvě pouzdrové těchto obvodů, ovšem za cenu nižšího horního mezního kmitočtu.

Při signály ještě vyšších kmitočtů bychom museli použít obvody ECL, s nimiž bychom mohli zpracovávat i signály o kmitočtech vyšších než 1 GHz, nebo obvody s tunelovými diodami. Návrh a konstrukce s těmito prvky jsou však náročné a obtížné se zvětšují se zvyšujícím se horním mezním kmitočtem. Proto se tyto obvody objevují v amatérských konstrukcích jen zřídka. Navíc je pak obtížná i realizace vstupních zesilovačů a ceny vhodných obvodů a součástek jsou dosud vysoké.

My jsme vyzkoušeli zapojení, v němž byl použit jeden IO typu SN74H103 a jeden typu SN74S112. Zapojení této přidavné části je na obr. 20.

Konstrukce vstupního zesilovače  $A_1$  se souosým konektorem  $K_4$  závisí na signálu, který chceme měřit. Zde se nebudeme touto problematikou zabývat a čtenáře odkazujeme na různá zapojení z literatury, např. [5].

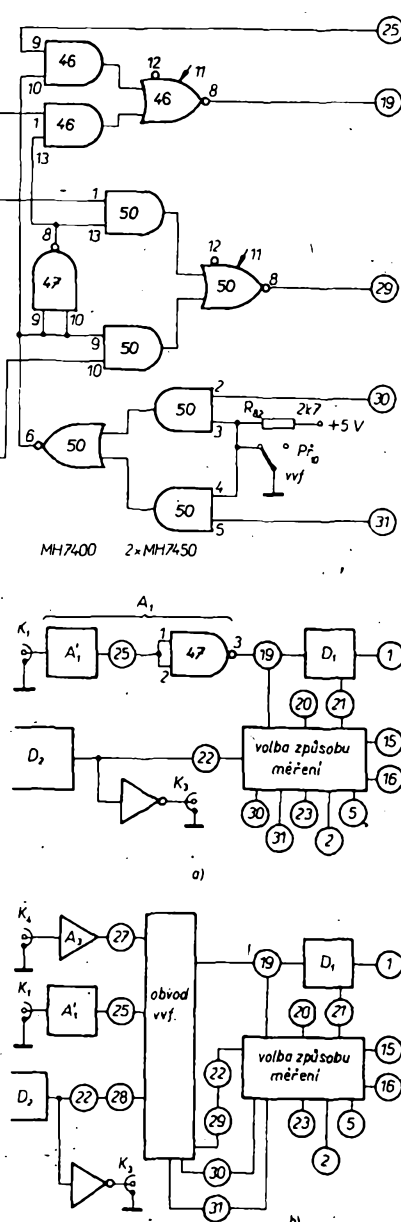
Nepoužijeme-li vstupní zesilovač  $A_3$ , musíme přivést do bodu 27 signál pravoúhlého průběhu s úrovněmi vhodnými pro obvody TTL. Vstupní signál je čtyřmi systémy klopých obvodů J-K 48 a 49 dělen šestnácti. Tak dostaneme např. z původního kmitočtu vstupního signálu 120 MHz kmitočet 7,5 MHz a signál tohoto kmitočtu již naše obvody TTL zpracují bez problémů. Tento signál přichází na vstup hradla 46 (AND-OR-INVERT) na vývod 1. Na vývod 9 pak přichází signál z bodu 25 – ze vstupního zesilovače prvního kanálu  $A_1$ . Místo dvouvstupového hradla 47 s vývody 1, 2 a 3 (ve funkci invertoru) v zesilovači  $A_1$  (obr. 18) použijeme hradlo 46 (AND-OR-INVERT). Systém hradla 47 s vývody 1, 2 a 3 nebude použit. O tom, zda je na výstup 19 připojen signál z prvního kanálu nebo signál vvf, rozhoduje poloha přepínače  $P_{11}$  a přepínač způsobu měření  $P_{11}$ . Signál vvf může být připojen na výstup 19 pouze při měření kmitočtu nebo periody (i když měření periody má význam především pro signály s nižším kmitočtem). Potom bud v bodu 30 nebo 31 je úroveň H a rozpojený přepínač  $P_{11}$  způsobi, že signál vvf bude připojen k bodu 19. Při sepnutém přepínači  $P_{11}$  je na výstup 19 připojen signál z prvního kanálu (z bodu 25).

Abychom při měření kmitočtu signálu vvf nemuseli násobit číslem šestnáct údaj zobrazený displejem, prodloužíme měřený časový interval na šestnáctinásobek. Proto při měření signálu vvf (měření kmitočtu i periody) je kmitočet odvozený od vnitřního nebo vnějšího kmitočtového standardu ještě dělen šestnácti průchodem čtyřmi systémy 51 a 52 klopých obvodů typu D.

Při použití popisovaného obvodu zrušíme spoj výstupu dekadického děliče  $D_2$  (bod 22) a příslušného vstupu obvodu pro volbu způsobu měření (bod 22) a v rádime popisovaný obvod s body 28 a 29 na vstupu a výstupu. provedení této úpravy je patrné z obr. 21.

#### Generování časového intervalu, časový spínač

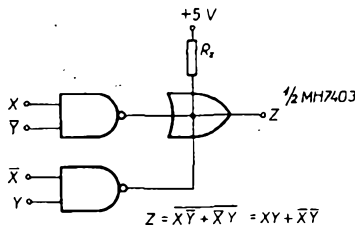
Někdy je třeba generovat časový interval, zapnout nebo naopak vypnout nějaký vnější



Obr. 21. Část obvodů univerzálního čítače; a) v základním zapojení, b) s rozšířeným kmitočtovým rozsahem

obvod, spotřebič atd. v předem zvoleném časovém intervalu. Této další funkce dosáheme doplněním univerzálního čítače obvodem pro komparaci a volbou způsobu dvoukanálového měření časového intervalu nebo měření periody. Časový interval pak může být v rozmezí 1 μs až 10<sup>8</sup> sekund s rozlišením na jednotky nejnižšího řádu (absolutní velikost nastaveného časového intervalu a jeho rozptyl samozřejmě závisí na přesnosti a stabilitě kmitočtového standardu). Při přepnutí přístroje do funkce čítače můžeme předvolit stav čítače (počet impulsů), tj. dobu, kdy se zapne nebo vypne nějaký vnější spotřebič atd.

Základním principem činnosti obvodu je porovnávání číselného stavu všech šesti dekadických čítačů s číslem, předvoleným např. šesti desetipolohovými přepínači s polohami označenými číslicemi 0 až 9. Ke vzájemnému porovnání (komparaci) dochází v kódu BCD 8421. V tomto kódu je již stav dekadických čítačů přímo vyjádřen na výstupech A, B, C a D. Vyjádření předvoleného čísla v kódu BCD 8421 nejsnáze získáme, použijeme-li čtyřpolohové desetipolohové přepínače, které podle tab. 3 pevně propojíme. Protože je displej šestimístný a každá dekáda je vyjádřena čtyřmi bity (A<sub>i</sub>, B<sub>i</sub>, C<sub>i</sub>, D<sub>i</sub>),



Obr. 22. Jednoduchý komparátor pro 1 bit

musíme porovnat celkem 24 bitů. Použitím několika komparátorů TTL (např. obvodů SN7485, 9324 atd.) by bylo možno tento úkol snadno a rychle zvládnout. Ne každý však má možnost problém řešit takto – pak nezbývá, než sestavit komparátor z většího počtu našich obvodů.

Pro zapojení komparátoru jsou vhodné integrované obvody MH7403 (čtyřnásobná dvojstupňová hradla s otevřeným kolektorem), které paralelním připojením výstupů k jedinému zatěžovacímu odporu realizují obdobu logického člena AND-OR-INVERT. (Tento způsob zapojení se anglicky nazývá WIRE-OR, volně přeloženo: „zařazováním“ získaná funkce OR.)

Příklad jednoduchého komparátoru pro jeden bit je na obr. 22. Krátkou úvahou se můžeme přesvědčit, že pří

$$X = Y \text{ má } Z \text{ úroveň H,} \\ X \neq Y \text{ má } Z \text{ úroveň L.}$$

Komparátor pro více bitů pak obdobně realizujeme s příslušně větším počtem dvoustupňových hradel s otevřeným kolektorem. Protože pro komparaci potřebujeme signál i jeho komplement ( $X$  a  $\bar{X}$ ), musíme obvod doplnit vhodným počtem invertorů, např. obvody MH7404 se šesti invertory. Pro komparaci 24 bitů potřebujeme 48 dvoustupňových hradel s otevřeným kolektorem, tj. celkem 12 pouzder MH7403 a pro 2 × 24 komplementární signály ještě 8 pouzder MH7404.

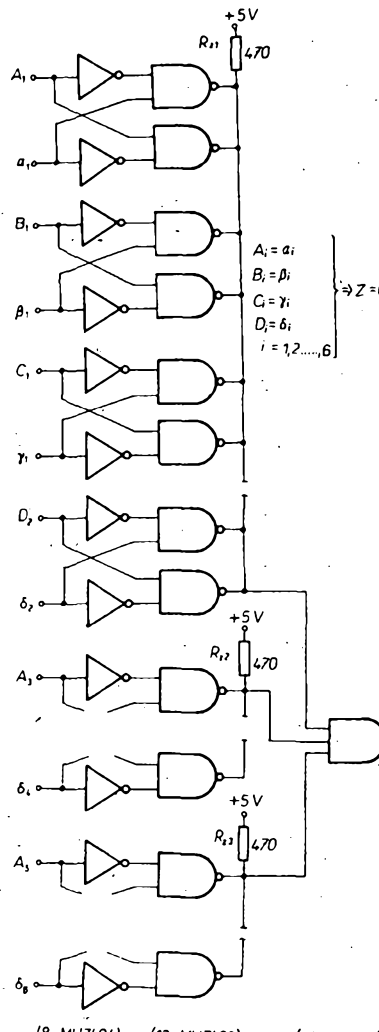
Na společný odpór  $R_z$  lze připojit až 30 výstupů hradel s otevřeným kolektorem, bezpečnější je však nezvěšťovat tento počet přes 20. Proto 48 výstupů hradel rozdělíme na tři skupiny po 16 se zatěžovacími odpory  $R_z = 470 \Omega$  [6] a obvod doplníme třivstupňovým hradlem pro vytvoření logického součítka. Na výstupu tohoto hradla je úroveň L právě jen tehdy, když se obě čísla vyjádřená 24 bity sobě rovnají. Na obr. 23 je tento 24bitový komparátor. Vstupy  $A_1$ ,  $B_1$ ,  $C_1$ ,  $D_1$  přísluší odpovídajícím výstupům tého dekadického čítače (MH7490). Obdobně  $a_1$ ,  $b_1$ ,  $y_1$ ,  $\delta_1$  jsou čtyři bity, kterými je v kódě BCD 8421 vyjádřena předvolená číslice na přepínaci tého řádu.

Počátek vlastního měření je i počátkem generovaného časového intervalu a konec tohoto intervalu je pak určen změnou úrovne z H na L na výstupu komparátoru. Konkrétní provedení již neuvádíme, protože závisí na požadovaném způsobu použití.

#### Sumace dob série impulsů

Při některých měřeních nahodilých impulsních signálů, signálů s pulsně-šírkovou modulací atd. je třeba znát, po jakou část zvoleného časového intervalu měl signál úroveň H nebo naopak.

Spokojíme se s přesností měření danou ručním ovládáním začátku a koncem časového intervalu, bude úprava stávajícího univerzálního čítače snadná. Tato úprava (obr. 24) se bude týkat pouze klopného obvodu 2 na vstupu monostabilního multivibrátoru. Přepínač  $P_{R1}$  po sepnutí trvale nastavuje klopny obvod 2, takže funkce monostabilního multivibrátoru (a tedy i celého řídicího obvodu) je výrazena.

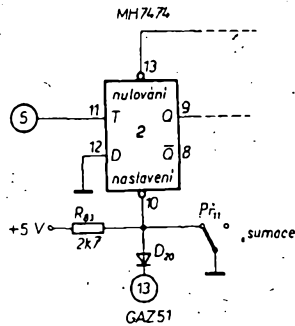


Obr. 23. 24bitový komparátor

Nejdříve přepneme přepínač  $P_{R1}$  do polohy „časový interval“ (dvoukanálové měření) a potenciometrem s přepínačem  $P_{R2}$  nastavíme režim ručního spouštění jednorázového měření. Vyčkáme konci vlastního měření nebo měření ukončíme stlačením tlačítka  $T_h$  „stop“. Pak sepneme přepínač  $P_{R1}$  a tím připravíme žádaný režim. Stlačením tlačítka  $T_l$  pro ruční spouštění měření zahájíme měřicí časový interval. Měření skončíme stlačením tlačítka  $T_h$ . Toto tlačítko však musíme držet stlačené až do zaznamenání si údaje displeje (po puštění tlačítka měření pokračuje a čítač bez vynulování čítá dál). Případně můžeme na konci zvoleného časového měřicího intervalu přepnout přepínač  $P_{R1}$  „paměť“, výsledek je na displeji fixován, i když čítač čítá dále. Stav dekadického čítače v paměti můžeme vynulovat tlačítkem  $T_h$ .

Měřený signál přivádíme současně na oba vstupní konektory  $K_1$  a  $K_2$ . Chceme-li měřit součet dob impulsů s úrovni H, volíme v prvním kanálu na přepínači  $P_{R2}$  polohu + (klopny obvod h podle obr. 5 se překlápi nábehovou hranou impulsů a otvírá hradlo a), v druhém kanálu volíme na přepínači  $P_{R2}$  polohu - (klopny obvod h se překlápi zpět s týlovou hranou impulsů a hradlo a se uzavírá) – to se při každém impulsu opakuje a čítač jednotlivé doby scítá.

Pro měření s plnou přesností, kterou umožňuje tento univerzální čítač, musíme popsaný přístroj upravit následovně. Místo dvoustupňového hradla a (značení podle obr. 5) použijeme třivstupňové hradlo a (obr. 25). (Při realizaci můžeme např. místo třivstupňového hradla 5, zapojeného jako hradlo dvojstupňové, použít hradlo dvojstupňové a uvolněné třivstupňové hradlo použit jako hradlo a). Tře-



Obr. 24. Úprava pro ruční měření součtu dob série impulsů. (Úprava vstupu monostabilního multivibrátoru z obr. 7)

tí vstup třivstupňového hradla a' zapojíme na výstup dvojstupňového hradla x (obr. 25). Hradlo x při popisovaném měření součtu dob série impulsů (přepínač  $P_{R1}$  „sumace“ je rozpojen, přepínač volby způsobu měření  $P_{R2}$  (obr. 13) nastavíme do polohy „měření kmitočtu“ a dělič  $D_1$  nastavíme na dělicí poměr 1 : 1) propojují na vstup hradla a standardní kmitočet 1 MHz. Nastavíme-li na dělici  $D_2$  čas měření např. 1 s (dělicí poměr 1 : 10<sup>6</sup>) a na vstup zdroje napětí  $A_1$  přivedeme signál, který chceme měřit, po spuštění vlastního měření se klopny obvod h překlopí na dobu 1 s a v této době otvívá hradlo a'. Na výstupu hradla a' pak během 1 s dostáváme impulsy o kmitočtu 1 MHz pouze v té době, kdy má měřený impulsní signál úroveň H (přepínač  $P_{R1}$  vstupního zdroje napětí  $A_1$  nastaven do polohy +) nebo úroveň L (přepínač  $P_{R1}$  nastaven do polohy -).

Měříme-li dobu, po níž měl signál úroveň H, a byla-li tato úroveň na vstupu zdroje napětí  $A_1$  po celý měřicí interval, např. 0,1 s, na displeji bude číslo 100 000. Byla-li naopak po celou dobu měřicího intervalu na vstupu úroveň L, na displeji se zobrazí samé nuly. Pro sérii impulsů pak naměříme údaj, ležící mezi těmito krajními případy.

#### Příklady použití

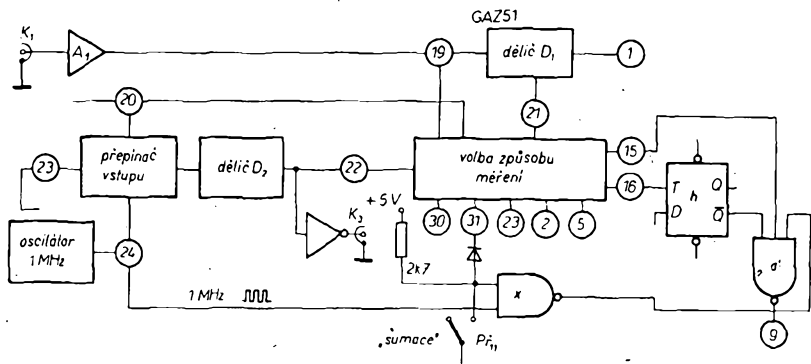
##### Měření kmitočtu a periody

Univerzální čítače se nejčastěji používají k měření kmitočtu a periody. Uvedeme zde několik příkladů těchto měření.

V některých případech potřebujeme znát přesně kmitočet elektrické sítě v daný okamžik nebo alespoň v krátkém časovém intervalu. Proto na vstup univerzálního čítače (konektor  $K_1$ ) přivedeme např. síťové napětí, transformované na desetiny až jednotky voltů. Protože kmitočet sítě je nízký (přibližně 50 Hz), měříme dobu periody  $T$  a kmitočet  $f$  pak vypočteme jako pěvrazenou hodnotu periody. Na přístroji nastavíme režim měření periody a přepínač  $P_{R2}$  děliče  $D_1$  do polohy 1 : 1, abychom měřili s rozlišením na 1 μs (vnitřní kmitočtový standard 1 MHz). Budeme-li měřit dobu jedné periody, tzn. je-li přepínač  $P_{R1}$  děliče  $D_1$  nastaven do polohy 1 : 1, naměříme zhruba dvacet tisíc μs. Nesmíme zapomenout, že změřená doba je zatížena chybou čítačových metod ± 1, relativní chybou vnitřního kmitočtového standardu a hlavně chybou, způsobenou časovou nejistotou otváření a zavírání hradla.

Při měření 10, 100 nebo 1000 period dostavíme průměrnou hodnotu periody za dobu zhruba 0,2, 2 nebo 20 sekund s větší přesností.

Měřením signálů různých osciloskopů můžeme snadno zjistit vliv napájecího napětí, teploty, změn některých parametrů obvodu



Obr. 25. Úprava univerzálního čítače pro sumaci dob série impulsů

atd. na kmitočet nebo periodu a jejich krátkodobou stabilitu.

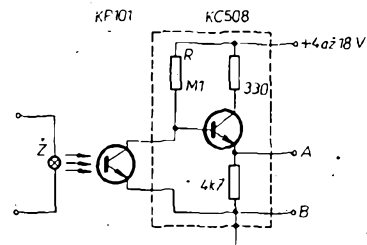
Zesíleným signálem z mikrofonu, přivedeným na vstup univerzálního čítače, můžeme kontrolovat přesnost nalaďení hudebních nástrojů. U elektronických hudebních nástrojů lze měřit přímo generovaný signál.

Často při sladování úzkopásmových mezipřekvěnných zesilovačů, různých filtrů atd. se spoleháme na údaj stupnice použitého pomocného oscilátoru, přičemž přesnost továrně vyráběných oscilátorů hývá několik procent; uvedená přesnost však platí pro nový a dostatečně dlouho zapnutý přístroj (ohřátý). V praxi se však setkáváme s tím, že seřívní oscilátor nastavený podle stupnice na kmitočet 468 kHz generuje třeba 510 kHz. Pak se nesmíme divit, když po „sladění“ nemá nás superhet parametry, jaké by měly být. Použijeme-li však univerzální čítač ke kontrole kmitočtu tohoto signálu, můžeme se téměř nepříjemnostem vyhnout.

Někdy potřebujeme přesně měřit rychlosť otáčení motoriku, různých převodů atd. Nejsnazším způsobem měření se zdá generovat kmitočet úměrný rychlosti otáčení na fotoelektrickém principu a tento kmitočet nebo periodu pak měřit univerzálním čítačem.

K tomuto účelu si zhotovíme fotoelektrické čidlo podle obr. 26. V kolektoru fototranzistoru KP101 je odpor  $R$  (na obr. 26 je to odpor  $0,1 \text{ M}\Omega$ ), na němž dochází k úbytku napětí úměrnému proudu tekoucímu osvětleným fototranzistorem. Nedopadá-li na fototranzistor světlo, je na kolektoru fototranzistoru (a tedy i na bázi emitorového sledovače s tranzistorem KC508) napětí, blížící se napětí napájecímu.

Při daném osvětlení fototranzistoru bude mezi body A a B výstupní napětí tím menší, čím větší bude zesilovací činitel fototranzistoru a čím větší bude odpor  $R$ . Proto někdy bývá třeba zvolit odpor  $R$  tak, aby funkce fotoelektrického čidla vyhovovala danému



Obr. 26. Žárovkové fotoelektrické čidlo  
případu. Napájecí napětí může být asi 4 až 18 V.

Odpor  $330 \Omega$  v kolektoru tranzistoru KC508 slouží jako ochrana tohoto tranzistoru, který by jinak mohl být zničen při zkratu na výstupu (při malém odporu  $R$  a neosvětleném fototranzistoru).

(Dokončení v příštím čísle)

#### Literatura

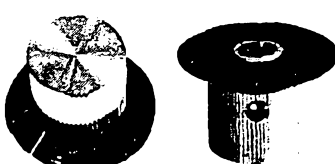
- [1] Design Examples with Integrated Circuits. Firemní literatura Siemens 1971/72.
- [2] Vachala, V.; Křišťan, L.: Oscilátory a generátory. SNTL: Praha 1974.
- [3] Podklady pro katalogový list hybridního komparátoru WSH351. VÚMS: Praha 1973.
- [4] Podklady pro katalogový list hybridních stabilizátorů WSH913 a WSH914. VÚMS: Praha 1974.
- [5] Pacovský, J.: Rozšíření kmitočtového rozsahu čítačů. Příloha AR 1975, str. 61.
- [6] Příklady použití číslicových integrovaných obvodů MH7403, MH7490, MH7493. Technická zpráva n. p. TESLA Rožnov, září 1971.

## IDEÁLNÍ STAVEBNÍ PRVEK

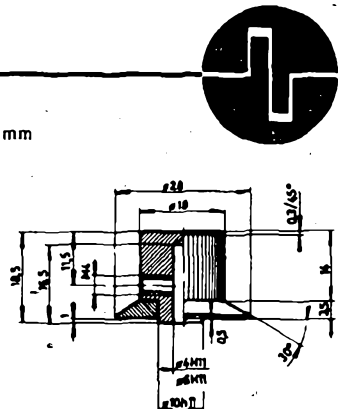
pro elektroniku  
a přesnou mechaniku

### KOVOVÉ PŘÍSTROJOVÉ KNOFLÍKY

K 186 a K 184  
na hridle Ø 6 a 4 mm



- pro přístroje HIFI-JUNIOR
- pro elektronická měridla
- pro mechanické aplikace
- pro jiné zesilovače a tuneru
- pro amatérské experimenty
- nahraďte nevhodných knoflíků



Základní těleso z polomatného legovaného hliníku má vroubkovaný obvod pro lehké, ale spolehlivé uchopení. Robustní stavěcí šroub M4 zajišťuje pevné spojení bez prokluzu i na hladkém hridle bez drážky. Ani při silovém utažení knoflík nepraská, jak se to stává u výrobků z plastických hmot. Zvýšená středová patka se opírá o panel a vymezuje mezera 1 mm mezi panelem a obvodem černého kónického indikačního kotouče. Bílá ryska na kotouči (je o 180° proti šroubu) tak umožňuje snadno a bez paralaxy rozeznávat nastavenou informaci. Moderní, technicky střízlivý vzhled a neutrální kombinace přírodního hliníku s černou a bílou dovolují použít tyto knoflíky v libovolně tvarovaném i barevném prostředí.

#### MALOOBCHODNÍ CENA ZA 1 ks:

Prodej za hotové i poštou na dobríku.

Prodej za OC i VC (bez dané). Dodací lhůty:

Do 200 ks ihned ze skladu, větší počty a prodej za VC na základě HS.

13,70 Kčs

obchodní označení	určeno pro hridle	číslo výkresu	číslo jednotné klasifikace
K 186	Ø 6 mm	992 102 001	384 997 020 013
K 184	Ø 4 mm	992 102 003	384 997 020 014



## ELEKTRONIKA

podnik ÚV Svazarmu  
Ve Smečkách 22, 110 00 Praha 1

telefon: prodejna 24 83 00  
odbyt (úterý a čtvrtok): 24 76 73  
telex: 121601

# KNIHY PORADIA RÁDIOAMATÉROM

Knihy s tématikou rádiotechniky, televízie, elektroniky a oznamovacej techniky sme vybrali pre tých, ktorí sa o tieto obory zaujímajú. Ak si objednáte a preštudujete knihy z našej ponuky, zoznámite sa s novými informáciami týchto rýchlo sa rozvíjajúcich technických oborov. Svoje požiadavky posielajte na adresu:

SLOVENSKÁ KNIHA, n. p., odbyt,  
Rájecká 7, 010 91 ŽILINA

Objednávam(e):	cena Kčs
... ks Aisberg: <b>FAREBNÁ TELEVÍZIA? NIČ JEDNO-DUCHŠIE!</b> Súčasný stav farebnej televízie, najmä tri základné normy: NTC (americká), PAL (nemecká), SECAM (francúzska), a návod na nastavenie prijímača pre normu SECAM. Alfa 18,-	
... ks Dodek: <b>POLOVODIČOVÉ USMERŇOVAČE A STABILIZÁTORY NAPÄTIA</b> Využitie vlastností polovodičov na návrh a konštrukciu usmerňovačov a stabilizátorov napäťa. Alfa 37,50	
... ks Jakovlev: <b>PRÍRUČKA IMPULZOVEJ TECHNIKY</b> Súborné dielo o základoch impulzovej techniky vysvetluje fyzikálnu podstatu procesov v impulzových obvodoch. Alfa 49,-	
... ks Jermolov: <b>PRÍRUČKA ČÍSLICOVÝCH MERACÍCH PRÍSTROJOV</b> Stručné základy a princípy zostrojenia číslicových meračích prístrojov. Alfa 16,-	
... ks Kottek: <b>ČESKO-SLOVENSKÉ ROZHLASOVÉ A TELEVÍZNÍ PŘIJÍMAČE III. (1964-1970) A ZESILOVAČE</b> Kniha obsahuje popisy, schémy a zlădovacie návody. SNTL 60,-	
... ks Meluzin: <b>OTÁZKY A ODPOVEDE Z OZNAMOVACEJ TECHNIKY</b> Odpovede na 300 otázok z oznamovacej techniky po vedeniach sú z oblasti signálizácie, telegrafie a telefónu. Alfa 16,-	
... ks Meluzin: <b>OTÁZKY A ODPOVEDE ZO ZÁKLADOV RÁDIOTECHNIKY</b> Kniha je určená rádioamatérom, frekventantom rádioamatérskych kursov, študentom a examinátorom stredných a odborných škôl. Alfa 18,50	
... ks Mihálka: <b>MODERNÉ POLOVODIČOVÉ SÚČIASKY</b> Polovodičové súčiasky, ich fyzikálne funkcie, závislosti ich elektrických veličín, použitie a praktické zapojenie. Alfa 36,-	
... ks Niemczewicz: <b>ABC POLOVODIČOVEJ ELEKTRO-NIKY</b> Konštrukcia, výroba a funkcia základných polovodičových súčiastok, tj. diód a tranzistorov pre nízke i vysoké kmitočty. Alfa 13,50	
... ks Niemczewicz: <b>VZORCE, DEFINÍCIE A PRÍKLADY Z RÁDIOTECHNIKY</b> Kniha obsahuje základné definície, vzťahy a vzorce z elektrotechniky, rádiotechniky a z pribuzných oborov. Alfa 16,-	
... ks Oehmichen: <b>ELEKTRONIKA? NIČ JEDNO-DUCHŠIE!</b> Základné princípy elektroniky. Alfa 30,-	
... ks PRÍRUČKA POLOVODIČOVEJ TECHNIKY Kniha má originálnu koncepciu, založenú na výhodnom spojení príručky s lexikonom o polovodičoch. Alfa 27,-	
... ks RÁDIOTECHNICKÁ PRÍRUČKA 1. Najnovšie zapojenia základných prvkov, elektroniek a tranzistorov, v oblasti vysokofrekvenčnej rádiotechniky. Alfa 29,-	
... ks RÁDIOTECHNICKÁ PRÍRUČKA 2. Pôzнатky o vývoji tranzistorových zariadení z oblasti oznamovacej techniky, elektroniky a elektroakustiky. Alfa 29,-	
... ks RÁDIOTECHNICKÁ PRÍRUČKA 4. Obsahuje údaje o princípoch farebného videnia, spôsoby rozkladania a skladania farebných signálov a najmä princípy európskych systémov farebnej televízie SECAM a PAL. Alfa 26,-	
... ks RÁDIOTECHNICKÁ PRÍRUČKA 5. Obsahuje vyskúšané zapojenia z elektrotechniky, rádiotechniky a elektroakustiky. Alfa 29,-	
... ks Trusz: <b>ABC opravy televízorov</b> Opis naradia, skúšačiek a meracích prístrojov používaných pri oprave televíznych prijímačov. Alfa 31,-	
... ks Wojciechowski: <b>AMATÉRSKE ELEKTRONICKÉ MODELY</b> Praktické návody a schémy na amatérske výrobenie elektronických modelov. Alfa 35,-	

Vyznačené knihy pošlite dobiekou na adresu:

Meno a priezvisko: .....

Bydlisko: .....

Okres, PSČ: .....

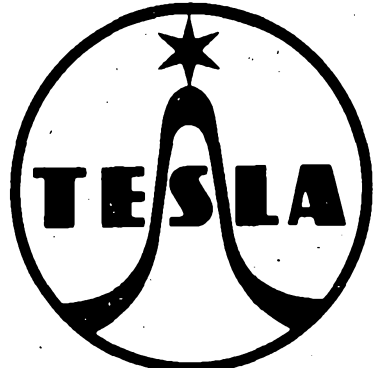
Dátum: .....  
podpis

B/5  
76

Amatérské RÁDIO

199

# SOUČÁSTKY a náhradní díly



k okamžitému odběru:

## ELEKTRONKY

ECC82, ECC83, ECC84, ECC85, ECL84, ECL86, EL36, EL81, EL83, EL84, EL500, PABC80, PCC84, PCL200, PL81, PL84, PL508, PL509, 6A2P (6H31), 6CC42, 6K4P (6F31), 6L31, 6N15P (6CC31), 6Ž1P (6F32), 6Z5P (6F36) ECF803, EF183, EF184, PC86, PC88, PCF801, EF800, 6Ž1PE, 6Ž1PV, E83CC, DCG4/1000, AZ1, DY51, EAA91, EY88, EZ80, EZ81, PY82, PY83, PY500, 1Y32P, 6Y50, STR85/10-C, STR150/30, 11TN40, EM84, EA52.

## DIODY

GA202, GA203, GA204, GA206, GAZ51, KA206, KY705, KY708, KY710, KY711, KY712, KY715, KY721, KY722, KY725, KY730, KYZ70, KYZ71, KYZ72, KYZ73, KYZ74, KYZ77, KYZ78, KYZ79, KYZ82, KZ724, KZ799, KS188A (KZZ71), KZZ73 (D814V), B814D (KZZ), 2NZ70, 5NZ70, 6NZ70, 1PP75.

## TRANZISTORY

## OBRAZOVKY

35MK22, 430QP44, AW43802.

## VÍCEÚČELOVÝ MATERIÁL

Odpory uhlíkové: TR 112a – ceny od 0,30 do 1,70 Kčs. TR 143 – 146m – ceny od 0,40 do 2,90 Kčs. TR 106–108 – ceny od 1,10 do 8,50 Kčs.

Odpory MLT: TR 151–154 – ceny od 0,45 do 2,20 Kčs.

Odpory drátové: WK 669 44–45 – ceny od 5,50 do 9 Kčs.

Potenciometry vrstvové: TP 180a, TP 181a, TP 280n–287m – ceny od 5,50 do 13 Kčs.

Potenciometry knoflíkové: TP 400 – cena 7 Kčs.

Potenciometry keramické: TP 053 – cena 46 Kčs.

Elektrolytické kondenzátory: TE 980–993 – ceny od 2 do 4 Kčs, TC 934y–939a, TGL 5151 – ceny od 8,50 do 66 Kčs.

Kondenzátory odrušovací: TC 242 – cena 5,50 Kčs.

Kondenzátory krabicové: TC 451–461 – ceny od 5,50 do 10 Kčs, TC 471–489 – ceny od 7 do 19 Kčs, TC 651–669 – ceny od 12 do 52 Kčs.

GC500, 2-GC500, GC501, GC502, GC507, 2-GC507, GC508, GC509, GC510, GC510K, GC510K+520K, GC511, GC511K, GC511K+521K, GC515, GC516, GC521K, GC522, GC522K, GS501, GS502, GS507, 103NU70, 2-103NU70, 106NU70, 101NU71, 2-101NU71, 102NU71, 103NU71, 104NU71, 2NU72, 2-2NU72, 3NU72, 2-3NU72, 4NU72, 2-4NU72, 5NU72, 2-5NU72, 2NU73, 3NU73, 2-3NU73, 4NU73, 2-4NU73, 5NU73, 2-5NU73, 6NU73, 2-6NU73, 7NU73, 2NU74, 2-2NU74, 3 NU74, 2-3NU74, 4NU74, 6NU74, 2-6NU74, 7NU74, GF501, GF502, GF503, GF504, GF506; OC170 (GT322), OC170 výb. (GT322A), 155NU70, 156NU70, KC510, KC508, KCZ58, KCZ59, KD602, KF504, KF506, KF507, KF517, KFY16, KFY34, KU601, KU611.

## INTEGROVANÉ OBVODY

MH5410, MH5420, MH5430, MH5450, MH5472, MH7400, MH7403, MH7410, MH7420, MH7430, MH7440, MH7450, MH7453, MH7460, MH7472, MH7474, MH7490, MH7493, MH8400, MH8450, MA0403, MAA115, MAA125, MAA145, MAA225, MAA245, MAA325, MAA345, MAA435, MAA501, MAA502, MAA503, MAA504, MAA525, MAA550, MAA661, MBA125, MBA145, MBA225, MBA245.

Pro jednotlivce i organizace odbér za hotové i na fakturu:

- + ve znackových prodejnách TESLA
- + na dobírku od Zásilkové služby TESLA, Za dolním kostelem 847, PSČ 688 19 Uherský Brod
- + dle dohody s Oblastními středisky služeb TESLA: pro Středočeský, Jihomoravský, Západoceský a Východočeský kraj – OBS TESLA Praha 1, Karlova ul. 27, PSČ 110 00, tel. 26 21 14; pro Severočeský kraj – OBS TESLA Ústí n. L., Pařížská 19, PSČ 400 00, tel. 274 31; pro Jihomoravský kraj – OBS TESLA Brno, Františkánská 7, PSČ 600 00, tel. 67 74 49; pro Severomoravský kraj – OBS TESLA Ostrava, Gottwaldova 10, PSČ 700 00, tel. 21 34 00; pro Západoslovenský kraj – OBS TESLA Bratislava, Karpatská 5, PSČ 800 00, tel. 442 40; pro Slezský kraj – OBS TESLA Ostrava, Gottwaldova 10, PSČ 700 00, tel. 21 34 00; pro Malinovského 2, PSČ 974 00, tel. 255 50; pro Východoslovenský kraj – OBS TESLA Košice, Luník I., PSČ 040 00, tel. 362 43.